

VILNIAUS GEDIMINO TECHNIKOS  
UNIVERSITETAS

N.Astrauskienė, R.Bendorius, A.Bogdanovičius,  
A.Česnys, J.Jakimavičius, J.Kaulakys, S.A.Karpinskas,  
B.Martinėnas, N.Mykolaitienė, D.Styra, A.J.Šatas,  
A.Urbelis

**ELEKTROMAGNETIZMAS.  
BANGINĖ IR KVANTINĖ OPTIKA.  
ATOMO, BRANDUOLIO IR  
PUSLAIDININKIŲ FIZIKA**

Fizikos laboratoriniai darbai

Vilnius "Technika" 1997

N.Astrauskienė, R.Bendorius, A.Bogdanovičius, A.Česnys, J.Jakimavičius, J.Kaulakys, S.A.Karpinskas, B.Martinėnas, N.Mykolaitienė, D.Styra, A.J.Šatas, A.Urbelis. ELEKTROMAGNETIZMAS. BANGINĖ IR KVANTINĖ OPTIKA. ATOMO, BRANDUOLIO IR PUSLAIDININKIŲ FIZIKA. V.: Technika, 1997. 129 p.

Fizikos laboratorinių darbų rinkinyje surinkti ir aprašyti bendrosios fizikos darbai, kuriuos atlieka Vilniaus Gedimino technikos universiteto visų specialybų pirmo kurso studentai. Laboratoriniai darbai pateikiami taip, kad atitiktų bendrosios fizikos kurse nagrinėjamų fizikinių reiškinij turinį: elektromagnetizmas ir kintamoji elektros srovė, įelektrintų dalelių judėjimas elektroiname ir magnetiniame laukuose, banginė ir kvatinė optika, atomų ir molekulių spektroskopija, puslaidininkų fizika, atomo branduolio fizika.

Kiekvieno laboratorinio darbo aprašyme nurodytas darbo tikslas ir darbo priemonės, glaučiai išdėstyta darbo metodika ir pateiktos pagrindinės formulės, nuosekliai išdėstyta bandymo atlikimo tvarka. Aprašymo pabaigoje pateikti kontroliniai klausimai, kurie padės pasiruošti laboratorinio darbo gynimui. Pateikiamame literatūros sąraše galima rasti platesnę ir gilesnę nagrinėjamų reiškinij bei laboratorinių darbų atlikimo metodikos analizę.

Rinkinį parengė VGTU fizikos katedros dėstytojai: doc. N.Astrauskienė [1, 13], doc. R.Bendorius [12, 26, 27], doc. A.Bogdanovičius [2, 6, 7], prof. A.Česnys [11], prof. J.Jakimavičius [16, 28], doc. J.Kaulakys [8, 9, 10], doc. S.A.Karpinskas [16, 23, 25], doc. B.Martinėnas [18, 19, 20, 30], doc. N.Mykolaitienė [14, 15, 21], prof. D.Styra [30], doc. A.J.Šatas [17, 22, 24], doc. A.Urbelis [3, 4, 5].

Atsakingasis redaktorius S.A.Karpinskas

Recenzavo doc. R.Bakanas ir R.Banienė  
Autorių kalba ir stilius netaisyti.

VGTU leidyklos "Technika" 303 mokomosios metodinės literatūros knyga

Vilniaus Gedimino technikos universitetas  
"Technika", 1997

## TURINYS

Laboratorinis darbas Nr.1	6
Vakuuminio diodo tytimas ir elektrono specifinio krūvio e / m nustatymas	
Laboratorinis darbas Nr.2	10
Elektrono specifinio krūvio nustatymas magnetronu	
Laboratorinis darbas Nr.3	14
Ritės induktivumo ir kondensatoriaus elektrinės talpos nustatymas	
Laboratorinis darbas Nr.4	18
Priverstinių elektromagnetinių virpesių tyrimas	
Laboratorinis darbas Nr.5	22
Relaksacinių elektrinių virpesių tyrimas	
Laboratorinis darbas Nr.6	27
Feromagnetiko histerezės kilpos tyrimas	
Laboratorinis darbas Nr.7	31
Žemės magnetinio lauko tyrimas	
Laboratorinis darbas Nr.8	35
Stiklo lūžio rodiklio nustatymas mikroskopu	
Laboratorinis darbas Nr.9	38
Medžiagos šviesos lūžio rodiklio nustatymas prizmės metodu	
Laboratorinis darbas Nr.10	43
Tirpalų šviesos lūžio rodiklio matavimas refraktometru	
Laboratorinis darbas Nr.11	47
Kietujų kūnų paviršiaus nelygumo įvertinimas interferenciniu metodu	
Laboratorinis darbas Nr.12	52
Šviesos bangos ilgio matavimas interferenciniu metodu	

Laboratorinis darbas Nr.13	56	Laboratorinis darbas Nr.26	105
Difrakcinės gardelės konstantos nustatymas		Fotodiodo energinės charakteristikos tyrimas	
Laboratorinis darbas Nr.14	60	Laboratorinis darbas Nr.27	111
Maliaus dėsnio patikrinimas		Šviesos diodų spinduliavimo tyrimas	
Laboratorinis darbas Nr.15	64	Laboratorinis darbas Nr.28	116
Cukraus koncentracijos nustatymas poliarimetru		Radioaktyviojo $\beta$ spinduliavimo šaltinio aktyvumo	
Laboratorinis darbas Nr.16	68	tyrimas	
Šiluminio spinduliavimo tyrimas ir temperatūros		Laboratorinis darbas Nr.29	119
matavimas optiniu pirometru		Medžiagų radioaktyvumo ir $\gamma$ spindulių silpnėjimo	
Laboratorinis darbas Nr.17	73	koeficiente metaluose nustaymas gama-spektrometru	
Išorinio fotoefekto dėsningumų tikrinimas		Laboratorinis darbas Nr.30	123
Laboratorinis darbas Nr.18	76	Dujinis lazeris ir kai kurių jo parametrų matavimas	
Linijinių spektrų tyrimas monochromatoriumi		Literatūra	129
Laboratorinis darbas Nr.19	79		
Kokybinė spektrinė analizė stilometru			
Laboratorinis darbas Nr.20	81		
Planko konstantos skaičiavimas iš absorbcijos			
spektro			
Laboratorinis darbas Nr.21	86		
Tirpalų absorbcijos spektrų tyrimas			
Laboratorinis darbas Nr.22	90		
Puslaidininkų varžos priklausomybės nuo			
temperatūros tyrimas			
Laboratorinis darbas Nr.23	94		
Puslaidininkų fotolaidumo tyrimas			
Laboratorinis darbas Nr.24	98		
Puslaidininkio integralinio fotolaidumo			
tyrimas			
Laboratorinis darbas Nr.25	101		
Puslaidininkio lygintuvinio diodo tyrimas			

## LABORATORINIS DARBAS Nr. 1

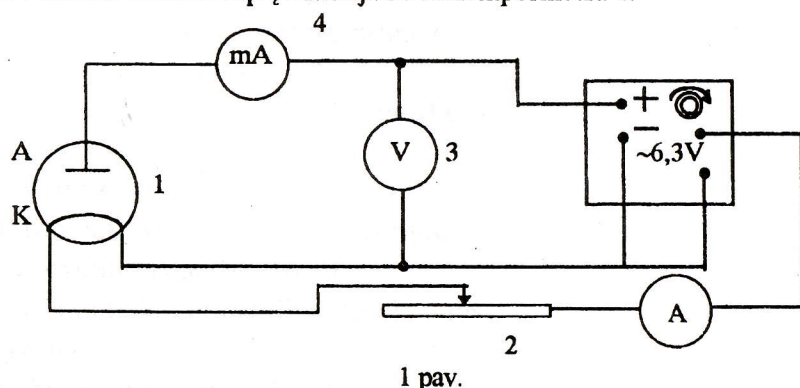
### VAKUUMINIO DIODO TYRIMAS IR ELEKTRONO SPECIFINIO KRŪVIO e/m NUSTATYMAS

**TIKSLAS:** susipažinti su vakuuminio diodo veikimu, išmatuoti ir nubrėžti jo voltamperinę charakteristiką ir apskaičiuoti pagrindinius diodo parametrus. Apskaičiuoti elektrono specifinį krūvį.

**PRIEMONĖS:** diodas, kintamos srovės lygintuvas su reguliuojama įtampa, nuolatinės srovės miliampemetras ir voltmetras, katodo kaitinimo srovės matavimo ampermetras.

#### DARBO METODIKA IR PAGRINDINĖS FORMULĖS

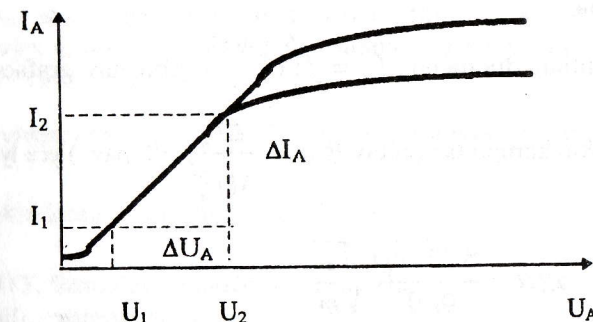
Pagrindinis schemas elementas yra vakuuminis diodas 1. Tai metalinis arba stiklinis balonas, iš kurio išsiurbtas oras ir kuriame įtvirtinti du elektrodai - katodas ir anodas. Diodo elektros grandinė sudaro dvi dalys: katodo kaitinimo grandinę ir anodo grandinę. Katodą galima kaitinti tiek nuolatine, tiek kintamaja srove. Įkaitimo temperatūrą galima keisti, reguliuojant kaitinimo srovės stiprių reostatu 2. Tarp elektrodų sudaroma įtampa iš kintamos srovės lygintuvo. Įtampos didumą galima keisti. Anodas turi būti teigiamas katodo atžvilgiu. Anodinę įtampą matuojame voltmetru 3. Anodinės srovės stiprių matuojame miliampemetru 4.



Kaitinamas katodas emituoja elektronus. Kai tarp katodo ir anodo nėra elektrino lauko, prie katodo susidaro neigiamas erdvinis krūvis - elektronų debesėlis. Šis debesėlis atstumia iš katodo išlėkusius elektronus, ir

didesnioji jų dalis grįžta į katodą. Nedidelė jų dalis vis dėlto pasiekia anodą, ir anodo grandinėje teka silpna srovė. Didinant anodo įtampą, vis daugiau elektronų pasiekia anodą, srovė nustoja didėti. Ši srovė vadinama soties srove ( ji būdinga tik diodams su gryno metalo katodais ).

Eksperimentinė kreivė, parodanti anodo srovės stiprio  $I_A$  priklausomybę nuo anodo įtampos  $U_A$ , esant pastoviam kaitinimo srovės stipriui  $I_k$ , vadinama diodo voltamperine charakteristika ( 2 pav. 1-oji kreivė atitinka žemesnę, o 2-oji aukštesnę katodo temperatūrą ).



2 pav.

Iš diodo voltamperinių charakteristikų apskaičiuojami pagrindiniai diodo parametrai: voltamperinės charakteristikos statumas:

$$S = \left( \frac{\Delta I_A}{\Delta U_A} \right)_{I_k=const.} \quad (1)$$

ir vidaus varža:

$$R = \left( \frac{\Delta U_A}{\Delta I_A} \right)_{I_k=const.} \quad (2)$$

Diodo voltamperinė charakteristika netiesinė. Tai rodo, kad srovės kitimas nepaklūsta Omo dėsniniui mažų įtampų srityje. Kai anodo srovė žymiai mažesnė už soties srovę, srovės stiprio priklausomybė nuo įtampos yra aprašoma trijų antrųjų arba Langmiūro dėsniu:

$$I_A = kU^{3/2} \quad (3)$$

Koefficientas k priklauso nuo elektrodų formos ir tarpelektrordinės erdvės geometrinių matmenų.

Jei diodo elektrodai yra koaksialinių cilindrų formos, tai:

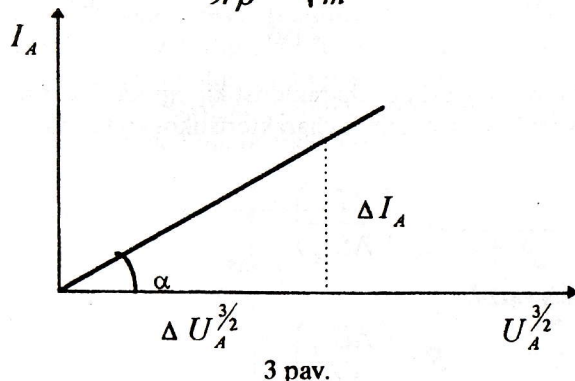
$$I_A = \frac{8\sqrt{2}\pi\varepsilon_0 l}{9r\beta^2} \sqrt{\frac{e}{m}} U_A^{3/2}, \quad (4)$$

čia e - elektrono krūvis, r - anodo spindulys, l - katodo ilgis,  $\beta$  - koefficientas, priklausantis nuo anodo ir katodo spindulių santykio,  $\varepsilon_0$  - elektrinė konstanta.

Iš eksperimentinių duomenų  $I_A = f(U_A^{3/2})$  išbrižtas grafikas yra

tiesė, kurios polinkio kampo tangentas  $\operatorname{tg} \alpha = \frac{\Delta I_A}{\Delta U_A^{3/2}}$  (3 pav.) yra lygus:

$$\operatorname{tg} \alpha = \frac{8\sqrt{2}\pi\varepsilon_0 l}{9r\beta^2} \sqrt{\frac{e}{m}} \quad (5)$$



Žinant diodo parametrus r ir  $\beta$ , iš (5) galima rasti elektronų specifinį krūvį e/m.

#### DARBO EIGA

1. Sujungiamo grandinę pagal 1 pav. parodytą schemą.
2. Išmatuojame diodo voltamperines charakteristikas. Reostatu nustatome pastovų katodo kaitinimo srovės stiprių  $I_k$ . Lygintuvo išėjimo

itampos reguliatoriumi keičiame anodo itampą ir stebime, kaip keičiasi anodo srovės stipris. Duomenų lentelėje užrašome apie 10  $U_A$  ir ją atitinkančią  $I_A$  dydžių. Eksperimentą pakartojame esant dar dviems kaitinimo srovės stiprio reikšmėms.

3. Iš gautų duomenų nubrižiame voltamperines charakteristikas:  $I_A = f(U_A)$ , kai  $I_k = \text{const}$ .

4. Apskaičiuojame diodo parametrus. Tiesinėje voltamperinės charakteristikos dalyje pasirenkame du taškus. Projektuodami juos į  $U_A$  aši, nustatome anodo itampos pokytį  $\Delta U_A = U_2 - U_1$ , o projektuodami juos į  $I_A$  aši, nustatome atitinkamą srovės stiprio pokytį  $\Delta I_A = I_2 - I_1$ . Iš (1) formulės apskaičiuojame diodo voltamperines charakteristikas statumą, o iš (2) - diodo vidaus varžą.

5. Nubrižiame  $I_A = f(U_A^{3/2})$  grafiką ir apskaičiuojame jo tiesinės dalies polinkio kampo tangentą:  $\operatorname{tg} \varphi = \frac{\Delta I_A}{\Delta U_A^{3/2}}$ .

6. Iš (5) formulės apskaičiuojame elektronų specifinį krūvį e/m.  
7. Suformuluojame išvadas.

#### KONTROLINIAI KLAUSIMAI

1. Ką vadiname termoelektroninę emisiją ?
2. Nuo ko priklauso termoelektroninės srovės tankis ?
3. Ką vadiname elektronų išlaisvinimo darbu ? Nuo ko jis priklauso ?
4. Diodo konstrukcija ir jo veikimo principas.
5. Diodo voltamperinė charakteristika ir parametrai.
6. Koks dėsnis aprašo termoelektroninės srovės stiprio priklausomybę nuo itampos ?
7. Elektronų specifinio krūvio nustatymo metodika.

#### LITERATŪRA

- [1], p.69-71.  
[6], p.92-94.

## LABORATORINIS DARBAS Nr. 2

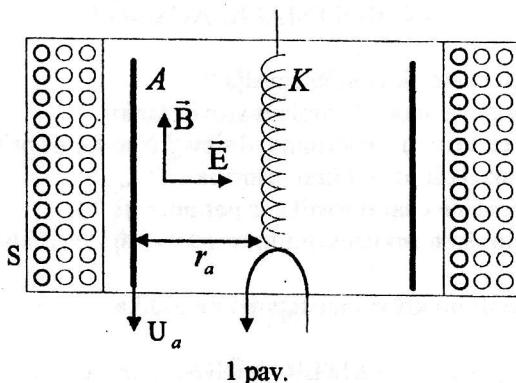
### ELEKTRONO SPECIFINIO KRŪVIO NUSTATYMAS MAGNETRONU

TIKSLAS: susipažinti su elektronų judėjimu elektriniame ir magnetiniame laukuose, nustatyti elektronų specifinį krūvį  $e/m$ .

PRIEMONĖS: magnetrono maketas ( diodas solenoide ), reostatas R, ampermetras, miliampermetras, voltmetras, įtampų šaltiniai.

#### DARBO METODIKA IR PAGRINDINĖS FORMULĖS

Magnetronas yra prietaisas, skirtas superaukšto dažnio elektromagnetinių virpesių generacijai, kuri remiasi kreivomis trajektorijomis magnetiniame lauke judančiu elektronu sąveika su elektromagnetiniu lauku. Magnetrono maketas - tai diodas su cilindriniu anogu A ir katodo viele K šio anodo ašyje, patalpintas į solenoidą S, kurio srovės magnetinio lauko indukcija  $\vec{B}$  yra statmena diodo elektrinio lauko stipriui  $\vec{E}$  ( 1 pav. ). Diodo anodo spindulys  $r_a$  ir solenoido vių skaičius ilgio vienete n pateikti makete.



Judančius iš katodo į anodą elektronus solenoido magnetiniame lauke veikia Lorentzo jėga

$$\vec{F}_L = |e| \vec{V} \vec{B} , \quad (1)$$

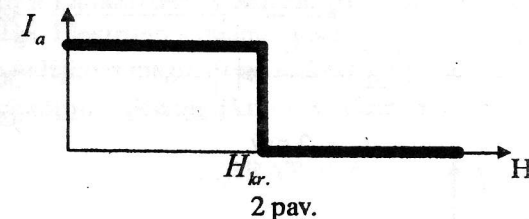
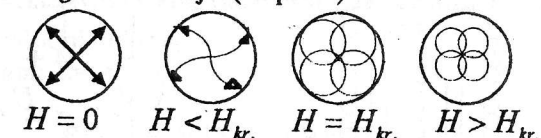
čia e - elektronų krūvis,  $\vec{V}$  - elektronų greitis,  $\vec{B}$  - solenoido magnetinio lauko indukcija.

Kadangi  $\vec{V} \perp \vec{B}$ , ši jėga yra įcentrinė:

$$|e|VB = \frac{mV^2}{R} , \quad (2)$$

čia m - elektronų masė, R - jo trajektorijos kreivumo spindulys.

Solenoido magnetinio lauko indukcijos didumas  $B_{kr.}$ , kuriam esant elektronų trajektorijos ( jos apytikriai apskritiminės ) iškreivinamos iki  $R = 0.5r_a$ , vadinamas kritiniu. Jam esant elektronai nebepasiekia anodo ir anodinė srovė staigiai sumažeja ( 2 pav. ).



$$B_{kr.} = \frac{2mV}{|e|r_a} . \quad (3)$$

Įcentrinė Lorentzo jėga darbo neatlieka, todėl elektronai įgyja kinetinę energiją, lygią elektrinio lauko atliktam darbiui:

$$\frac{mV^2}{2} = |e|U , \quad (4)$$

čia U - anodinė įtampa.

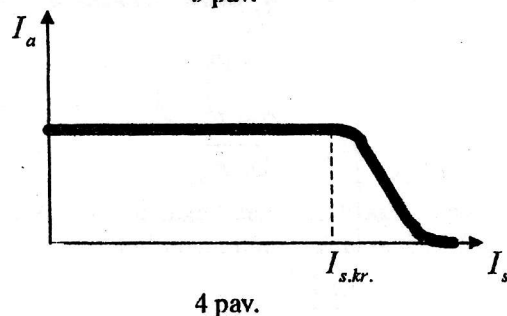
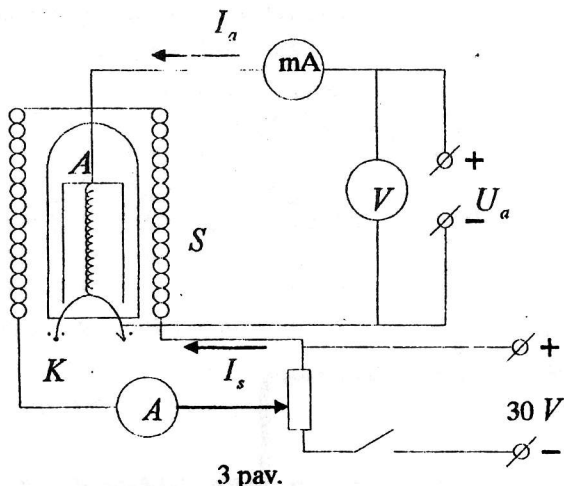
Iš (3) ir (4) sekা, kad elektronų specifinis krūvis išreiškiamas taip:

$$\frac{|e|}{m} = \frac{8U}{B_{kr.}^2 r_a^2} . \quad (5)$$

Ilgio solenoido viduje magnetinio lauko indukcija

$$B_{kr.} = \mu\mu_0 n I_s, \quad (6)$$

čia  $\mu_0 = 4\pi 10^{-7} \frac{H}{m}$  - magnetinė pastovioji,  $n$  - solenoido vijų skaičius  
ilgio vienete,  $I_s$  - srovė solenoido vijose, kai anodinė srovė pradeda mažėti.



### BANDYMO EIGA

1. Sujungiamo 3 paveiksle parodytą grandinę. Potenciometru  $R_1$  nustatome minimalią solenoido srovę.
2. Tarp katodo ir anodo sudarome žemiausią iš trijų makete nurodytų anodinių įtampų.

3. Didindami solenoido srovę  $I_s$ , matuojame anodinę srovę  $I_a$ . Užrašome 6 - 8 reikšmes, kol  $I_a$  nesumažėja. Duomenis surašome į lentelę.

4. Brėžiame grafiką  $I_a = f(I_s)$ . Dėl nevienodo iš katodo išlekiančių elektronų greičio grafiko forma bus panaši į pateiktą 4 paveiksle.
5. Nustatome kreivės kritimo pradžią atitinkančią solenoido kritinę srovę  $I_{s.kr.}$  ir pagal (6) apskaičiuojame  $B_{kr.}$ .
6. Pagal (5) apskaičiuojame e/m reikšmę.
7. Bandymą ir skaičiavimus atliekame esant dar dviems  $U_a$  didumams ir nustatome e/m vidutinį didumą.
8. Suformuluojame išvadas.

### KONTROLINIAI KLAUSIMAI

1. Ampero dėsnis. Magnetinio lauko indukcija.
2. Bio, Savaro ir Laplaso dėsnis. Magnetinė indukcija solenoido ašyje.
3. Lorentzo jėga. Elektrono judėjimas magnetiniame lauke.
4. Elektrono judėjimas magnetrono makete.  $B_{kr.}$  fizinė prasmė.
5. Išveskite elektrono specifinio krūvio skaičiavimo formulę.

### LITERATŪRA

[1], p. 91-93.

## LABORATORINIS DARBAS Nr. 3

### RITĖS INDUKTYVUMO IR KONDENSATORIAUS ELEKTRINĖS TALPOS NUSTATYMAS

TIKSLAS: nustatyti ritės induktyvumą L ir kondensatoriaus elektrinę talpą C.

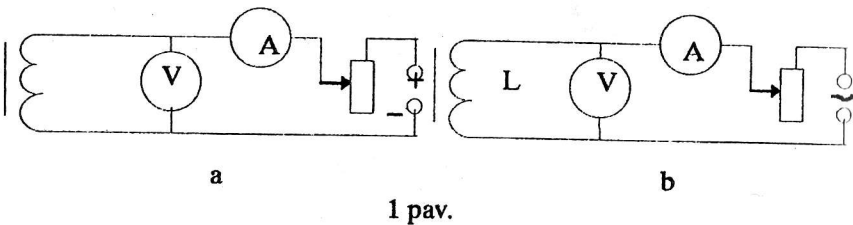
PRIEMONĖS: nežinomo induktyvumo ritę, nežinomos talpos kondensatorius, nuolatinės ir kintamos įtampų šaltiniai, voltmeteras nuolatinei ir kintamai įtampoms matuoti, ampermetras nuolatinės ir kintamos srovės stipriams matuoti, reostatas, jungiamieji laidai.

#### DARBO METODIKA IR PAGRINDINĖS FORMULĖS

Kintamosios srovės, kurios įtampos efektinis didumas  $U_{ef}$  ir ciklinis dažnis  $\omega = 2\pi\nu$  grandinėje, sudarytoje iš nuosekliai sujungtų: varžos R rezistorius, induktyvumo L ritės ir talpos C kondensatoriaus, tekančios srovės stiprio efektnį didumą  $I_{ef}$  apskaičiuojame iš Omo dėsnio kintamajai srovei:

$$I_{ef} = \frac{U_{ef}}{\sqrt{R^2 + \left(\omega L - \frac{1}{\omega C}\right)^2}}. \quad (1)$$

Kiekviena ritė suviniota iš vielos, kurios varža  $R_0$  priklauso nuo medžiagos prigimties (specifinės varžos  $\rho$ ) bei nuo suvyniotos vielos ilgio ir jos skerspjūvio ploto. Ritės induktyvumui nustatyti sujungiamo (1 pav., a ir b) grandines.



Grandinę (1 pav. a.) i Jungiame į nuolatinės įtampos šaltinį (voltmetras ir ampermetras turi būti skirti nuolatinei įtampai bei srovės

stipriui matuoti) ir, pritaikę Omo dėsnį grandinės daliai, apskaičiuojame ritės vielos varžą  $R_0$ :

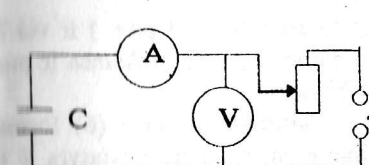
$$R_0 = \frac{U}{I}. \quad (2)$$

Grandinę (1 pav. b.) i Jungiame į kintomas įtampos šaltinį (voltmetras ir ampermetras turi būti skirti kintamai įtampai ir srovės stipriui matuoti) ir, išmatavę  $I_{ef}$  ir  $U_{ef}$  bei pasinaudoje Omo dėsniu kintamajai srovei (1 formulė) apskaičiuojame ritės induktyvumą L:

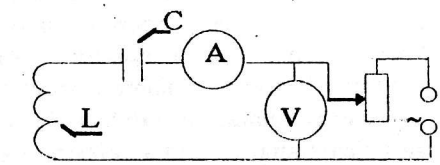
$$L = \frac{1}{2\pi\nu} \sqrt{\frac{U_{ef}^2}{I_{ef}^2} - R_0^2}, \quad (3)$$

$$C = \frac{I_{ef}}{U_{ef} 2\pi\nu}. \quad (4)$$

Sujungę 2 pav. pavaizduotą grandinę ir išmatavę  $I_{ef}$  bei  $U_{ef}$  ir pasinaudoję (4) formulė apskaičiuojame kondensatoriaus talpą C.



2 pav.



3 pav.

Norint patikrinti, ar teisingai nustatytos L ir C vertės, galime taikyti Omo dėsnį grandinės daliai, kurioje yra nuosekliai sujungti ritę ir kondensatorius (3 pav.). Šios grandinės dalies varža Z bus:

$$Z = \frac{U_{ef}}{I_{ef}}, \quad (5)$$

arba

$$Z = \sqrt{R_0^2 + \left(\omega L - \frac{1}{\omega C}\right)^2}. \quad (6)$$

Jei išmatuota visa grandinės dalies varža ( 5 formulė ) sutampa su apskaičiuota šios grandinės dalies varža ( 6 formulė ), vadinas, L ir C reikšmės nustatytos teisingai.

### BANDYMO EIGA

1. Susipažiname su matavimo prietaisais, jų matavimo galimybėmis bei jungimo į elektros grandinę tvarką; darbe naudojamas nuolatinės ir kintamos įtampos šaltiniai.
2. Sujungiame ( 1 pav., a ) parodytą grandinę ir, leidus dėstytojui, įjungiamo ją į nuolatinės įtampos šaltinį. 3-4 kartus keičiame nuolatinės įtampos didumą. Iš (2) formulės apskaičiuojame ritės vielos varžą bei jos vidutinę reikšmę  $R_0$ .
3. Perjungiamo prietaisus kintamai įtampai ir srovės stipriui matuoti (1 pav., b) ir vėl, leidus dėstytojui, įjungiamo į kintomas įtampos šaltinį. 3-4 kartus keičiame kintamos įtampos didumą ir iš (3) formulės apskaičiuojame ritės induktivumą bei jo vidutinę reikšmę L.
4. Vietoj induktivumo ritės įjungiamo kondensatorių ( 2 pav. ). Panašiai, kaip ir 3 punkte 3-4 kartus išmatuojame  $U_{ef}$  ir  $I_{ef}$  reikšmes ir pagal (4) formulę apskaičiuojame C vidutinę reikšmę.
5. Nuosekliai prie kondensatoriaus prijungiamo ritę ( 3 pav. ) ir vėl 3-4 kartus, kaip ir 3 bei 4 punktuose išmatuojame  $U_{ef}$  ir  $I_{ef}$  reikšmes ir pagal (5) formulę apskaičiuojame Z vidutinę reikšmę.
6. Pasinaudojame nustatytais  $R_0$ , C ir L didumais ir pagal (6) formulę suskaičiuojame Z, gautą reikšmę palyginame su reikšme nustatyta iš (5) formulės.
7. Suformuluojame darbo išvadas.

### KONTROLINIAI KLAUSIMAI

1. Nuo ko priklauso ritės induktivumas ir kondensatoriaus talpa, kokiais vienetais šie dydžiai matuojami ?
2. Kaip užrašomas Omo dėsnis kintamos srovės grandinei ir nuo ko ir kaip priklauso fazijų skirtumas tarp srovės ir įtampos tokioje grandinėje ?
3. Kas bus kintamos srovės grandinėje, kai fazijų skirtumas tarp srovės ir įtampos taps lygus nuliui ?
4. Kokias įtampas ir srovės vertes vadiname efektinėmis ir kokias amplitudinėmis, koks tarp jų ryšys ir kaip jas galima išmatuoti ?

5. Ką reiškia aktyvioji ir reaktyvioji varža ? Pateikite šių varžų pavyzdžius ir paaiškinkite nuo ko jos priklauso.

### LITERATŪRA

- [1], p. 44 - 45, 105 - 108, 123 - 132.  
[2], p. 101 - 105.

## LABORATORINIS DARBAS Nr. 4

### PRIVERSTINIŲ ELEKTROMAGNETINIŲ VIRPESIŲ TYRIMAS

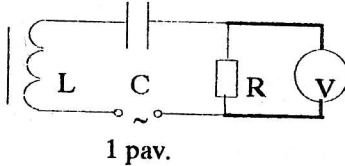
TIKSLAS: ištirti įtampų rezonanso reiškinį ir nustatyti kontūro rezonansinį dažnį.

PRIEMONĖS: garsinio dažnio generatorius, voltmetrai kintamajai įtampai matuoti, kondensatoriai, ritės, rezistorius, jungiamieji laidai.

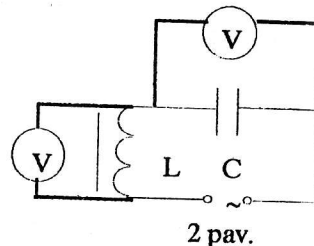
### DARBO METODIKA IR PAGRINDINĖS FORMULĖS

Kintamosios srovės, kurios įtampos efektinis didumas  $U_{ef}$  ir ciklinis dažnis  $\omega = 2\pi\nu$ , grandinėje, sudarytoje iš nuosekliai sujungtų: varžos  $R$  rezistoriaus, induktivumo  $L$  ritės ir talpos  $C$  kondensatoriaus ( 1 pav. ), tekančios srovės stiprio efektinį didumą  $I_{ef}$ . apskaičiuojame iš Omo dėsnio kintamajai srovei:

$$I_{ef} = \frac{U_{ef}}{\sqrt{R^2 + \left(\omega L - \frac{1}{\omega C}\right)^2}} \quad (1)$$



1 pav.



2 pav.

Kintamosios srovės stiprio ir įtampos efektiniai dydžiai yra lygūs stipriui ir įtampai tokios nuolatinės elektros srovės, kurios galia yra lygi kintamosios srovės galiai. Galima irodyti, kad:

$$I_{ef} = \frac{I_0}{\sqrt{2}} \quad \text{ir} \quad U_{ef} = \frac{U_0}{\sqrt{2}}, \quad (2)$$

čia  $I_0$  ir  $U_0$  - amplitudinės ( maksimalios ) kintamosios srovės stiprio ir įtampos reikšmės.

Dydis

$$Z = \sqrt{R^2 + \left(\omega L - \frac{1}{\omega C}\right)^2} \quad (3)$$

yra kintamosios srovės grandinės varža.

Formulėse (1) ir (3) dydis  $R$  yra grandinės ominė arba aktyvioji grandinės dalies varža, kuri susideda iš rezistoriaus varžos, induktivumo ritės vielos ominės varžos, jungiamųjų laidų ir generatoriaus ominės varžų. Aktyviaja ji vadinama todėl, kad joje elektros energija didžiaja dalimi virsta šiluma.

Dydis  $(\omega L - \frac{1}{\omega C})$  yra grandinės reaktyviosios varža, ji susideda

ii induktiviosios varžos  $X_L = \omega L$  ir talpinės varžos  $X_C = \frac{1}{\omega C}$ . Reaktyviaja varža vadiname todėl, kad joje energija nevirsta šiluma: kondensatoriaus elektrinio lauko energija kas pusę periodo pereina į ritės magnetinio lauko energiją ir atvirkščiai.

Esant grandinėje pastoviems  $R$ ,  $L$  ir  $C$ , palaikant pastovų generatoriaus  $U_{ef}$  didumą, kintamosios srovės stipris  $I_{ef}$  keičiasi keičiant generatoriaus ciklinį dažnį  $\omega$ . Didinant  $\omega$ , reaktyviosios varžos  $\left(\omega L - \frac{1}{\omega C}\right)^2$  iš pradžių mažėja, dėl to mažėja ir grandinės varža (3). Kai generatoriaus ciklinio dažnio didumas tampa tokas, kad ritės induktiviosios varžos  $\omega L$  tampa lygi kondensatoriaus talpinei varžai  $\frac{1}{\omega C}$ , tai

$$\omega L - \frac{1}{\omega C} = 0, \quad (4)$$

grandinės varža tampa mažiausia ir lygi jos ominei varžai  $R$ , o srovės stipris bus didžiausias:

$$I_{ef,max} = \frac{U_{ef}}{R}, \quad (5)$$

Atvejis, kai tenkinama (4) formulė, vadinamas rezonansu, o dažnis  $\omega_r$  rezonansiniu dažniu.

$$\omega_r = \frac{1}{\sqrt{LC}} . \quad (6)$$

Esant rezonansui, įtampos kritimas  $U_{R,rez}$  aktyviojoje varžoje R bus:

$$U_{R,rez} = I_{ef,max} R = U_{ef}. \quad (7)$$

Vadinasi, esant rezonansui, visa generatoriaus įtampa  $U_{ef}$  krinta aktyviojoje varžoje.

Reaktyviojoje varžoje rezonanso metu įtampos kritimas  $U_x$  lygus nuliui:

$$U_x = I_{ef,max} \left( \omega_r L - \frac{1}{\omega_r C} \right) = 0 . \quad (8)$$

Atskirai pačius, įtampos kritimai induktivijoje varžoje ( $U_L$ ) ir talpinėje varžoje ( $U_C$ ) rezonanso metu tarpusavyje yra lygus, pasiekia didžiausias reikšmes, bet yra priešingose fazėse, todėl jų suma lygi nuliui.

$$U_L = I_{ef,max} \omega_r L = I_{ef,max} \frac{1}{\omega_r C} = \frac{U_{ef}}{R} \sqrt{\frac{L}{C}} . \quad (9)$$

Kai  $\sqrt{\frac{L}{C}} > R$ , tai įtampa ritėje ( $U_L$ ) ir kondensatoriuje ( $U_C$ ), atskirai pačius, gali būti didesnė už generatoriaus įtampą ( $U_{ef}$ ). Toks atvejis vadinamas įtampų rezonansu.

#### BANDYMO EIGA

1. Susipažištame su generatoriaus dažnio keitimo bei įtampos reguliavimo galimybėmis ir su voltmetro veikimu bei įtampos matavimo galimybėmis. Išsiaiskiname, kokie yra ritės induktivumas ir kondensatoriaus talpa. Teoriškai apskaičiuojame grandinės, sudarytos iš tokios ritės ir tokio kondensatoriaus, rezonansinį dažnį  $v_r$ :

$$\nu_r = \frac{\omega_r}{2\pi} = \frac{1}{2\pi\sqrt{LC}} . \quad (10)$$

2. Sujungiame 2 pav. parodytą grandinę. Nustatome dėstytojo nurodytą generatoriaus  $U_G$  įtampą ir, keisdami generatoriaus dažnį  $v$ , voltmetrais matuojame įtampas  $U_C$  ir  $U_L$ . Kai  $U_C$  ir  $U_L$  pradeda staigiai didėti, generatoriaus dažnį keičiame lėtai ir stengiamės pastebėti ir užrašyti rezonansinio dažnio  $v_r$  didumą (dažnį, kai  $U_C$  ir  $U_L$  pasiekia didžiausias reikšmes). Toliau didiname dažnį ir stebime bei matuojame mažėjančias įtampas  $U_C$  ir  $U_L$ . Matavimų metu stebime, kad generatoriaus įtampos didumas nesikeistu. Matavimo duomenis surašome į lentelę ir pagal juos būsimame grafikus  $U_C = \varphi(v)$  ir  $U_L = \varphi(v)$ .  $U_{L,rez}$  ir  $U_{C,rez}$  palyginame tarpusavyje ir su  $U_G$  reikšme.

3. Sujungiame 1 pav. parodytą grandinę ir išmatuojame, kaip ir punkte 2, įtampos  $U_R$  priklausomybę nuo dažnio  $v$ . Iš formulės (5) apskaičiuojame srovės stiprio priklausomybę nuo dažnio ( $I_{ef} = \varphi(v)$ ) ir nubrėžiame šios priklausomybės grafiką. Ši grafiką palyginame su grafikais gautais 2-ame punkte ir iš jo nustatome rezonansinį dažnį  $v_r$ . Eksperimentinius, iš grafikų gautus, rezonansinio dažnio didumas palyginame tarpusavyje ir su teoriškai pagal (10) formulę apskaičiuotu  $v_r$  didumu.

4. Suformuluojame darbo išvadas.

#### KONTROLINIAI KLAUSIMAI

1. Omo dėsnis kintamajai srovei.
2. Kokias varžas vadiname aktyviomis ir kokias rektyviomis?
3. Koks reiškinys vadinamas įtampų rezonansu ir kaip nustatyti rezonansinį dažnį?
4. Kodėl rezonanso metu įtampos kritimas aktyviojoje varžoje yra lygus generatoriaus įtampai?
5. Kodėl  $U_L$  ir  $U_C$  rezonanso metu gali būti didesnės už generatoriaus gnybtų įtampą?

#### LITERATŪRA

[1] p. 123 - 132.

[2] p. 106 - 110.

## LABORATORINIS DARBAS Nr. 5

### RELAKSACINIŲ ELEKTRINIŲ VIRPESIŲ TYRIMAS

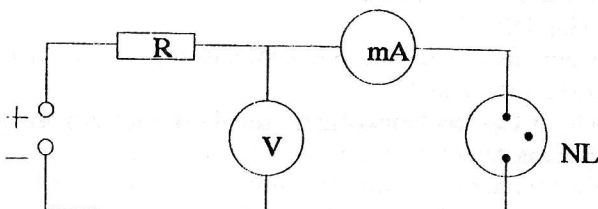
TIKSLAS: susipažinti su joninių prietaisų veikimo principu, sujungti grandinę ir sužadinti joje relaksacinius elektrinius virpesius, apskaičiuoti ir išmatuoti jų parametrus, nustatyti nežinomą rezistoriaus varžą ir kondensatoriaus elektrinę talpą.

PRIEMONĖS: neono lemputė, nuolatinės įtampos šaltinis, miliampерmetras ir didelės vidaus varžos voltmetras, žinomas varžos rezistorius ir žinomas talpos kondensatorius, oscilografas, nežinomas varžos rezistorius ir nežinomas talpos kondensatorius.

#### DARBO METODIKA IR PAGRINDINĖS FORMULĖS

Relaksacioniai virpesiai yra periodiniai nesinusiniai įtampos arba srovės kitimai. Tokius virpesius galima stebeti grandinėse, kuriose yra i jungti joniniai prietaisai (pvz. neono lemputė). Joniniuose prietaisose dujos jonizuojamos elektriniu lauku ir jose vyksta savaiminis išlydis. Pastarasis prasideda sudarius tarp elektrodų įtampa  $U_U$ . Ši įtampa, kurios didumas priklauso nuo duju prigimties, jų slėgio ir lemputės konstrukcijos, vadinama užsidėgimo įtampa ( $U_{G}$ ). Prasidėjus savaiminiams išlydžiui jis gali vykti esant ir mažesnėms įtampoms nei  $U_U$ . Įtampa, kuriai esant nutrūksta savaiminis išlydis (lemputė užgesta), vadinama gesimo įtampa  $U_G$ .

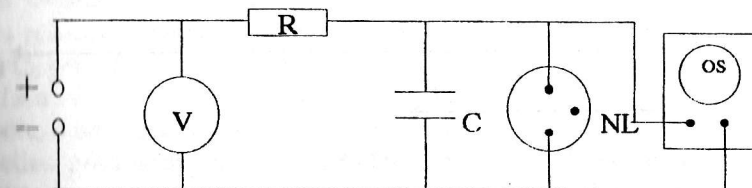
Neono lemputės užsidegimo ir gesimo įtampų didumus galima nustatyti sujungus 1 pav. parodytą grandinę. Grandinė sudaryta iš nuosekliai sujungtų:



1 pav.

Šaltinio nuolatinės įtampos, kurios didumas gali būti keičiamas, rezistoriaus ir neono lemputės. Grandinėje i jungtas didelės vidinės varžos voltmetras ir miliampēmetras.

Relaksacionius virpesius stebime sujungę parodytą 2 pav. grandinę. Šioje grandinėje i jungtas kondensatorius; sužadinti relaksacioniai virpesiai stebimi oscilografo ekrane.



2 pav.

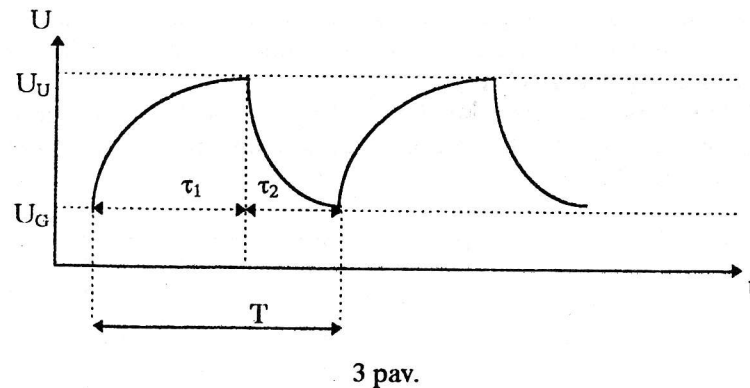
Sujungus 2 pav. parodytą grandinę per rezistorių įelektrinamas kondensatorius iki įtampos, kuri lygi šaltinio įtampai  $U_A$ . Didinant šią įtampą didėja įtampa kondensatoriuje ir kai jos didumas pasieks neono lemputės užsidegimo įtampą, lemputėje prasideda savaiminis išlydis, lemputės varža staigiai sumažėja ir pro ją pradeda tekėti elektros srovė, kuri pradeda išeletinti kondensatorių ir mažina įtampą tame, o tuo pačiu ir įtampą neono lemputėje. Įtampai sumažėjus iki gesimo įtampos ( $U_G$ ) lemputėje nutrūksta - lemputė užgesta. Lemputės varža staigiai padidėja ir srovė pro ją nebeteka. Dėl to įtampa kondensatoriuje vėl didėja ir padidėjus jai iki  $U_U$ , viskas kartojasi iš naujo. Šios įtampos kitimai parodyti 3 pav.

Švyravimo periodas  $T$  yra lygus kondensatoriaus įelektrinimo laiko  $\tau_1$  ir įelektrinimo laiko  $\tau_2$  sumai :

$$T = \tau_1 + \tau_2 . \quad (1)$$

Padal antrajį Kirchhofo dėsnį uždarote grandinėje įtampų kritimų sumą ištojant grandinėje veikiančiųjų ēvijų sumai. 2 pav. grandinei užrašome:

$$IR + U_C = U_A , \quad (2)$$



Prisimine kad  $I = \frac{dq}{dt}$  ir  $dq = CdU_C$ , gauname:

$$RC \frac{dU_C}{dt} + U_C = U_A. \quad (3)$$

Iš (3)

$$dt = RC \frac{dU_C}{U_A - U_C}. \quad (4)$$

Suintegravus (4) išraišką įtampoms nuo  $U_G$  iki  $U_U$  turėsime:

$$\tau_1 = \int_0^{\tau_1} dt = RC \int_{U_G}^{U_U} \frac{dU_C}{U_A - U_C} = RC \ln \frac{U_A - U_G}{U_A - U_U}. \quad (5)$$

Kondensatorius išelektrinamas per "degančią" neono lemputę, kai joje vyksta savaiminis išlydis. Tokiomis sąlygomis lemputėje esančiose neono dujose atsiranda daug neono jonų ir laisvų elektronų ir lemputės vidaus varža ( $R_c$ ) būna labai maža ( $R_c \ll R$ ). Kondensatorius labai greitai išsielektrina, laikas  $\tau_2$  (žiūr. (1) formulę) yra labai mažas ( $\tau_2 \ll \tau_1$ ). Todėl virpesių periodas  $T \approx \tau_1$ . Kondensatoriaus įtampa jo išelektrinimo metu yra tiesiog proporcinga išelektrinimo laikui. Šiuo atveju gaunami įtampos svyravimai, kurių forma primena išilginio pjūklo dantelių formą ir todėl vadinama p j ū k l i n e į t a m p a . Tokia įtampa vartojama oscilografuose spindulio skleistinei x-o ašimi.

## BANDYMO EIGA

### 1. Neono lemputės užsidegimo $U_U$ ir gesinimo $U_G$ įtampų nustatymas.

Tam sujungiame 1 pav. parodytą elektros grandinę, išsiaiškiname įtampos keitimo bei jos matavimo galimybes. Palaipsniui didiname įtampą tol, kol lemputė "užsidega", prasideda išlydis joje ir užrašome šios įtampos reikšmę. Svarbu atkreipti dėmesį į tai, kad degančioje lemputėje įtampa  $U_d$  yra mažesnė už užsidegimo įtampą. Užsidegimo įtampa  $U_U$  yra didžiausia įtampa reikšmė, kuri būna pačio užsidegimo metu, o užsidegus šuoliškai sumažėja iki  $U_d$ .

Toliau pradedame mažinti šaltinio įtampą ir stebime lemputę bei voltmetro parodymus. Lemputės užgesimo metu grandinėje nutrūksta elektros srovė, o įtampa šuoliškai padidėja iki  $U_A$ . Mazi a u s i a įtampa kuria rodo voltmetras prieš pat užgesant lemputei ir bus gesimo įtampa  $U_G$ . Užgesus lemputei, voltmetras rodys įtampą  $U_A$ . Bandymą pakartojame keletą kartų, kiekvieną kartą nustatome  $U_U$  bei  $U_G$  ir apskaičiuojame jų vidutines reikšmes.

Atelksacių svyravimų sužadinimas, jų stebėjimas oscilografo ekrane ir periodo teoriniis skaičiavimai bei praktinis matavimas oscilografu.

Sujungiame 2 pav. parodytą grandinę, užrašome rezistorius  $R$  ir kondensatoriaus  $C$  talpos reikšmę, išsiaiškiname kaip oscilografo ekrane galime stebeti relaksacinius svyravimus ir matuoti svyravimų periodą. Didiname šaltinio įtampą tol, kol neono lemputė pradeda išsilektinti ir užgessti, o oscilografo ekrane atsiranda relaksacinių svyravimai. Išitikiname, kad keičiant šaltinio įtampą keičiasi relaksacinių svyravimų periodas. Užrašome keletą ( $n$ ) šaltinio įtampos  $U_{A1}, U_{A2}, \dots U_{An}$  reikšmių ir pagal (5) formulę apskaičiuojame šias įtampas atitinkančius kondensatoriaus išelektrinimo laikus  $\tau_{11}, \tau_{12}, \dots \tau_{1n}$ . Kiekvienai įtampos reikšmei oscilografu išmatuojame svyravimų periodus ir gautas reikšmes paliginame su teoriškai apskaičiuotais laikais.

Kondensatoriaus nežinomas talpos ir rezistorius nežinomas varžos nustatymas.

Grandinėje (2 pav.) vietoj žinomos talpos  $C$  kondensatoriaus iš jungiamie nežinomos talpos  $C_x$  kondensatorių, sužadiname relaksacinius svyravimus ir nustatome vieną iš ankščiau buvusių įtampų  $U_{An}$  reikšmę. Oscilografu išmatuojame laiką  $\tau_{1x}$  ir iš (6) formulės apskaičiuojame nežinomą kondensatoriaus talpą  $C_x$ :

$$C_x = C \frac{\tau_{1x}}{\tau_{1n}}, \quad (6)$$

čia  $\tau_{1n}$  - kondensatoriaus įelektrinimo laikas nustatytas 2-ojoje užduotyje, kai buvo grandinėje ta pati įtampos reikšmė  $U_{An}$ .

Nežinomai rezistoriaus varžai nustatyti į grandinę (2 pav.) vėl i jungiame žinomas talpos kondensatoriu, bet pakeičiame rezistorių  $R$ , vietoj jo i jungiame  $R_x$ . Sužadiname relaksacinius svyravimus ir, esant įtampai  $U_{An}$ , oscilografu išmatuojame laiką  $\tau'_{1x}$ . Iš (7) formulės apskaičiuojame nežinomą rezistoriaus varžą:

$$R_x = R \frac{\tau'_{1x}}{\tau_{1n}}. \quad (7)$$

#### 4. Suformuluojame išvadas.

#### KONTROLINIAI KLAUSIMAI

1. Elektrinis laidumas dujose. Išlydžių rūšys ir jų aiškinimas.
2. Paaiškinkite relaksacinių svyravimų atsiradimą, kaip ir kodėl keičiasi jų periodas keičiant šaltinio įtampa, rezistoriaus  $R$  varžą arba kondensatoriaus talpą?

#### LITERATŪRA

- [1], p. 61 - 69.  
[2], p. 53 - 65.

## LABORATORINIS DARBAS Nr. 6

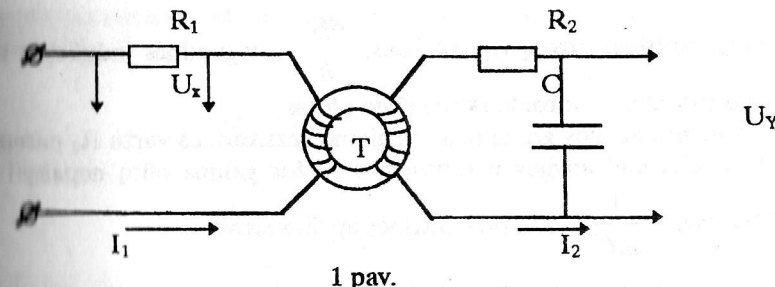
### FEROMAGNETIKO HISTEREZĖS KILPOS TYRIMAS

TIKSLAS: gauti oscilografo ekrane torido formos feromagnetiko histerizės kilpą ir apskaičiuoti permagnetinimo nuostolius.

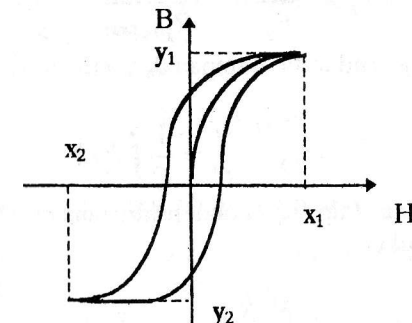
PRIEMONĖS: feromagnetiko histerezės kilpos tyrimo standas (jo schema pateikta 1 paveiksle;  $n_1$ ,  $N_2$ ,  $R_1$ ,  $R_2$ ,  $C$ ,  $S$  ir  $v$  reikšmės nurodytos stende).

#### DARBO METODIKA IR PAGRINDINĖS FORMULĖS

Histerizės kilpa rodo sukurtos magnetiko viduje magnetinės indukcijos  $B$  priklausomybę nuo išorinio magnetinio lauko stiprio  $H$  (2 pav.). Oscilografo ekrane ji gaunama šiuo būdu.



1 pav.



2 pav.

Toroido T pirmine apvija tekanti srovė  $I_1$  (1 pav.) sukuria toroide magnetinę lauką, kurio stipris

$$H = n_1 I_1 = n_1 \frac{U_x}{R_1}, \quad (1)$$

$$dH = n_1 \frac{dU_x}{R_1}, \quad (1a)$$

čia  $n_1$  - pirminės apvijos vijų skaičius ilgio vienete,  $I_1$  - pirminės apvijos srovės stipris,  $U_x$  - įtampos kritimas rezistoriuje  $R_1$  ( jungiamas prie oscilografo X įėjimo ). Iš (1) plaukia, kad  $U_x \sim H$ .

Antrinėje apvijoje indukuojama elektrovaros jėga

$$E_{ind} = -N_2 \frac{d\Phi_m}{dt} = -N_2 S \frac{dB}{dt}, \quad (2)$$

čia  $N_2$  - antrinės apvijų vijų skaičius,  $\frac{dB}{dt}$  - magnetinės indukcijos kitimo greitis toroide,  $S$  - toroido skerspjūvio plotas.

Antrinės apvijos grandinėje jungiamo rezistoriaus varža  $R_2$  parenkama tiek didelė, kad apvijos reaktyviosios varžos galima būtų nepaisyti ( t.y.

$R \gg \omega L - \frac{1}{\omega C}$  ). Tuomet antrinės apvijos srovė

$$I_2 \approx \frac{|E_{ind}|}{R_2} = \frac{N_2 S}{R_2} \frac{dB}{dt}. \quad (3)$$

Kondensatoriuje sudaryta įtampa  $U_c$ , jungiama prie oscilografo Y įėjimo, lygi:

$$U_c = U_Y = \frac{q}{C} = \frac{1}{C} \int I_2 dt, \quad (4)$$

čia  $C$  - kondensatoriaus talpa,  $q$  - kondensatoriaus krūvis.

Iš (3) ir (4) plaukia:

$$U_Y = \frac{1}{C} \frac{N_2 S}{R_2} \int dB = \frac{N_2 S}{R_2 C} B, \quad (5)$$

t.y.  $U_Y \sim B$ .

### Vieno ciklo permagnetinimo nuostolių energijos tankis

$$w = \oint BdH. \quad (6)$$

Iš (6) B ir dH išraiškas iš (5) ir (1a), gauname:

$$w = \frac{R_2 C n_1}{N_2 S R_1} \oint U_Y dU_X. \quad (7)$$

Įtampos

$$U_x = \sqrt{2} U_{ef.x} = k_x x, \quad (8)$$

$$U_y = \sqrt{2} U_{ef.y} = k_y y, \quad (8a)$$

čia  $U_{ef.x}$  ir  $U_{ef.y}$  - efektinės ( matuojamos ) įtampų vertės,  $k_x$  ir  $k_y$  - oscilografo ekrano x ir y ašių padalų vertės voltais metrui, esant tam tikram X ir Y stiprinimui.

$$x = \frac{|x_1| + |x_2|}{2}, \quad (9)$$

$$y = \frac{|y_1| + |y_2|}{2}, \quad (9a)$$

čia  $|x_1|$ ,  $|x_2|$ ,  $|y_1|$ ,  $|y_2|$  yra histerizės kilpos galų koordinačių reikšmių absolutūs dydžiai ( vidurkis imamas, kad išvengti paklaidos, jei kilpa nėra pilnai centruota x ir y ašių atžvilgiu ).

Istačius (8) ir (8a) iš (7), gauname:

$$w_1 = \frac{R_2 C n_1}{R_1 S N_2} k_x k_y \oint y dx, \quad (10)$$

čia  $\oint y dx = S_k$  - histerizės kilpos ribojamas plotas.

Kadangi permagnetinimas vyksta dažniu v, tūrio vienete permagnetinimo energijos nuostoliai per 1 s ( t.y. nuostolių galios tankis ) lygūs

$$w = v w_1, \quad (11)$$

arba galutinai

$$w = \nu \frac{R_2 C n_1}{R_1 S N_2} k_x k_y S_k. \quad (12)$$

### BANDYMO EIGA

1. Stendo (1 pav.) įtampa  $U_x$  paduodame į oscilografo X jėjimą, o  $U_Y$  - į Y jėjimą. Oscilografo ekrane gauname histerizės kilpą. X ir Y ašių stiprinimus parenkame taip, kad kilpa užimtu didelę ekrano dalį.
2. Išmatuojame įtampas  $U_{ef,x}$  ir  $U_{ef,y}$ , bei kilpos galų koordinates  $x_1, x_2, y_1, y_2$ .
3. Apskaičiuojame x ir y pagal (9) ir (9a), po to apskaičiuojame  $k_x$  ir  $k_y$ , išreikštus iš (8) ir (8a).
4. Išmatuojame histerizės kilpos plotą.
5. Pagal (12) apskaičiuojame permagnetrinimo nuostolių galios tankį.
6. Sumažiname paduodamą į toroidą įtampą (kilpos plotas sumažės ir pati kilpa nepasieks įsotinimo).
7. Pakartojame matavimus (nekeičiame X ir Y ašių stiprinimo) ir apskaičiuojame nuostolių tankį.
8. Palyginame rezultatus ir suformuluojame išvadas.

### KONTROLINIAI KLAUSIMAI

1. Medžiagų skirstymas pagal jų magnetines savybes.
2. Feromagnetikai bei jų savybės.
3. Magnetinė indukcija, magnetinio lauko stipris, įmagnetėjimas, jų ryšys.
4. Elektromagnetinės indukcijos reiškinys.
5. Torido magnetinis laukas.
6. Magnetinio lauko energija ir jos tankis, permagnetrinimo nuostolių galia ir jos tankis.

### LITERATŪRA

- [1], p. 85-86, 120-123.  
 [11], p. 66-73.

### LABORATORINIS DARBAS Nr.7

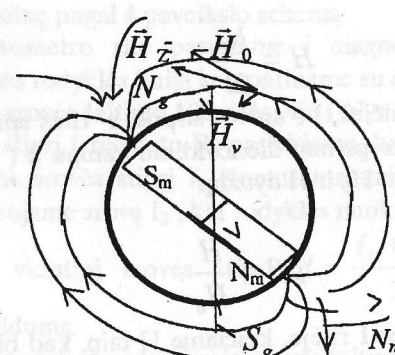
#### ŽEMĖS MAGNETINIO LAUKO TYRIMAS

**TIKSLAS:** išmatuoti Žemės magnetinio lauko stiprio horizontaliąją dedamąją.

**PRIEMONĖS:** tangentinis galvometras (jo parametrai nurodyti stende), milliampermetras, reostatas, nuolatinės srovės šaltinis.

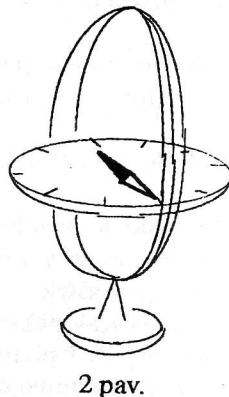
#### DARBO METODIKA IR PAGRINDINĖS FORMULĖS

Žemės magnetinių laukų galima apytikriai sumodeliuoti strypiniu magnetu, kurio pietinis magnetinis polius yra šiaurės pusrutulyje, Kanados salyno Batersto salos šiauriniame pakraštyje, o šiaurinis magnetinis polius - Antarktidoje. Žemės paviršiuje laisvai pakabintos magnetinės rodyklės šiaurinė (mėlynas) galas nukreiptas į pietinį magnetinį polių, rodyklė išidėsto magnetinio dienovidinio plokštumoje ir sudaro tam tikrą kampą su horizontu (1 paveiksle  $N_m$  ir  $S_m$  - Žemės magnetiniai poliai,  $S_g$  ir  $N_g$  - geografiniai,  $\vec{H}_z$  - geomagnetinio lauko stiprio vektorius,  $\vec{H}_0$  ir  $\vec{H}_v$  - jo horizontali ir vertikali dedamosios).



1 pav.

Šiame darbe horizontali geomagnetinė lauko dedamoji  $\vec{H}_0$  matuojama tangentiniu galvometru. Jį sudaro didelio skersmens ir mažo ilgio ritė, kuri gali suktis aplink vertikalią ašį, ir horizontalus diskas su magnetine rodykle centre ( 2 pav. ).



2 pav.

Rodyklė gali suktis spie vertikalią ašį ir nesant ritėje srovės nusistovi magnetinio dienovidinio plokštumoje. Jei ritės plokštumą sutapatinti su dienovidinio plokštuma ir leisti srovę, ritės ( labai trumpo selenoido ) centre susidaro magnetinis laukas, kurio stipris:

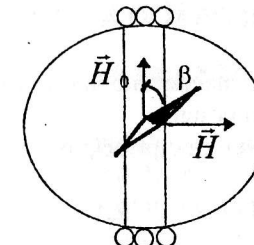
$$H = \frac{NI}{2r}, \quad (1)$$

čia N - ritės vių skaičius, I - srovės stipris, r - ritės spindulys. Šiam laukui veikiant rodyklė nukryps nuo dienovidinio kampu  $\beta$  ( 3 pav. ). Nuokrypio kampus priklauso nuo  $H_0$  ir H dydžių:

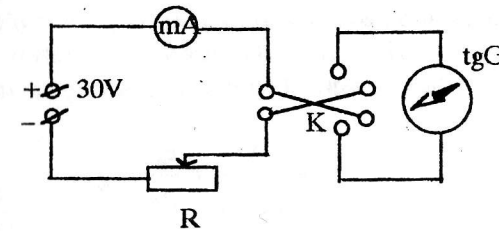
$$\operatorname{tg} \beta = \frac{H}{H_0}. \quad (2)$$

Keisdami srovės stiprių I ritėje, keičiame H taip, kad būtų  $\beta=45^\circ$ , ( tuomet  $H_0$  nustatymo paklaida yra minimali ). Šiuo atveju  $H=H_0$ , t.y. horizontali Žemės magnetinio lauko dedamoji:

$$H_0 = \frac{NI}{2r}. \quad (3)$$



3 pav.



4 pav.

#### BANDYMO EIGA

1. Sujungiamė grandinę pagal 4 paveikslą schemą.
2. Tangentinio galvometro ritę pasukame į magnetinio dienovidinio plokštumą, magnetinės rodyklės liniją sutapatiname su diskо padala  $360^\circ$ .
3. Prijungiamo prie srovės šaltinio 100 ritės vių ( $N_1=100$ ).
4. Keisdami srovės stiprių I reostatu R, pasiekiamo, kad rodyklė nukryptę  $45^\circ$  kampu, užrašome srovės stiprių I. Komutatoriumi pakeičiame srovės kryptį ritėje ir išmatuojame srovę  $I_2$ , kai rodyklės nuokrypis lygus  $-45^\circ$ .
5. Apskaičiuojame vidutinį srovės stiprių  $I = \frac{I_1 + I_2}{2}$  ir pagal (3) apskaičiuojame  $H_0$  didumą.
6. Bandymą pakartojame, jungdami prie srovės šaltinio 75 ir 50 ritės vių.
7. Apskaičiuojame vidutinį ( $H_0$ ).
8. Suformuluojame išvadas.

## KONTROLINIAI KLAUSIMAI

1. Magnetinio lauko indukcija, magnetinio lauko stipris, jų ryšys.
2. Žemės magnetinis laukas, jo poliai.
3. Tangentinio galvanometro veikimo principas.

## LITERATŪRA

[1], p.73.

## LABORATORINIS DARBAS Nr. 8

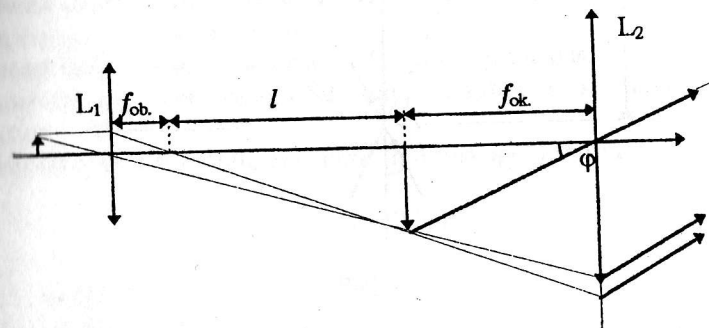
### TIKLO LŪŽIO RODIKLIO NUSTATYMAS MIKROSKOPU

**TIKSLAS:** išmatuoti skaidrios medžiagos šviesos lūžio rodiklį mikroskopu.  
**PRIEMONĖS:** mikroskopas, apšvietimo sistema, skaidrių plokštelių rinkinys, mikrometras, rėžtukas.

Mikroskopai vartojami mažiems daiktams stebeti ir matuoti. Pagrindinės mikroskopo dalys yra objektyvas ir okularas. Tai trumpo židinio nuotolio glaudžiamosios optinės sistemos  $L_1$  ir  $L_2$ , tarp kurių atstumas (mikroskopo vamzdelio ilgis)  $l$  yra daug didesnis už šių sistemų židinių nuotolius. Iš 1 pav. pateiktos schemas nesunku nustatyti, kad tokio mikroskopio tiesinis didinimas  $N_m$  bus daikto regėjimo kampo per mikroskopą  $\varphi$  santykis su jo regėjimo kampu  $\varphi_1$  iš atstumo  $D$ :

$$N_m = \frac{\varphi}{\varphi_1} = \frac{Dl}{f_{ob} f_{ok}}, \quad (1)$$

čia  $D=25\text{cm}$  - vidutinis akies geriausio matymo nuotolis;  $f_{ob}$  ir  $f_{ok}$  - atitinkamai objektyvo ir okuliaro židinių nuotoliai. Optiniai mikroskopai gali didinti iki tūkstančio kartų, todėl jais tiksliai galima matuoti mažus dydžius, o šiame darbe tiriamosios plokštelių regimaiji storij.

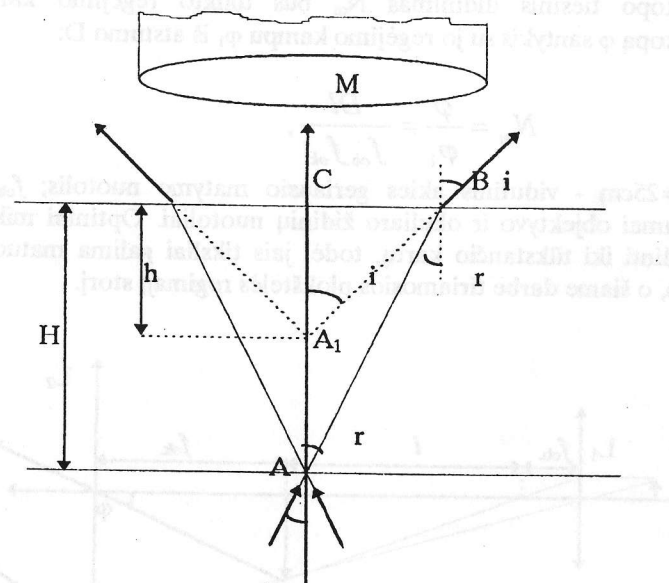


1 pav.

## DARBO METODIKA IR PAGRINDINĖS FORMULĖS

Stebint daiktą per vandens sluoksni arba stiklinę plokštelię, atrodo, kad jis yra arčiau mūsų, negu iš tikrujų. Šis tariamas daikto priartėjimas sietinas su šviesos lūžimu oro ir medžiagos riboje. Nesunku ji išmatuoti mikroskopu ir susieti su medžiagos lūžio rodikliu. Spinduliams krintatiems mažu kampu (2 pav.) lūžio dėsnį užrašome:

$$n = \frac{\sin i}{\sin r} \approx \frac{\tg i}{\tg r} = \frac{CB}{h} = \frac{H}{CB} = \frac{H}{h} \quad (2)$$



2 pav.

Iš (2) išplaukia, kad norint surasti stiklo lūžio rodiklį  $n$ , pakanka mikrometru išmatuoti stiklo storį  $H$  ir mikroskopu M nustatyti tiriamajį storį  $h$  t.y. atstumą iki taško  $A_1$ , kuriame susidaro taško A menamasis vaizdas.

## DARBO EIGA

- Viršutiniame ir apatiname tiriamojo stiklo paviršiuose įbrėžiame po vieną brūkanelį, kad žiūrėdami iš viršaus matytume jų susikirtimą.
- Mikrometrui išmatuojame toje vietoje, kur yra įbrėžos, plokštės storį  $h$ .
- Plokštėlė padedama po mikroskopo objektyvu taip, kad pakeitę tik mikroskopo aukštį nuo stalelio matytume viršutinį arba apatinį brūkanelius.
- Mikroskopas M nustatomas taip, kad aiškiai matytume apatinį brūkanelį (mikrometriniu sraigtu mikroskopas nulcidžiamas į žemesnę padėtį). Pažymimas mikrometrinio sraigto rodmuo.
- Mikrometriniu sraigtu mikroskopas M keliamas tiek, kad aiškiai būtų matomas viršutinis brūkšnelis. Skaičiuojamas visų sūkių ir jo dalį padalų skaičius. Gautą sūkių ir padalų skaičių padauginame iš jų vertės ir taip surandame tiriamajį plokštės storį  $h$ .
- 4 -oji ir 5 -oji punktus kartojame keletą kartų, duomenis rašome į lentelę, surandame vidurkį ir pagal (2) formulę apskaičiuojame stiklo lūžio rodiklį.
- Ivertiname rezultato paklaidą, suformuluojame išvadas.

## KONTROLINIAI KLAUSIMAI

- Šviesos sklidimas medžiagoje; šviesos greitis, lūžio rodiklis, elektroninės dispersijos teorijos pagrindai.
- Šviesos lūžio ir atspindžio dėsniai. Hiugenso principas.
- Spindulių eiga per lygiagrečių sienų plokštclę ir sferinius paviršius (lešius).
- Mikroskopas ir spindulių eiga Jame; mikroskopo didinimas.

## LITERATŪRA

[5], p. 263-266.

[13], p. 17-23, 24-27.

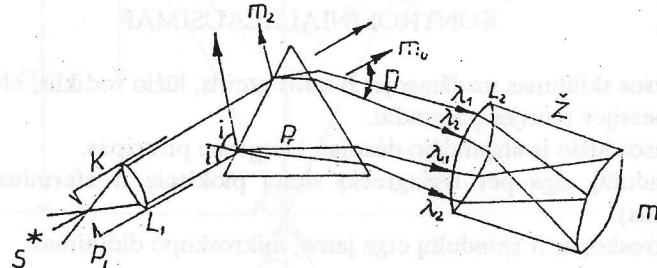
## LABORATORINIS DARBAS Nr. 9

### MEDŽIAGOS ŠVIESOS LŪŽIO RODIKLIO NUSTATYMAS PRIZMĖS METODU

TIKSLAS: išmatuoti laužiamajį prizmės kamą, nustatyti medžiagos lūžio rodiklį.

PRIEMONĖS: prizmė, šviesos šaltiniai.

Goniometras - tai optinis prietaisas, kuriuo matuojami prizmių ir kristalų kampai, o turintis dispersijos prizmę arba difrakcijos gardeļę vartojaas ir kaip spektrometras (monochromatorius). Goniometras sudarytas iš korpuso, prie kurio tvirtinamas kolimatorius K, žiūronas Ž, stalelis B, ant kurio galima statyti tiriamąjį prizmę, kristalą ir t.t. Stalelis gali suktis apie statmenąją ašį. Apie analogišką aši suka si ir žiūronas. Goniometre yra optinių detelių, stalelio reguliavimo rankenėlės, bei posūkio kamų matavimo skalės. Optinė kolimatoriaus K sistema formuoja lygiagrečių spinduliu pluoštą (1 pav.).

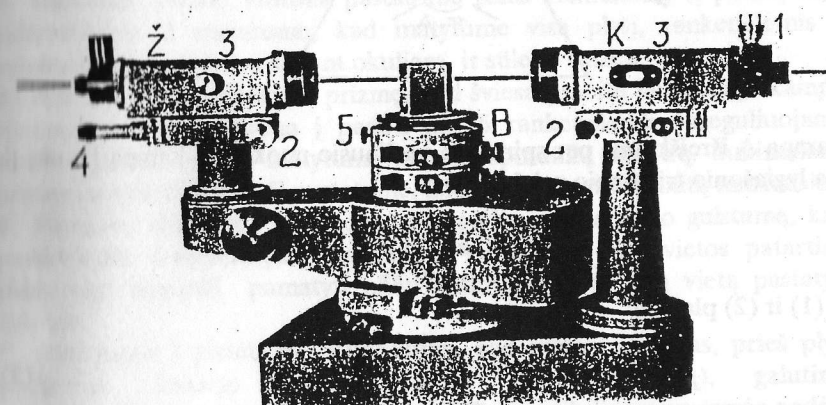


1 pav.

Ji sudaro keičiamo pločio plyšis  $P_1$ , kuris stovi glaudžiamojo lėšio  $L_1$  židinio plokštumoje. Prieš plyšį yra šviesos šaltinis S. Žiūronas Ž, sudarytas iš dviejų optinių sistemų: objektyvo  $L_2$  ir okuliaro  $L_3$ , kurios padidina įeinančių spinduliu regėjimo kamą. Lėšių padėtį galima reguliuoti rankenėlėmis arba sukant jų tvirtinimo sraigtinius žiedus. Žiūrono arba

stalelio pasukimo kampus galima nustatyti vartojant tiesioginę mechaninę skalę, arba sudėtingesnėse konstrukcijose optiniu būdu ir juos pastatyti i norimą padėtį  $m_0$ ,  $m_1$ ,  $m_2$  ir t.t.

Darbe naudojamas goniometras GS - 5 (AC - 5), kuriuo galima atlikti tikslus įvairių kamų matavimus (2 pav.). Rankenėle 1 keičiamas pluošto plotis, rankenėlėmis 2 nustatoma kolimatoriaus ir žiūrono gulstumas, o rankenėlėmis 3 atliekamas fokusavimas. Per skalės žiūronėlį 4 stebima dviguba skirtinė krypčių skalė su atitinkama žyma, pagal kurią nustatomas sukiimo kampos. Rankenėlėmis 5 reguliuojama stalelio gulstumas. Kitų rankenelių laboratoriniame darbe nesukinėjame.



2 pav.

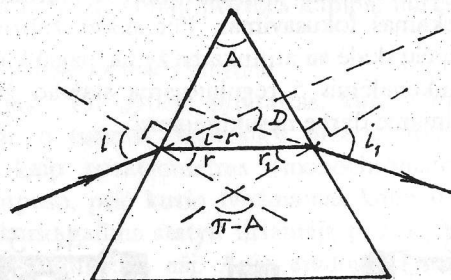
### DARBO METODIKA IR PAGRINDINĖS FORMULĖS

Spindulio nuokrypio kampos jam praėjus prizmę yra mažiausias, jei lygiašonėje prizmėje (3 pav.) spindulys eina lygiagrečiai pagrindui, t.y. jo įėjimo ir išėjimo kampai lygūs,  $i=i_1$  bei  $r=r_1$ . Iš geometrinės sąryšių plaukia, kad šiuo atveju  $r=r_1=\frac{A}{2}$ , čia A - laužiamasis prizmės kampos.

Pagal lūžio rodiklio apibrėžimą užrašome:

$$n = \frac{\sin i}{\sin r} = \frac{\sin i_1}{\sin r_1} = \frac{\sin i}{\sin \frac{A}{2}}, \quad (1)$$

čia  $i$  ir  $r$  spindulio kampai su statmeniu į aplinką skiriantį paviršiu.



3 pav.

Kampą  $A$  išreiškiame per spindulio mažiausio nuokrypio kampą  $D$ , nes jis yra lygiašonio trikampio priekampis:

$$\begin{aligned} D &= 2(i-r) = 2i - A \\ A &= 2i - D. \end{aligned} \quad (2)$$

Iš (1) ir (2) plaukia:

$$n = \frac{\sin i}{\sin \frac{2i - D}{2}}. \quad (3)$$

Išmatavus mažiausiojo nuokrypio kampą  $D = m_1 - m_0$  ir panaudojant atspindį, nesunku surasti kampą  $i$  (1 pav.), todėl iš (3) lengvai apskaičiuojamas lūžio rodiklis  $n$ .

Medžiagos lūžio rodiklis dėl šviesos dispersijos priklauso nuo bangos ilgio, todėl mažiausiojo nuokrypio padėtis turi būti nustatoma atitinkamai spekto linijai, o tai néra patogu.

Dispersijos kreivei  $n=f(\lambda)$  matuoti patogesnė formulė, kai joje kinta tik vienas dydis. Iš (1) ir (2) plaukia:

$$n = \frac{\sin \frac{A+D}{2}}{\sin \frac{A}{2}}. \quad (4)$$

Išant mažam laužiamajam prizmės kampui  $A$ , maži bus kampai  $i$  ir  $r$ , todėl formulėse sinusus galima keisti kampais. Šiuo atveju iš (4) plaukia paprastesnis sąryšis:

$$D = A(n-1). \quad (5)$$

### DARBO EIGA

1. Prieš goniometro jėjimo plyšį pastatome intensyvesnį šviesos šaltinį (kaitinamąją lempą), įjungiamo goniometro apšvetimą.
2. Nuimame prizmę, žiūroną pastatome prieš kolimatorių (i padėti  $m_0$ ), rankenėlėmis 2 nustatome, kad matytume visą plyšį, rankenėlėmis 3 sureguliuojame plyšio, o sukant okuliara, ir sūlelio vaizdą.
3. Ant stalčio B pastatome prizmę, kad šviesa praeitų laužiamomojo kampo sienas, pasukame žiūroną į padėti  $m_1$ , 5 rankenėlėmis sureguliuojame stalčio gulstumą, kad matytume lūžusių spindulių spektrą. Sukinédami prizmę su stalčiu apie ašį nustatome, kad lūžio kampus D būtų mažiausias.
4. Pasukame žiūroną į  $m_2$  padėti, pareguliuojame stalčio gulstumą, kad pamatybtume atispindėjusį spindulį. Pradžioje iš šios vietas patartina paistengti atspindį pamatyti plika akimi, o po to į tą vietą pastatyti žiūroną.
5. Gražiname į padėti  $m_1$ , išitikiname, kad matosi spektras, prieš plyšį pastatome linijinio spektro šaltinį (neono lempą), galutinai sureguliuojame, kad matytume ryškias linijas, patiksliame prizmės padėti, kad lūžio kampus D būtų mažiausias. Sutapatiname ryškiausių linijų padėtis su atskaitos siūleliu, žiūrėdami per žiūroną 4, užsirašome atskaitos skalės padėtis  $m_{11}; m_{12}; m_{13}$  ir t.t. (visuose matavimuose naudojame vieną viršutinę arba apatinę skalę).
6. Nepajudinę prizmės stalčio, gražiname žiūroną į padėti  $m_2$ , užsirašome atskaitos skalės padalą, kai atspindžio plyšio vaizdas sutampa su atskaitos siūleliu.
7. Nuimame prizmę nuo stalčio, pastatome žiūroną prieš kolimatorių, kad plyšio vaizdas sutaptų su atskaitos siūleliu, užrašome skalės padalą  $m_0$ .
8. Surandame  $D = |m_1 - m_0|$  ir  $i = \frac{180^\circ - |m_2 - m_0|}{2}$ . Imant skirtumus, jei tarp šių padėcių buvo  $0^\circ \leftrightarrow 360^\circ$  šuolis, reikia tai įvertinti (atskirai imti skirtumą iki  $0^\circ$ , nuo  $360^\circ$  iki atskaitos padėties).

9. Naudodamiesi (2) formule, randame laužiamajį kampą A.  
 10. Iš (5) randame lūžio rodiklius matuotų linijų šviesai  $n_1$ ;  $n_2$ ;  $n_3$ , o iš lentelės jų bangų ilgius  $\lambda$ . Duomenis rašome į lentelę. Nubrėžiame grafiką  $n=f(\lambda)$ .

#### KONTROLINIAI KLAUSIMAI

- Heigenso principas ir jo panaudojimas, aiškinant šviesos atspindžio ir lūžio dėsnius.
- Šviesos spindulių eiga per lešius ir prizmes.
- Kolimatoriaus ir žiūrono principinės schemas. Spindulių eiga juose.
- Darbe naudojamų formulų išvedimas.
- Šviesos dispersija ir jos elektroninės teorijos pagrindai. Gauto darbe grafiko aiškinimas.

#### LITERATŪRA

[5], p.256-263.

[13], p.17-23, 28-33.

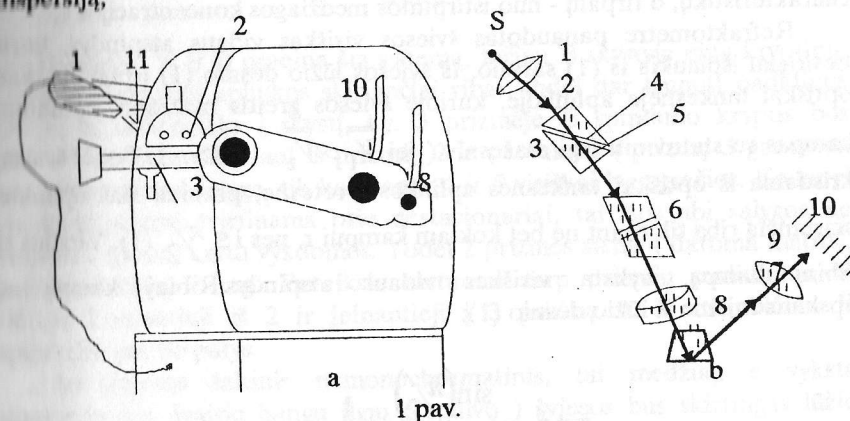
#### LABORATORINIS DARBAS Nr. 10

#### TIRPALŲ ŠVIESOS LŪŽIO RODIKLIO MATAVIMAS REFRAKTOMETRU

**TIKSLAS:** išmatuoti įvairios koncentracijos tirpalų šviesos lūžio rodiklį, nubrėžti jo priklausomybės nuo koncentracijos grafiką bei surasti nežinomojo tirpalo koncentraciją.

**PRIEJIMONĖS:** refraktometras, žinomas koncentracijos tirpalas, menzurėlės bei mėgintuvėliai, nežinomas koncentracijos tirpalas.

Refraktometro ( 1 pav. a ) optinė schema pavaizduota 1 pav. b. Šviesos spinduliai, sklindantys iš šaltinio S, apšvietimo sistemos 1 nukreipiami į 2 prizmę. Praėję šios prizmės 4 sieną, jie patenka į ploną tiriamojo skysčio 5 sluoksnį, esantį tarp prizmių 2 ir 3. Praėję šią sistemą, šviesos spinduliai apšviečia dalį regėjimo lauko, kurio šviesaus krašto padėtis priklauso nuo skysčio 4 lūžio rodiklio. Spinduliai, praėję šviesos dispersiją,



1 pav.

kompenzuojančią prizmę 6, fokusuojančius lešius 7, 9 ir nukreipenčiąją prizmę 8, apšviečiančią lūžio rodiklio skalę 10 ir pagal matomos apšviestos ribos padėtį nustatomas lūžio rodiklis n. Šių optinių detalių padėtys reguliuojamos skaičiais pažymėtomis rankenėlėmis ( 1 pav. a ).

## DARBO METODIKA IR PAGRINDINĖS FORMULĖS

Krintant šviesos spinduliu iš vienos aplinkos į kitą, pvz. iš oro į stiklą, aplinkų riboje jis iš dalies atsisipindi ir praeina į kitą aplinką, nukrypdamas nuo savo tiesioginio sklidimo linkmės.

Šviesos lūžio dėsniai:

1. Kritęs ir lūžęs spinduliai guli vienoje plokštumoje su statmeniu, išvestu iš aplinkas skiriančios plokštumos.
2. Kritimo kampo sinuso santykis su lūžio kampo sinusu yra pastovus dydis:

$$\frac{\sin i}{\sin r} = \frac{\bar{V}_1}{\bar{V}_2} = n = \text{const}, \quad (1)$$

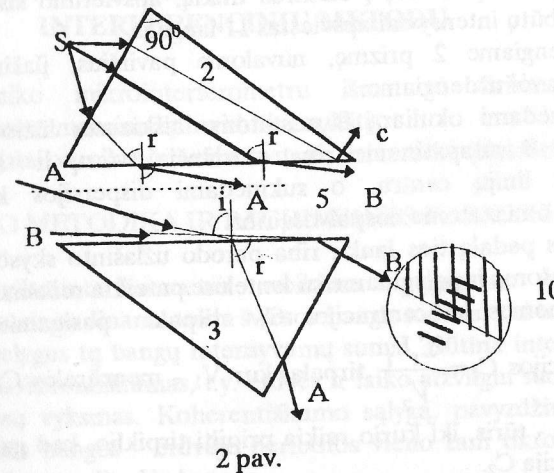
čia  $i$  ir  $r$  - spindulio kampai su statmeniu 1-oje i 2-oje aplinkose, kuriose šviesos sklidimo greičiai atitinkamai  $v_1$  ir  $v_2$ ,  $n$  - santykinis lūžio rodiklis, priklausantis nuo medžiagų molekulių elektrinio poliarizuojamumo ir kt. charakteristikų, o tirpalų - nuo ištriptos medžiagos koncentracijos  $c$ .

Refraktometre panaudotas šviesos visiškas vidaus atspindys, kuris tiesiogiai išplaukia iš (1) sąryšio. Iš šviesos lūžio dėsnio (1) išplaukia, kad optiškai tankesnėje aplinkoje, kurioje šviesos greitis mažesnis, spindulio kampus su statmeniu irgi mažesnis ( jei  $\bar{V}_1 > \bar{V}_2$ , tai  $i > r$  ). Todėl šviesa, kisdama iš optiškai tankesnės aplinkos į retesnę, praeina šias aplinkas skiriančią ribą tik esant ne bet kokiam kampui  $r$ , nes  $i \leq \pi/2$  (1). Viršijus ši ribinį kampą, vyksta visiškas vidaus atspindys. Ribinį kampą  $r_0$  apskaičiuojame iš lūžio dėsnio (1):

$$\sin r_0 = \frac{\sin(\pi/2)}{n} = \frac{1}{n}. \quad (2)$$

Šviesa kisdama iš optiškai retesnės aplinkos į tankesnę, praeina esant bet kokiam kritimo kampui, tačiau padidinus kritimo kampą net iki  $\pi/2$  (spindulys eina lygiagrečiai aplinkos skiriančiai ribai), tankesnėje aplinkoje jo kampus su statmeniu neviršys  $r_0$  didumo.

Refraktometre šie abu atvejai vyksta šviesai sklidant per stiklo prismes 2, 3 ir skystį 5, kurio lūžio rodiklis mažesnis negu stiklo (2 pav.). Matome,



2 pav.

kad spinduliai A ir B praeina šią sistemą, tačiau B skystyje eina kryptimi, artima lygiagrečiai aplinkos skiriančiai ribai, todėl dar truputį padidinus kampą  $r$ , nebepateks į skystį, t.y. 3 prizmėje B spindulio kryptis bus ribinė. Spinduliu sklidant iš prizmės 2 ir patenkant į prizmę 3 gaunama analogiška ribinė sąlyga, tik kai sienos 4 ir 5 visiškai lygiagrečios. Kadangi viršutinė prizmė tvirtinama prie nestacionariai, tai šios abi sąlygos ne visuomet tiksliai kartu vykdomos. Todėl 2 prizmės siena 4 daroma matinė, kad išskaidytų šviesą. Paveiksle atstumas tarp prizmių padidintas, iš tinkerų išeinančieji iš 2 ir įeinančieji į 3 prizmę A ir atitinkamai B spinduliai yra tie patys.

Jei šviesos šaltinis nemonochromatinis, tai medžiagose vyksta dispersija, t.y. įvairių bangų ilgių ( spalvų ) šviesos bus skirtinges lūžio rodiklis ir tuo pačiu skirtinges ribinis kampus  $r_0$  (2). Šiuo atveju stebimoji riba bus spalvota ir nepakankamai ryški. Norint stebeti ryškią ribą, naudojamas dispersijos kompensatorius 6, kurį sudaro atvirkščiai pastatyta dispersinių prizmių sistema. Ji sukiodami kompensuoja dispersijos poveikį.

## BANDYMO EIGA

- 1 Ijungiamė prietaisą į elektros tinklą, apšvietimo sistemą pastatome taip, kad būtų intensyviai apšviestas 11 langelis.
- 2 Atidengiamė 2 prizmę, nuvalome paviršius, įlašiname 3-5 lašus vandens ir vėl uždengiamė.
- 3 Sukinėdami okuliarą 9 nustatome aiškiausią lūžio rodiklių skale, rankenėle 8 sutapatiname ribą, skiriančią šviesų ir tamsų laukus su kryžminiu linijų centru, o sukinėdami dispersijos kompensatoriaus rankenėlę 6 nustatome nespalvotą ribą.
- 4 Skalės padalą ties laukų riba parodo užlašinto skyčio lūžio rodikli, kurį užsirašome ir palyginame su lentelėse pateikta reikšme.
- 5 Iš žinomos koncentracijos  $C_1$  tirpalo pasigaminame reikiamais koncentracijos  $C_2 = \frac{C_1 V_1}{V_2}$  tirpalą, kur  $V_1$  - menzūrėlės  $C_1$  koncentracijos tūris, o  $V_2$  - tūris, iki kurio reikia pripilti tirpiklio, kad gautume reikiama koncentraciją  $C_2$ .
- 6 Anksčiau aprašytu būdu išmatuojame  $C_2$  koncentracijos tirpalo lūžio rodikli. Analogiskai pasigaminame dar 4-6 skirtingų koncentracijų tirpalus ir išmatuojame jų lūžio rodiklius. Rezultatus išrašome į lentelę.
- 7 Nubraižome lūžio rodiklio n priklausomybės nuo tirpalo koncentracijos C grafiką  $n=f(c)$ .
- 8 Išmatuojame nežinomas koncentracijos tirpalo lūžio rodikli ir iš grafiko nustatome jo koncentraciją.
- 9 Suformuluojame išvadas.

## KONTROLINIAI KLAUSIMAI

1. Šviesos sklidimas medžiagoje, šviesos greitis, lūžio rodiklis; elektroninės dispersijos teorijos pagrindai.
2. Heigenso principas ir jo vartojimas aiškinant šviesos atspindžio ir lūžio dėsnius.
3. Visiškas vidaus atspindys ir jo vartojimas lūžio rodikliui matuoti.
4. Optinė refraktometro schema. Spinduliu eiga refraktometre.

## LITERATŪRA

[13], p.17-23, 34-40.

## LABORATORINIS DARBAS Nr. 11

### KIETUJŲ KŪNU PAVIRŠIAUS NELYGUMO ĮVERTINIMAS INTERFERENCINIU METODU

**TIKSLAS:** Liniko mikrointerferometru išmatuoti tiriamujų kūnų paviršiaus nelygumo maksimalų ir vidutinį aukštį.

**PRIELMONĖS:** Liniko mikrointerferometras, tiriamosios plokšteliės.

#### DARBO METODIKA IR PAGRINDINĖS FORMULĖS

Liniko mikrointerferometro veikimo pagrindas - šviesos interferencija, kuria vadinama tokia šviesos bangų sudėtis, kai atstojamasis intensyvumas nelygus tų bangų intensyvumų sumai. Būtina interferencijos sąlyga - bangų koherentišumas, t.y. erdvės ir laiko atžvilgiu suderintas šių banginių procesų vyksmas. Koherentiškumo sąlygą, pavyzdžiui, tenkina monochromatinės bangos - erdvėje neribotos vieno tam tikro pastovaus dažnio ir pastovios amplitudės bangos.

Užsiklojant koherentinėm bangom, išreiškiamom lygtimi

$$S_1 = A_1 \sin\left[2\pi\left(\frac{t}{T} - \frac{l_1}{\lambda}\right)\right] \quad (1)$$

$$S_2 = A_2 \sin\left[2\pi\left(\frac{t}{T} - \frac{l_2}{\lambda}\right)\right], \quad (2)$$

kur  $A_1, A_2$  - bangų amplitudės,  $T$  - svyraus periodas,  $\lambda$  - bangos ilgis,  $l_1, l_2$  - bangų geometriniai keliai,  $t$  - laikas, atstojamosios bangos amplitudė A bus lygi

$$A = \sqrt{A_1^2 + A_2^2 + 2A_1 A_2 \cos \varphi}. \quad (3)$$

Oja  $\varphi = 2\pi \frac{l_2 - l_1}{\lambda}$  - sudedamųjų bangų fazų skirtumas. Taigi

atstojamasis šviesos intesivumas  $I$ , kuris proporcingas  $A^2$ , priklauso nuo užsiklojančių bangų fazų skirtumo  $\varphi$ . Vienose erdvės vietose, kur  $\cos \varphi = 1$ ,

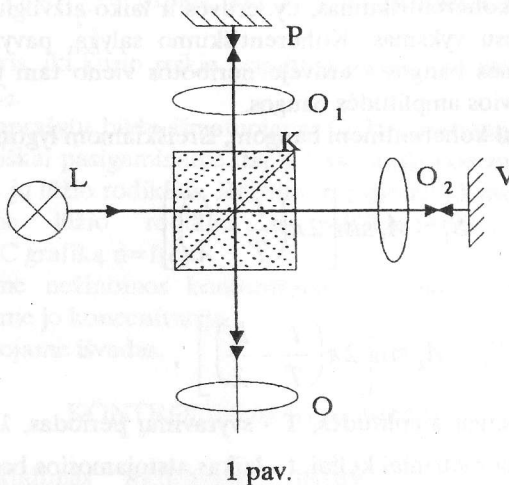
jis bus maksimalus, o kitose, kur  $\cos\phi=-1$  - minimalus. Vadinas, intensyvumo maksimumo ir minimumo sąlygos yra atitinkamai

$$\Delta = l_2 - l_1 = k\lambda \quad (\text{svyrapimų fazės vienodos}) \quad (4)$$

$$\text{ir} \quad \Delta = (2k+1) \quad (\text{fazės priešingos}), \quad (5)$$

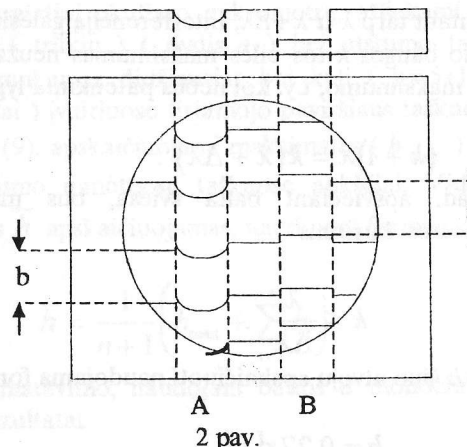
kur  $k$  - interferencijos eilės skaičius;  $k=1,2,3,\dots$

Koherentinių bangų sistema interferencijai gauti paprastai sudaroma iš vieno šviesos šaltinio sklindantį spinduliu pluošteli dalinant į du spindulius. Liniko mikrointerferometre tai atliekama, naudojant arba stiklinį kubą (K, 1 pav.), kuris turi pusskaidrią diagonalinę plokštumą, arba pasvirą lygiagrečių paviršių plokšteli, padengtą pusiau skaidria šviesą skaidančia danga. Šaltinio L spinduliuojama šviesa krinta į tokį daliklį K. Per jį perėję spinduliai sklinda



1 pav.

iki veidrodžio V, nuo kurio atispindėjė grįžta atgal į K ir dar kartą atispindėjė nuo pastarojo, patenka į lešį O. Antroji šaltinio L skleidžiamų spinduliu dalis, atispindėjusi nuo K, apšviečia tiriamąjį paviršių P, nuo jo atispindi ir, perėjusi per K, taip pat patenka į O. Šios koherentinės spinduliu dalys, susitikę daliklyje K ir kartu sklidamas link O, interferuoja.



2 pav.

Objektyvas  $O_1$  ir okuliaras  $O$  sudaro mikroskopą, per kurį stebimas tiriamasis paviršius P. Okuliaro regimajame lauke taip pat matomas ir interferencinės juostos, kurių forma atspindi paviršiaus profilį. Jei tiriamasis paviršius lygus, matoma lygiagrečių juostų sistema. Nelygus paviršiaus atveju skirtumas  $\Delta$ , atispindint šviesai nuo įvairių nelygumų (nors ir esant tam pačiam  $k$ ), yra nevienodas (ž. (4)). Todėl interferencinės juostos atitinkamai iškreiptos, o, kai yra staigūs reljefo (tiriamojo sluoksnio storio) pokyčiai, jos dar ir trūkusios.

Juostų išlinkimo arba poslinkio dydis  $a$  proporcingas  $\Delta$  pokyčiui, kuris lygus dvigubam nelygumo aukščiui  $h$ . Kadangi juosta pasislenka per visą savo plotį, pakitus skirtumui  $\Delta$  dydžiu  $\lambda$  (4), tai ieškomasis nelygumo aukštis

$$h = x \frac{\lambda}{2}, \quad \left( x = \frac{a}{b} \right). \quad (6)$$

Liniko mikrointerferometre tiriamasis paviršius gali būti apšviečiamas ne tik monochromatine, bet ir balta šviesa. Pastaruoju atveju susidarys tik kelios interferencinės juostos, kurios, išskyrus centrinę ( $k=0$ ), turės visas spektro spalvas. Tai atsitinka todėl, kad skirtingo bangos ilgio šviesai maksimumo sąlyga (4), esant tam pačiam  $k \neq 0$ , patenkinama skirtinguose erdvės taškuose.

Bangų ilgiams kintant tarp  $\lambda$  ir  $\lambda + \Delta\lambda$ , interferenciją galėsime stebeti tik iki tol, kol  $\lambda + \Delta\lambda$  ilgio bangos  $k$ -tos eilės maksimumas neužsiklos ant  $\lambda$  ilgio bangos  $k+1$  eilės maksimumo, t.y. kol nebus patenkinta lygybė

$$(k+1)\lambda = k(\lambda + \Delta\lambda). \quad (7)$$

Iš čia seka, kad, apšviečiant balta šviesa, bus matomos tik tos interferencinės juostos, kurioms

$$k \leq \frac{\lambda}{\Delta\lambda}. \quad (8)$$

Ieškomajam  $h$  šiuo atveju apskaičiuoti naudojama formulė

$$h = 0.27x[\mu]. \quad (9)$$

Kai matuojamas  $h > \lambda/2$ , tai, apšviečiant monochromatinę šviesa, patogu turėti A (2 pav.) išvaizdos interferencinės juostas; tada nesunku nustatyti ir  $x > 1$ . Apšviečiant balta šviesa, centrinės ir kraštinių interferencijos juostų intensyvumai žymiai skiriasi, todėl didesnį už vienetą jų poslinkį  $x$  nesunku nustatyti tiek turint A, tiek ir B pavidalo interferencinį vaizdą.

#### BANDYMO EIGA

1. Įjungiamas mikrointerferometro šviesos šaltinis ir ant matavimo stalelio prieš objektyvą padedama tiriamoji plokštėlė. Iš prietaiso aprašymo, esančio darbo vietoje, susipažiusta su interferometro reguliavimu.
2. Rodykle pažymėta rankenėle išjungiamas dešinysis interferencinių kanalas (rodyklė vertikali; uždengiamas veidrodis V) ir, reguliuojant mikrometriniu sraigtu, okuliaro regimajame lauke gaunamas ryškus tiriamojo paviršiaus vaizdas. Vėl įjungiamas minėtas interferencinių kanalas; okuliaro regimajame lauke turi atsirasti interferencinės juostos. Sukant lėšio O<sub>2</sub> reguliavimo rankenėlę apie jos pačios ir aplė interferencinės galvutės ašį, nustatomas optimalius atstumas tarp interferencinių juostų ir šios juostos orientuojamos statmenai tiriamajam režiui. Keičiant šviesos filtru rėmelio padėti, nustatoma darbui tinkama arba baltos, arba monochromatinės šviesos interferencija.

3. Naudojant sraigtinį okuliaro mikrometru, atliekami interferencinių juostų išlinkimo (trūkių) (dydis  $a$ ) bei atstumo tarp juostų ( $b$ ) matavimai. Pasirenkamas didžiausias bei keli ( $n=5\div10$ ) kiti juostos išlinkimai (trūkiai) įvairiuose tiriamojo paviršiaus taškuose ir, naudojant formules (6) bei (9), apskaičiuojami maksimalus ( $h_{\max}$ ) ir visi kiti ( $h_i$ ) paviršiaus nelygumo minėtuose taškuose aukščiai. Vidutinis paviršiaus nelygumo aukštis  $\bar{h}$  apskaičiuojamas, naudojant formulę

$$\bar{h} = \frac{1}{n+1} \left( h_{\max} + \sum_{i=1}^n h_i \right). \quad (10)$$

4. Palyginami matavimo, naudojant baltos ir monochromatinės šviesos interferenciją, rezultatai.

#### KONTROLINIAI KLAUSIMAI

1. Šviesos interferencijos reiškinys. Kuo skiriasi baltos ir monochromatinės šviesos interferencija?
2. Šviesos koherentiškumas. Kaip jis gauti?
3. Mikrointerferometro optinė schema.

#### LITERATŪRA

[1], p.142-152.

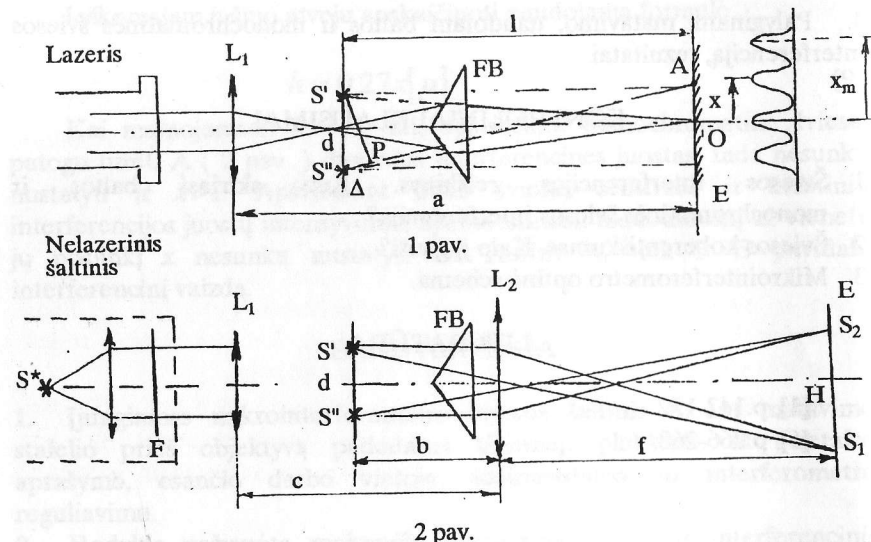
[5], p.266-268.

## LABORATORINIS DARBAS Nr. 12

### ŠVIESOS BANGOS ILGIO MATAVIMAS INTERFERENCINIU METODU

TIKSLAS: išmatuoti ilgi  $\lambda$  bangų, kurias spinduliuoja šviesos šaltinis (lazeris), tiriant Frenelio biprizme sudarytą interferencinių vaizdą.

PRIEMONĖS: šviesos šaltinis (lazeris), lėšiai L, L<sub>1</sub>, L<sub>2</sub>, Frenelio biprizmė FB, mikrometrinės matuoklis, liniuotė, ekranas E, šviesos filtras F (1 ar 2 pav.). Paprastai bandymai atliekami su lazeriniu šviesos šaltiniu, nes jo



spinduliuojamos bangos yra labai koherentiškos ir monochromatiškos. Taškinio (mažų matmenų) šaltinio šviesa, praėjusi per selektivų filtrą F ir Frenelio biprizmę, irgi gali sudaryti mažiau kontrastingą interferencinių vaizdą ekrane E. Šiuo atveju 1 pav. pavaizduoto įrenginio dalį, "lazeris" pakeičiame 2 pav. pavaizduoto šaltinio S, lėšio L ir filtro F rinkiniu, kuriais

gaunamas pakankamai monochromatiškas lygiagrečių spindulių pluošteliis, tačiau menami šaltiniai yra žymiai mažiau koherentiški.

### DARBO METODIKA IR PAGRINDINĖS FORMULĖS

Lazerio ("taškinio" šviesos šaltinio) lygiagrečių spindulių pluošteliis objektyvo lėšių L<sub>1</sub> fokusuojamas į tašką S (gali būti diafragmos plyšelis). Iš šio taško sklindanti spindulių banginė paviršių Frenelio biprizme padalijus į dvi atskiras sritis ekrane E užsikloja du koherentiniai spinduliai. Kadangi visi bangos paviršiaus taškai turi vieną ir tą pačią svyraiimo fazę, šių bangų fazinių skirtumos bet kuriame erdvės taške nesikeičia ir vyksta interferencija. Biprizmėje lūž spinduliai sklinda taip lgy išeitų iš dviejų visai tapattingų menamų šviesos šaltinių S<sup>1</sup> ir S<sup>2</sup> (1 pav.), nutolusių vienas nuo kito per d. Šių menamųjų šviesos šaltinių spinduliai, pasiekę įvairias ekrano vietas, nueina nevienodo ilgio kelius, todėl įvairiose ekrano vietose tenkinamas interferencijos maksimumo ar minimumo sąlygos - stebime tamsias ir šviesias juostas. Ekrano centre (sistemos pagrindinėje optinėje ašyje) interferuoja bangos, kurių nueiti keliai vienodi, t.y. spindulių eigų skirtumas  $\Delta=0$ . Taške A, kur stebima pirmoji ( $m=1$ ) interferencinė juosta, interferuoja spinduliai, kurių eigos skirtumas  $\Delta=\lambda$ . Ši interferencinė juosta ekrane nutolusi nuo centrinio maksimumo atstumu x. Iš trikampių SAO ir S<sup>1</sup>S<sup>2</sup>P panašumo plaukia, kad

$$\frac{\lambda}{d} = \frac{x}{l}. \quad (1)$$

Analogiškas sąlygas galima parašyti ir kitiems interferencinams maksimumams, gaunamiems užsiklojant spinduliams, kurių eigų skirtumai

$$\Delta_m = 2\lambda, 3\lambda, \dots, m\lambda, \frac{m\lambda}{d} = \frac{x_m}{l} \quad (x_m - \text{nuotolis nuo centro O iki maksimumo})$$

Atstumai x tarp interferencinių maksimumų yra vienodi,

$$x_1 + \frac{x_2}{2} + \dots + \frac{x_m}{m} \quad \text{pagal (1) galime apskaičiuoti bangos ilgi } \lambda :$$

$$\lambda = \frac{x_{vid} \cdot d}{l}. \quad (2)$$

## BANDYMO EIGA

Matuodami bangos ilgi  $\lambda$  turime atlikti tiesioginius atstumų tarp interferencinių juostų  $x$ , atstumų tarp menamų šaltinių  $d$  ir atstumo tarp menamų šaltinių plokštumos ir interferencinio vaizdo  $I$  matavimus. Bandymus atliekame tokia tvarka:

1. Ant optinio suolo surenkama 1 pav. ar 2 pav. parodyta schema. Kartu su laborantu ar dėstytoju įjungiamas lazeris.
2. Biprizmę FB slankiodami ant optinio suolo ekrane gauname ryškias interferencines juostas ( kartais tenka pareguliuoti ir objektyvo  $L_1$  padėtį ).
3. Nuotolių  $x$  tarp gretimų interferencinių juostų išmatuojame pritvirtintu prie ekrano mikrometru ( 3-5 kartus ) ir surašius į lentelę  $x_0=0, x_1, x_2, \dots, x_m$  maksimumų padėtis ( 1 pav. ) apskaičiuojame vidutinį atstumą  $x_{\text{vid}}$  tarp gretimų interferencinių juostų.
4. Išmatuojame atstumą  $a$  ( 1 pav. ) nuo ekrano  $E$  iki lešio  $L_1$ . Jis reikalingas įvertinant nuotolių  $l$  nuo menamų šaltinių  $S^l$  ir  $S^{\parallel l}$  iki ekrano  $E$ .
5. Nuotolių  $d$  tarp  $S^l$  ir  $S^{\parallel l}$  ir atstumą  $l$  paprastai išmatuojame netiesiogiai, atlikę dar vieną bandymą.
6. Tarp biprizmės ir ekrano pastatome dar vieną glaudžiamąjį lešį  $L_2$  ( 2 pav. ) ir keisdami tik ekrano vietą, gauname tikruosius šaltinių  $S^l$  ir  $S^{\parallel l}$ , esančių atstumu b nuo  $L_2$  vaizdus  $S_1$  ir  $S_2$  ekrane. Jei ekrano nuotolis nuo lešio yra  $f$ , tai iš plono lešio formulės ( $F$  - žinomas lešio židinio nuotolis) plaukia, kad menami šaltiniai  $S^l$  ir  $S^{\parallel l}$  yra nutolę nuo  $L_2$  atstumu

$$b = \frac{fF}{f - F}. \quad (3)$$

Išmatave  $f$ , pagal (4) apskaičiuojame  $b$ .

6. Iš 1 pav. ir 2 pav. matome, kad menami šaltiniai  $S^l$  ir  $S^{\parallel l}$  yra c-b nuotolyje nuo objektyvo  $L_1$ , o

$$I = a - (c - b) = a + b - c. \quad (4)$$

Išmatuojame atstumą c tarp lešių  $L_2$  ir  $L_1$  ir į (4) įrašę anksčiau išmatuotus a ir b dydžius apskaičiuojame nuotolių  $l$  nuo menamų šaltinių  $S^l$  ir  $S^{\parallel l}$  iki interferencinio vaizdo.

7. Išmatuojame atstumą  $H$  tarp menamų šaltinių vaizdų  $S_1$  ir  $S_2$  ekrane. Iš lešio didinimo formulės plaukia, kad atstumas d tarp menamų šaltinių  $S^l$  ir  $S^{\parallel l}$  yra

$$d = \frac{b}{f} H. \quad (5)$$

8. I (5) įrašę išmatuotas  $f$  ir  $H$  vertes, bei pagal (3) apskaičiuotą  $b$  vertę, apskaičiuojame atstumą d tarp  $S^l$  ir  $S^{\parallel l}$ .
9. Pagal (2) apskaičiuojame šaltinio spinduliuojamą bangą ilgi  $\lambda$ .
10. Įvertiname matavimų paklaidą.

## KONTROLINIAI KLAUSIMAI

1. Ką vadina interferencija ? Kokios yra interferencijos maksimumų ir minimumų sąlygos ?
2. Kas yra šviesos bangų koherentišumas ? Kaip sudaromi koherentiški šaltiniai ?
3. Kaip interferuoja bangos, atispindėjė nuo plonos plėvelės ?
4. Ką reiškia optikos praskaidrinimas ?
5. Ką žinote apie lazerinį šviesos spinduliuavimo būdą ? Kokie lazerinio spinduliuavimo privalumai palyginus su kitų šviesos šaltinių spinduliuavimu ?

## LITERATŪRA

[1], p. 145-162.

[4], p. 101-142.

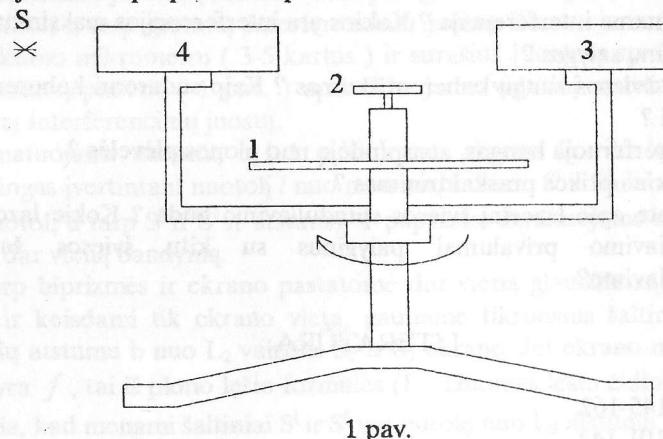
[8], p. 17-54.

## LABORATORINIS DARBAS Nr. 13

### DIFRAKCIJOS GARDELĖS KONSTANTOS NUSTATYMAS

TIKSLAS: nustatyti difrakcinės gardelės konstantą ir nežinomą šviesos bangos ilgi.

PRIEMONĖS: difrakcinė gardelė, goniometras, šviesos šaltinis. Goniometras - tai prietaisas prizmų bei kristalų kampams matuoti. Goniometras, turintis dispersinę prizmę arba difrakcinę gardelę, naudojamas kaip spektroskopas.



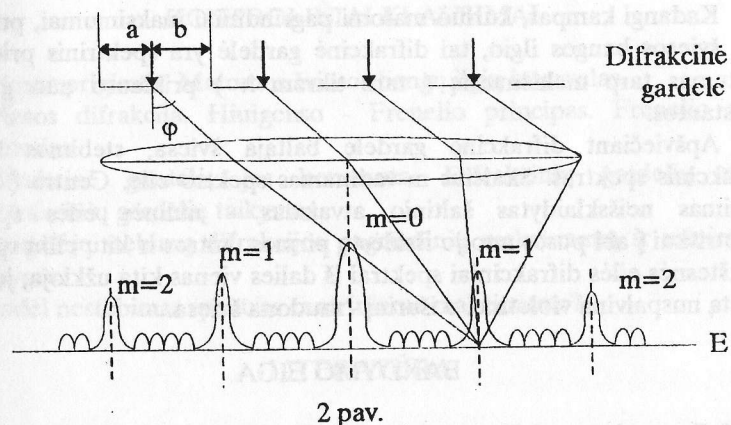
1 pav.

Goniometras sudarytas iš štatyvo, kuriame įtvirtintas horizontalus žiedas 1, sužymėtas laipsniais. Stalelis 2 gali suktis apie vertikalią ašį. Ant jo statomas spektrinis prietaisas (prizmė, gardelė) arba tiriama klas. Virš stalelio 2 apie jo vertikalią ašį sukasi horizontalus žiūronas 3. Jo pasukimo kampus matuojamas žiedo 1 skalėje (žiūronas ir stalelis sukasi nepriklausomai vienas nuo kito). Viename lygyje su žiūronu yra kolimatorius 4. Kolimatoriuje yra glaudžiamasis lėšis, kurio židinio plokštumoje yra siauras plysys. Apšviestas plysys atlieka linijinio šviesos šaltinio vaidmenį. Iš kolatoriaus išeinantis lygiagrečių spinduliu pluoštas krinta į difrakcinę gardelę. Difragavę spinduliai žiūrono objektyvo židinio plokštumoje sudaro difrakcinį spektrą. Jį stebime okuliaru, atliekančiu lupos vaidmenį. Okuliare yra siūlelis, kuris sutapatinamas su tiriama spektrine linija.

### DARBO METODIKA IR PAGRINDINĖS FORMULĖS

Paprasčiausia skaidrioji vienmatė difrakcinė gardelė yra stiklo ar kvarco plokštėlė su daugybe vienodos formos lygiagrečių rėžių, atskirtų neskaidriais tarpais. Viename milimetre būna 300, 600, 1800 ir net iki 2400 rėžių, kai gardelės plotis keli centimetrai. Vadinas, bendras gardelės rėžių skaičius  $N$  yra labai didelis. Pažymėkime gardelės rėžio plotį  $b$ , o neskaidraus tarpo plotį  $a$ . Dydis  $d=a+b$  yra vadinamas difrakcinės gardelės konstanta.

Padékime lygiagrečiai difrakcinei gardelei surenkamajį lešį, o pstarojo židinio plokštumoje pastatykime ekraną. Paprastumo dėlei tarkime, kad statmenai į difrakcinę gardelę krinta plokščia monochromatinė bangą. Tuomet kiekvienas apšviestas gardelės rėžis tampa atskiru koherentinių bangų šaltiniu, spinduliuojančiu šviesą visomis galimomis kryptimis. Šviesa, atsklidusi iš atskirų rėžių, interferuoja, ir ekrane matome difrakcinį vaizdą - ryškias siauras juosteles, atskirtas palyginti plačiais tamsiais tarpais. (2 pav. parodytas šviesos intensyvumo pasiskirstymas difrakciname vaizde). Centre matomas maksimumas, kurį sukuria spinduliai,



krintantys statmenai į ekraną ( $\phi=0$ ).

Iš atskirų rėžių atitinkami spinduliai, krintantys kryptimis, kurios tenkina sąlygą

$$d \sin \phi_{\max} = \pm m \lambda \quad (m=0,1,2,3\dots), \quad (1)$$

interferuodami stiprina vienas kitą. Virpesių amplitudė atitinkamame ekrano taške yra N kartų didesnė, negu amplitudė virpesių, kuriuos sukelia spinduliai iš vieno plyšio, krintantys kampu  $\phi$ :

$$A_{\max} = NA_{\phi}, \quad (2)$$

o šviesos intensyvumas  $I_{\max}$  yra  $N^2$  kartų didesnis, negu intensyvumas šviesos, atėjusios iš vieno plyšio  $I_{\phi}$ :

$$I_{\max} = N^2 I_{\phi}. \quad (3)$$

Tokiu būdu, (1) lygtis nurodo pagrindinių intensyvumo maksimumų padėtis, o  $m=0,1,2,3\dots$  yra vadinamas pagrindinių maksimumų eile.

Pirminiai (pagrindiniai) minimumai susidaro kryptimis  $\phi$ , kuriomis iš įvairių to paties režio taškų sklindantys spinduliai interferuodami vienitus panaikina. Šių minimumų sąlyga tokia:

$$b \sin \phi = \pm 2m \frac{\lambda}{2} = \pm m\lambda; m = 1,2,3,\dots \quad (4)$$

Kadangi kampus, kuriuo matomi pagrindiniai maksimumai, priklauso nuo šviesos bangos ilgio, tai difrakcinė gardelė yra spektrinis prietaisas. Atstumas tarp maksimumų (tam tikram  $\lambda$ ) priklauso nuo gardelės konstantos.

Apšviečiant difrakcinę gardelę baltaja šviesa, stebimas šaltinio difrakcinis spektras. Skaičius m vadinas spektro eile. Centre ( $m=0$ ) stebimas neišskaidytas šaltinio atvaizdas - nulinės eilės spektras; simetriškai į abi puses nuo jo išsidėstę pirmos, antros ir kitų eilių spektrai. Aukštesnės eilės difrakciniai spektrai iš dalies vienas kitą užkloja; jų vidinį kraštą nuspalvina violetine, o išorinį - raudona šviesa.

### BANDYMO EIGA

1. Kolimatoriaus plyši pasukame į žinomo spektro šviesos šaltinį. Statmenai išėjusiems iš kolimatoriaus spinduliams pastatome difrakcinę gardelę. Sukdami žiūrono okuliarą sufokusuojam spektrines linijas.
2. Sukdami žiūronėlį sutapatiname jo siūlą su nulinio spektro viduriu. Žiedo A skalėje nuskaitome kampą  $\phi_0$ . Tai atliekame tris kartus ir nustatome vidutinį  $\langle \phi_0 \rangle$  didumą.

3. Sukdami žiūronėlį toliau, jo siūlą sutapatiname su kuria nors pirmos eilės spektro linija ( ją nurodo dėstytojas ). Pasižymime kampą  $\phi_1$ .

4. Sukdami žiūronėlį į kitą pusę nuo nulinės eilės spektro, nustatome tą pačią liniją atitinkantį  $\phi_1$ . Matavimus atliekame tris kartus ir apskaičiuojame išmatuotų kampų vidurkius. Nustatome spinduliu

$$\text{difrakcijos kampas: } \phi_1 = \frac{(\langle \phi_1 \rangle - \langle \phi_0 \rangle) + (\langle \phi'_1 \rangle - \langle \phi'_0 \rangle)}{2}$$

5. Spektro atlase randame linijos bangos ilgi ir iš (1) formulės apskaičiuojame difrakcinės gardelės konstantą.

6. Apskaičiuojame dviejų nustatytių difrakcinės gardelės konstantų dydžių vidurkį  $\langle d \rangle$ .

7. Dėstytojas nurodo nežinomo bangos ilgio liniją. Nustatome šio bangos ilgio šviesos difragavimo kampą pirmos ir antros eilės spektruse (pagal 3 ir 4 punktus ).

8. Pasinaudodami išmatuotu difrakcinės gardelės konstantos dydžiu, iš (1) formulės apskaičiuojame nežinomą bangos ilgį  $\lambda$ .

9. Suformuluojame išvadas.

### KONTROLINIAI KLAUSIMAI

1. Šviesos prigimtis. Matomas šviesos bangų ilgių intervalas.
2. Šviesos difrakcija. Huiogenso - Frenelio principas. Frenelio zonų metoda.
3. Difrakcinė gardelė, jos konstanta. Difrakcinių gardelių rūšys. Difrakcinių gardelių taikymas.
4. Gardelėje stebimų difrakcijos pagrindinių maksimumų ir minimumų sąlygos.
5. Kodėl nestebimas spektras centriniai maksimumai?

### LITERATŪRA

[1], p. 152-164.

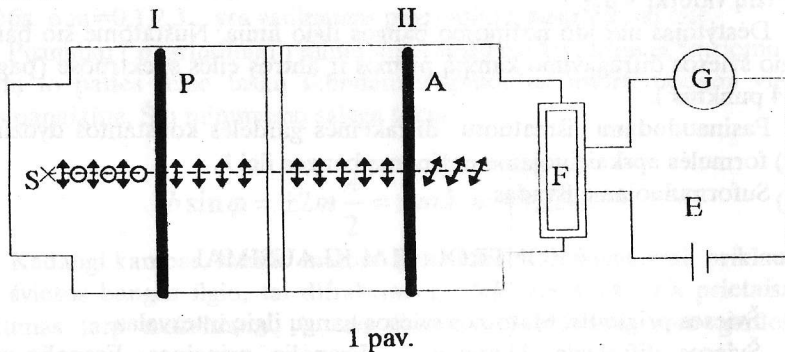
[8], p. 42-48.

## LABORATORINIS DARBAS Nr. 14

### MALIAUS DĒSNIO PATIKRINIMAS

TIKSLAS: ištirti šviesos poliarizacijos reiškinį, nustatyti praėjusios šviesos pro poliarizatorių poliarizacijos laipsnį, patikrinti Maliaus dēsnį.

PRIEMONĖS: įrenginys Maliaus dēsniui patikrinti (1 pav.). Jį sudaro du cilindrai. Pirmame cilindrė yra natūralios šviesos šaltinis S ir poliaroidas P - poliarizatorius. Antrame cilindre įdėtas kitas poliaroidas A - analizatorius ir fotovarža F. Ji nuosekliai sujungta su galvanometru G ir maitinimo šaltiniu E.



### DARBO METODIKA IR PAGRINDINĖS FORMULĖS

Šviesos poliarizacijos reiškinys aiškinamas šviesos bangine prigimtimi. Šviesa - tai skersinė elektromagnetinė banga, kurioje elektrinio  $\vec{E}$  ir magnetinio  $\vec{H}$  laukų stiprumo vektoriai yra statmeni tarp savęs ir statmeni bangos sklidimo kryptciai  $\vec{v}$ . Šaltinio skleidžiamą šviesą - tai daugybės atomų išspindulių elementarių bangų visuma. Šių bangų  $\vec{E}$  ir  $\vec{H}$  kryptys įvairiai orientuotos sklidimo krypties atžvilgiu. Jei visos vektoriaus  $\vec{E}$  (tuo pačiu ir  $\vec{H}$ ) kryptys yra lygiavertės, tokia šviesa vadina natūraliaja arba nepolarizuotaja šviesa. Jei šviesos pluoštelyje vyrauja kokios nors krypties virpesiai, turime dalinai polarizuotą švesą. Ją apibūdina poliarizacijos laipsnis  $P_s$ :

$$P_s = \frac{I_{\max} - I_{\min}}{I_{\max} + I_{\min}} \quad (1)$$

čia  $I_{\max}$  ir  $I_{\min}$  - didžiausias ir mažiausias šviesos intensyvumas, atitinkantis dvi viena kitai statmenas vektoriaus  $\vec{E}$  kryptis.

Tiesiai polarizuota šviesa yra tokia, kurioje elektrinio vektoriaus  $\vec{E}$  virpėjimai vyksta visą laiką viena kryptimi. Plokštuma, nubrėžta per šviesos bangos sklidimo kryptį ir vektorių  $\vec{E}$ , vadinama poliarizacijos plokštuma.

Optinė sistema, skirta šviesai tiesiai polarizuoti, vadinama poliarizatoriumi. Tai gali būti iš turmalino kristalo išpjauta plokšteli. Ji praleidžia tik vienos elektrinio vektoriaus  $\vec{E}$  virpesių krypties bangas. Poliarizatoriai skirti polarizuotai šviesai tirti vadinti analizatoriais. Sukant analizatorių, pro jį praėjusios šviesos intensyvumas kinta. Šviesa pro jį visai nepraeina, kai poliarizatoriaus P ir analizatoriaus A praleidžiamą šviesos bangą  $\vec{E}$  vektoriai yra statmeni. Maliaus dēsnis nusako pro analizatorių praėjusios šviesos intensyvumo I priklausomybę nuo kampo tarp poliarizatoriaus ir analizatoriaus poliarizacijos plokštumų φ:

$$I = I_0 \cos^2 \phi \quad (2)$$

čia  $I_0$  į analizatorių kritusios šviesos intensyvumas.

Natūrali šviesa iš šaltinio S (1 pav.) patenka į poliarizatorių P. Jame šviesos spindulys dvejopai lūžta, t.y. išsiskaido į du spindulius, polarizuotus tarpusavyje statmenose plokštumose, sklindančius skirtiniais greičiais ir skirtinomis kryptimis. Vienas iš šių spindulų stipriai sugeriamas. Pro poliarizatorių praėjusi šviesa yra tiesiai polarizuota. Toliau šviesa praeina pro analizatorių A, apšviečia fotovaržą F ir joje sukelia vidinį fotoefektą. Dėl to grandinėje atsiranda fotosrovė, kuri registruojama galvanometru G.

Analizatorius A yra sujungtas su antruoju cilindru, kuris gali suktis apie optinę ašį, sutampačią su cilindro simetrijos ašimi. Cilindro paviršiuje yra skalė sugraduota laipsniais. Joje atskaitomas analizatoriaus posūkio kampus.

Praėjusios analizatorių šviesos stiprumas didžiausias, kai kampus tarp poliarizatoriaus ir analizatoriaus pagrindinių plokštumų  $\phi=0^\circ$ . Kai kampus  $\phi=90^\circ$ , analizatorius polarizuotas šviesos nepraleidžia ir praėjusios analizatorių šviesos intensyvumas yra mažiausias.

Elektros srovė i fotovaržos grandinėje proporcinga pro analizatorių praėjusios šviesos intensyvumui I:

$$i = k_1 I \quad (3)$$

Panaudojus Maliaus dėsnį (2) gaunama:

$$i = k_1 I_0 \cos^2 \varphi$$

Iš polarizatoriaus išėjusios šviesos intensyvumas nekinta, tai ir sandauga  $k_1 I_0$  pastovi, t.y.  $k_1 I_0 = k$  ir

$$i = k \cos^2 \varphi \quad (4)$$

Taigi, jei iš matavimo duomenų gaunama, kad elektros srovė fotovaržos grandinėje tiesiog proporcinga kampo tarp poliaroidų pagrindinių plokštumų kosinuso kvadratui, tai reiškia, kad Maliaus dėsnis yra teisingas. Šiuo atveju grafinę priklausomybę  $i=f(\cos^2 \varphi)$  vaizduoja ticsē.

### BANDYMO EIGA

- Sujungiamą įrenginio Maliaus dėsniniui tikrinti schema ( 1 pav. ).
- Sukant antrajį cilindrą ( analizorių ) surandama padėtis, atitinkanti didžiausią fotosrovės reikšmę  $i_{\max}$ . Šiuo atveju kampus tarp poliarizatoriaus ir analizoriaus pagrindinių plokštumų lygus nuliui ( $\varphi=0^\circ$ ). Atskaitomas cilindro skalėje šią padėtį atitinkantis kampus  $\alpha_0$ . Galvanometru išmatuojama srovės reikšmė  $i_{\max}$ .
- Pasukant analizorių kas  $\Delta\alpha=10^\circ$ , užrašomas kampus tarp poliarizatoriaus ir analizoriaus pagrindinių plokštumų

$$\varphi_j = \alpha_j - \alpha_0 = j\Delta\alpha$$

ir atitinkamas fotosrovės stiprumas  $i_j$  (  $j=0,1,2,3,\dots,9$  ). Taigi kampus  $\varphi$  keičiamas nuo  $0^\circ$  iki  $90^\circ$ .

- Kai  $\varphi=90^\circ$ , fotosrovė grandinėje minimali  $i_{\min}$ , nes fotovarža mažai apšiesta, kadangi praeina analizorių tik kritusi į jį nepolarizuotos šviesos dalis. Dėl kampo  $\alpha$  paklaidų ši padėtis nevisada sutampa su skalės parodymu  $\alpha=\alpha_0+90^\circ$ . Taigi šiek tiek pasukinėjant analizorių, surandamas kampus  $\alpha'$  atitinkantis  $i_{\min}$  (  $\varphi=90^\circ$  ). Dabar atvirkščia eiga mažinant kampą  $\varphi$  iki  $0^\circ$  kas  $10^\circ$  užrašomos fotosrovės reikšmės  $i_j$ .
- Vienodoms kampo  $\varphi_j$  reikšmėms apskaičiuojamos srovės vidutinės reikšmės  $\langle i_j \rangle$ .

- Panaudojus iš (3) sąryšio išreikštus šviesos intensyvumus  $I_{\max} = \frac{i_{\max}}{k_1}$  ir

$I_{\min} = \frac{i_{\min}}{k_1}$  bei (1) formulę, apskaičiuojamas šviesos poliarizacijos laipsnis:

$$P_s = \frac{i_{\max} - i_{\min}}{i_{\max} + i_{\min}}$$

- Jei  $P_s < 1$ , šviesa dalinai polarizuota. Tuomet apskaičiuojamos fotosrovės, atsiradusios tik dėl polarizuotos šviesos poveikio, reikšmės  $i_{pj}$ :

$$i_{pj} = \langle i_j \rangle - \langle i_{\min} \rangle, (j = 0, 1, 2, 3, \dots, 9)$$

- Apskaičiuojamos  $\cos^2 \varphi_j$  reikšmės.

- Matavimų ir skaičiavimų rezultatai surašomi į lentelę:

j	$\varphi_j$	$i_j$	$i_j'$	$\langle i_j \rangle$	$i_{pj}$	$\cos^2 \varphi_j$
0	$0^\circ$	$i_{\max}$	$i_{\max}$	$\langle i_{\max} \rangle$		1
1	$10^\circ$					
2	$20^\circ$					
...						
9	$90^\circ$	$i_{\min}$	$i_{\min}$	$\langle i_{\min} \rangle$	0	0

- Bandymo rezultatai pavaizduojami grafiškai  $i_p=f(\cos^2 \varphi)$ .

- Pagal gautą grafiką suformuluojama išvada apie Maliaus dėsnio galiojimą.

### KONTROLINIAI KLAUSIMAI

- Apibūdinkite natūraliąją ir polarizuotą šviesą.
- Šviesos poliarizacijos būdai.
- Poliaroido veikimo principas.
- Suformuluoti Maliaus dėsnį.
- Kaip eksperimentiškai įsitikinama Maliaus dėsnio teisingumu?

### LITERATŪRA

[1], p. 178-186.

[8], p. 62-73.

## LABORATORINIS DARBAS Nr. 15

### CUKRAUS KONCENTRACIJOS NUSTATYMAS POLIARIMETRU

TIKSLAS: susipažinti su poliarometro veikimu, nustatyti cukraus tirpalo savitąjų sukimo gebą ir nežinomą cukraus koncentraciją tirpale.

PRIEMONĖS: poliarimetras, žinomas ir nežinomas koncentracijos tirpalai, liniuotė arba slankmatis.

#### DARBO METODIKA IR PAGRINDINĖS FORMULĖS

Šviesa yra skersinė elektromagnetinė banga. Joje elektrinio lauko stiprumo vektorius  $\vec{E}$  ir magnetinio lauko stiprumo vektorius  $\vec{H}$  virpesiai vyksta plokštumoje statmenoje bangos sklidimo krypciai. Šie vektoriai visada tarp savęs statmeni, todėl pakanka nagrinėti virpesius tik vieno iš jų. Dažniausiai pasirenkamas  $\vec{E}$  vektorius, nes sąveikaujant šviesai su medžiaga, didesnį poveikį jai sukelia elektrinio lauko virpesiai.

Šviesa, kurios elektrinio lauko stiprumo vektorius  $\vec{E}$  virpesiai vyksta vienoje plokštumoje, vadina tiesiai poliarizuota. Ši plokštuma vadina poliarizacijos plokštuma (senesniuose vadoveliuose poliarizacijos plokštuma buvo vadina  $\vec{H}$  virpesių plokštuma). Sklindant šviesai optiškai aktyviomis medžiagomis šviesos bangos elektrinio vektorius  $\vec{E}$  (tuo pačiu ir  $\vec{H}$  vektorius) virpesių plokštuma pasukama. Šis reiškinys vadinas poliarizacijos plokštumos sukumu. Optiniu aktyvumu pasižymė kvarcas, grynieji skysčiai - terpentinė, nikotinas, cukraus ir glukozės vandeniniai tirpalai ir kt.

Šviesos poliarizacijos plokštumos posūkio kampus  $\phi$  yra proporcingas šviesos spindulio kelio ilgiui 1 toje medžiagoje:

$$\phi = \alpha l, \quad (1)$$

čia  $\alpha$  yra sukamoji geba, priklausanti nuo medžiagos prigimties, šviesos bangos ilgio ir temperatūros. Sukamoji geba  $\alpha$  skaitine vertė lygi kampui, kuriuo pasuka poliarizacijos plokštumą optiškai aktyvi medžiaga, nusklidus šviesai joje 1 m ilgio kelią.

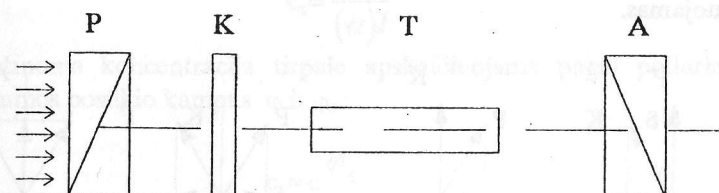
Sklindant šviesai optiškai aktyviais tirpalais, poliarizacijos plokštumos posūkio kampus  $\phi$  yra proporcingas tirpalo sluoksnio storui 1 ir tirpalo koncentracijai c:

$$\phi = (\alpha) cl, \quad (2)$$

čia  $(\alpha)$  tirpalo savitoji sukimo geba.

Savitoji sukimo geba  $(\alpha)$  skaitmeniškai lygi poliarizacijos plokštumos posūkio kampui nusklidus šviesai 1 m ilgio kelią vienetinės koncentracijos tirpale.

Šviesos poliarizacijos plokštumos posūkio kampus matuojamas pusšešeliniu poliarimetru. Supaprastinta poliarometro optinė schema pavaizduota 1 pav.



1 pav.

Lygiagrečių spindulių pluoštelis krinta į polarizatorių P. Jame šviesa tiesiai poliarizuojama. Toliau poliarizuota šviesa praeina kvarco plokšteli K, tirpalą T, analizatorių A ir apšviečia stebėjimo lauką. Kvarco plokšteli dengia tik centrinę šviesos srauto dalį. Pro ją praėjusios šviesos poliarizacijos plokštuma bus pasukta kampu  $\gamma$ . Taigi, praėjus šviesai kvarco plokšteli, šviesos srauto centrinė dalis ir kraštai bus poliarizuoti skirtingoje plokštumose. Todėl matymo laukas pasidalins į tris dalis, kurių apšvestumas priklauso nuo kampo tarp šviesos poliarizacijos plokštumos ir analizatoriaus poliarizacijos plokštumos  $\phi$ . Pagal Maliaus dėsnį praėjusios šviesos analizatorių intensyvumas:

$$I = I_0 \cos^2 \phi, \quad (3)$$

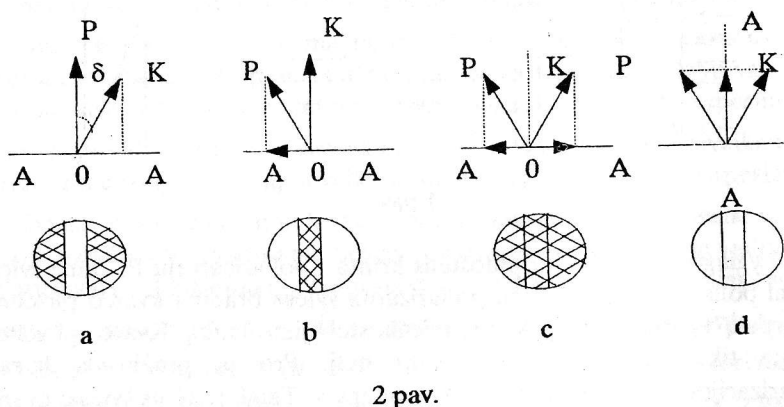
čia  $I_0$  - į analizatorių kritusios šviesos intensyvumas.

Jei sukant analizatorių, jo poliarizacijos plokštuma AA yra statmena poliarizacijos plokštumai OP ( $AA \perp OP$ , 2 pav. a atvejis), t. y. poliarizatorių ir analizatorių sukrýžuoti ( $\phi=90^\circ$ ), laukelio kraštai tamsūs. Jei  $AA \perp OK$ , tuomet laukelio vidurys neapšviestas (2 pav. b atvejis). OK nurodo pro kvarco plokšteli praėjusios šviesos poliarizacijos

plokštumą. Jei plokštuma AA statmena kampo POK pusiaukampinei ( 2 pav. c atvejis ) arba su ja sutampa ( 2 pav. d atvejis), visi laukeliai vienodai apšvieti.

Polarimetras suderintas pusšešeliui, kai analizatoriaus polarizacijos plokštuma statmena POK kampo pusiaukampinei ( 2 pav. c atvejis ). Tuomet laukeliai silpnai apšvieti ir nežymūs analizatoriaus posūkiai sukelia pastebimus laukelių apšvestumų pakitimus.

Taigi, suderinus polarimetram pusšešeliui, įdedama kiuvetė su optiškai aktyviu tirpalu. Dėl to šviesos rautų polarizacijos plokštumos pasukamos kampu  $\phi$  ir laukelių apšvestumai išsiskiria. Laukelių apšvestumai vėl susivienodina, pasukant analizatorių tuo pačiu kampu  $\phi$ , kuris ir išmatuojamas.



2 pav.

#### BANDYMO EIGA

- Išėmus iš polarimetro kiuvetę, okuliaras sufokusuojamas taip, kad būtų aiškiai matomos laukelų daliančios linijos.
- Sukant analizatorių, polarimetras suderinamas pusšešeliui, - t. y. visi laukeliai silpnai, bet vienodai apšvieti. Pagal skalės parodymus nustatomos nulinės padėties reikšmė  $\phi_0$ .
- Į polarimetram įdedama kiuvetė su žinomas koncentracijos cukraus tirpalu. Laukelių apšvestumas vėl susivienodinamas pasukant analizatorių. Iš skalės parodymų surandamas kampus  $\phi'$ . Polarizacijos plokštumos posūkio kampus  $\phi$  lygus :

$$\phi = \phi' - \phi_0.$$

- Slankmačiu ar liniuote išmatuojamas tirpalo sluoksnio storis l.
- Iš (2) formulės apskaičiuojama tirpalo savitoji sukimo geba ( $\alpha$ ):

$$(\alpha) = \frac{\phi}{lc}. \quad (4)$$

- Į polarimetram įdedama kiuvetė su nežinomas koncentracijos tirpalu  $c_x$  ir 3,4 punktuose nurodytu būdu nustatomas polarizacijos plokštumos posūkio kampus  $\phi_x$ . Iš (2) formulės apskaičiuojama tirpalo koncentracija  $c_x$ :

$$c_x = \frac{\phi_x}{(\alpha)l}. \quad (5)$$

- Nežinoma koncentracija tirpale apskaičiuojama pagal polarizacijos plokštumos posūkio kampus  $\phi$  ir  $\phi_x$ :

$$c_x = c \frac{\phi_x}{\phi}. \quad (6)$$

- Ivertinamos  $c_x$  paklaidos, palyginamos pagal (5) ir (6) formules surastos nežinomas koncentracijos reikšmės tirpale.

#### KONTROLINIAI KLAUSIMAI

- Kokia šviesa vadinama natūraliaja ir kokie tiesiai polarizuota.
- Polarizuotos šviesos gavimo būdai.
- Polarizacijos plokštumos sukimasis. Optiškai aktyvios medžiagos.
- Polarimetro veikimo principas.

#### LITERATŪRA

- [1], p. 178-186.
- [8], p. 62-73.

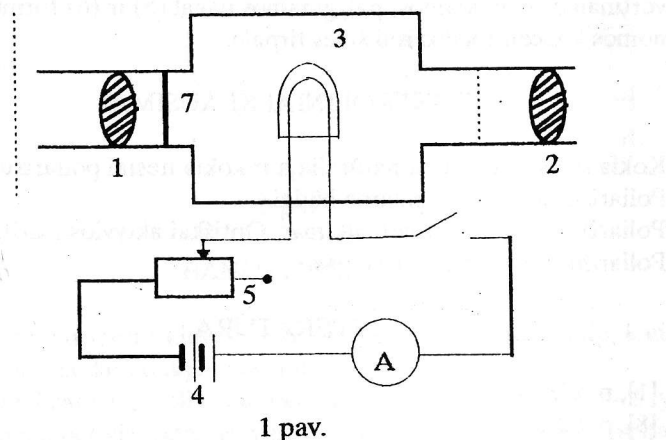
## LABORATORINIS DARBAS Nr. 16

### ŠILUMINIO SPINDULIAVIMO TYRIMAS IR TEMPERATŪROS MATAVIMAS OPTINIU PIROMETRU

DARBO TIKSLAS: optiniu pirometru išmatuoti įkaitinto kūno temperatūrą ir nustatyti Stefano-Bolcmano konstantą.

DARBO PRIEMONĖS: nykstamojo siūlo pirometras, kaitinamoji lempa, ampermetras, voltmetras, maitinimo šaltinis.

Temperatūros matavimo optiniu pirometru principas pagristas įkaitinto kūno spalvos ir švytėjimo intensyvumo palyginimu su etaloninės lemputės siūlo švytėjimu. Pirometrą (1 pav.) sudaro okularas 1 ir objektyvas 2, lemputė 3, kurios grandinėje yra srovės šaltinis 4, reostatas 5 ir ampermetras 6. ampermetras sugraduotas ne srovės, o jos įkaitinto siūlelio temperatūros vienetais. Švytėjimas sulyginamas reostatu 5, raudonojo filtro ( $\lambda=0.65\mu\text{m}$ ) šviesoje. Matuojant temperatūrą didesnę negu  $1400^{\circ}\text{C}$ , pastatomas matinis filtras 7 ir temperatūra stebima kitoje skaleje.



### DARBO METODIKA IR PAGRINDINĖS FORMULĖS

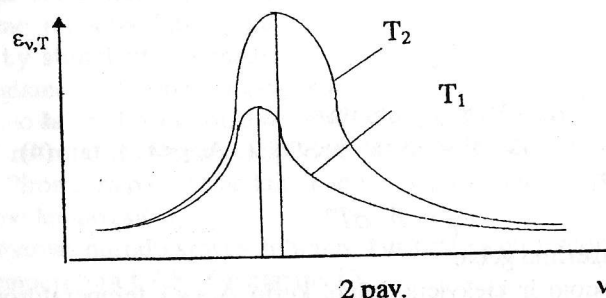
Kūnai, įkaitinti iki pakankamai aukštos temperatūros švyti, t.y. spinduliuoja elektromagnetines bangas. Toks spinduliuavimas vadinamas šiluminiu. Pagrindinė šiluminio spinduliuavimo savybė, kuri nebūdinga kitų

rūšių spinduliams, yra jo pusiausvyrisis pobūdis. Išspinduliuojamų elektromagnetinių bangų spektrinė sudėtis ir intensyvumas priklauso nuo temperatūros.

Šiluminį spinduliuavimą apibūdina spinduliuavimo srautas  $\Phi_{v,T}$ , t.y. energijos kiekis išspinduliuojamas iš ploto vieneto per laiko vienetą dažnių intervale nuo  $v$  iki  $dv$ . Pastarasis priklauso nuo spinduliuojamo kūno temperatūros ir dažnio ( arba bangos ilgio ). Energijos srautą, kurį visomis kryptimis spinduliuoja tam tikrame dažnio intervale kūnas, esantis tam tikroje temperatūroje, apibūdina spinduliuavimo geba  $\varepsilon_{v,T}$ . Spinduliuavimo geba - tai energijos srautas, kurį kūnas išspinduliuoja iš ploto vieneto visomis kryptimis vienetiniame dažnio intervale:

$$\varepsilon_{v,t} = \frac{d\Phi_{v,T}}{dv}, \quad (1)$$

Eksperimentiškai stebima spinduliuavimo gebos  $\varepsilon_{v,T}$  priklausomybė nuo dažnio esant temperatūroms  $T_1$  ir  $T_2$  pavaizduota 2 pav.



Suminis spinduliuavimo srautas visame dažnio intervale vadinamas integraline spinduliuavimo geba  $\varepsilon_T$  ir apskaičiuojamas pagal formulę:

$$\varepsilon_T = \int_0^{\infty} d\Phi_{v,T} = \int_0^{\infty} \varepsilon_{v,T} dv. \quad (2)$$

Visi kūnai daugiau ar mažiau sugeria krintančią į juos elektromagnetinių bangų energiją. Jei į kūno paviršiaus ploto vienetą per laiko vienetą krinta spinduliuavimo energijos srautas  $d\Phi_a$ , sugertos ir krintančios energijų santykis vadinamas sugėrimo geba:

$$A_{v,T} = \frac{d\Phi_a}{d\Phi} \quad (3)$$

Didžiausia sugėrimo geba gali būti lygi vienetui ( $A_{v,T}=1$ ). Tokie kūnai vadinami absoliučiai juodaisiais.

B. Stefanas ir L. Bolcmanas nustatė dėsnį, susiejantį absoliučiai juodojo kūno integralinę spinduliavimo gebą su temperatūra:

$$\varepsilon_T = \sigma T^4, \quad (4)$$

čia  $\sigma=5,67 \cdot 10^{-8} \text{ W}/(\text{m}^2 \text{K}^4)$  - Stefano-Bolcmano konstanta.

V. Vynas nustatė dėsnį, kuris teigia, kad dažnis atitinkantis absoliučiai juodojo kūno spinduliavimo gebos maksimumą, yra tiesiai proporcingas jo absoliutinei temperatūrai:

$$\nu_{\max} = bT. \quad (5)$$

Bangos ilgis, atitinkantis spinduliavimo gebos maksimumą atvirkšciai proporcingas temperatūrai:

$$\lambda_m = \frac{b}{T}, \quad (6)$$

čia  $b=2,898 \cdot 10^{-3} \text{ mK}$  - Vyno konstanta.

Jei kūnas yra ne absoliučiai juodas ( $A_{v,T}<1$ ) tai (4) formulė perrašoma taip:

$$\varepsilon_T = A \cdot \sigma T^4 \quad (7)$$

čia A - kūno sugėrimo geba.

Absoliučiai juodojo ir kiekvieno kūno, kurio  $A_{v,T}<1$  temperatūros, esant vienodam švytėjimo intensyvumui bus skirtinges. Norint rasti tikrają kūno temperatūrą reikia žinoti spinduliuojančio kūno juodumo koeficientą, nusakomą sugėrimo geba  $A_{v,T}$ . Tikroji spinduliuojančio kūno temperatūra T apskaičiuojama pagal pridėtą lentelę ( $t_r$  - išmatuota ryškuminė temperatūra).

Jeigu įkaitęs kūnas, turintis temperatūrą T yra aplinkoje, kurios temperatūra  $T_0$ , jo spinduliavimo geba

$$\varepsilon_T = A \sigma (T^4 - T_0^4) \quad (8)$$

Jei kūnų, kurio temperatūra matuojama, kaitiname elektros srove I, o ją sukelia įtampa U, tai kūno paviršiaus ploto vieneto spinduliavimo geba

$$\varepsilon_T = \frac{I \cdot U}{S} \quad (9)$$

Iš (8) ir (9) gauname Stefano-Bolcmano konstantos išraišką:

$$\sigma = \frac{IU}{AS(T^4 - T_0^4)} \quad (10)$$

Norint nustatyti Stefano-Bolcmano konstantą  $\sigma$ , reikia išmatuoti elektrinės grandinės parametrus I,U ir spinduliuojančio kūno bei aplinkos temperatūras T ir  $T_0$ .

### BANDYMO EIGA

- Paruošiame darbui optinį pirometą. Įjungiamo pirometro kaitinimo šaltinių; ampermetro rodyklė rodo "0". Sukant diską 5 pagal laikrodžio rodyklę įjungiamo pirometro varžą. Per okuliarą stebime pirometro lemputės siūlą, kuris pastebimas, kai jo temperatūra yra apie  $500^\circ \text{C}$ . Įjungiamo raudoną filtrą (matinis filtras išjungtas). Keičiant okuliaro padetį, t.y. stumbdant jo vamzdelį, gauname ryškų lemputės siūlo vaizdą.
- Įjungiamo kaitinimo lempos, kurios siūlelio temperatūrą matuosime, maitinimo šaltinių ir sudarome nedidelę įtampą, kad lemputė silpnai šviesštų.
- Pirometro objektyvą nukreipiame į kaitinimo siūlą ir nustatomė ryškų vaizdą. Pirometrą pastatome taip, kad jo lemputės siūlas uždengtų tiriamos kaitinimo lempos siūlą.
- Dėstytojas nurodo srovės didumus, kuriems esant matuojama lemputės siūlo temperatūra  $t_r$  (5 - 6 matavimai).
- Matavimo duomenis (I-srovės stiprumą, U-įtampą,  $t_r$ -išmatuotą pirometru temperatūrą) surašome į lentelę. Nustatome tikrają temperatūrą T pagal išmatuotą pirometru  $t_r$  ir darbo vietoje pateiktą lentelę.
- Pagal (10) formulę apskaičiuojame Stefano-Bolcmano konstantą  $\sigma$  ( $A=0,85$ ).
- Suformuluojame išvadas.

### KONTROLINIAI KLAUSIMAI

- Šiluminis spinduliavimas ir jo savybės.
- Šiluminio spinduliavimo charakteristikos: spinduliavimo ir sugėrimo geba, integralinė spinduliavimo geba.

- Šiluminio spinduliuavimo dėsniai.
- Energijos pasiskirstymas absoliučiai juodojo kūno spinduliuavimo spektre.
- Planko matinio spinduliuavimo hipotezė. Planko formulė.
- Optinio pirometro veikimo principas.

## LITERATŪRA

[1], p. 3-7.

[2], p. 5-12.

[4], p. 241-259.

[10], p. 3-7.

## LABORATORINIS DARBAS Nr. 17

### IŠORINIO FOTOEFEKTO DĒSNINGUMŲ TIKRINIMAS

**TIKSLAS:** susipažinti su išoriniu fotoefektu, patikrinti soties fotosrovės priklausomybę nuo katodo apšviestumo.

**PRIEMONĖS:**vakuuminis fotoelementas, šviesos šaltinis, mikroampermetras, voltmetras, liniuotė, nuolatinės įtampos šaltinis, jungiklis.

### DARBO METODIKA IR PAGRINDINĖS FORMULĖS

H.Gercas 1887 m. tyrinėdamas elektromagnetinių bangų generavimą, nustatė, kad veikiant šviesai iš medžiagos paviršiaus išlckia elektronai. Šis reiškinys vadinamas išoriniu fotoefektu. Dėsningumus ištirė A.Stoletovas. Apibendrinus eksperimentinius rezultatus nustatyti šie dėsningumai:

1. Pastoviai šviesos šaltinio spinduliuojamos šviesos, sukeliančios fotoefektą, spektrinei sudėčiai, išlēkusiu elektronų skaičius per laiko vienetą yra proporcingas katodo apšviestumui.

2. Išlēkusiu elektronų didžiausia kinetine energija nepriklauso nuo katodo ašviestumo, o priklauso nuo fotoefektą sukėlusios šviesos bangos ilgio (dažnio).

3. Egzistuoja fotoefektą sukeliatis didžiausias bangos ilgis (mažiausias dažnis), vadinamas fotoefekto raudonaja riba, priklausantis nuo katodo medžiagos.

Eksperimentiniai faktai, kad išlēkusiu elektronų energija nepriklauso nuo krintančios šviesos intensyvumo (katodo apšviestumo), o priklauso nuo bangos ilgio ir egzistuoja minimalus krintančios į katodą šviesos dažnis, sukeliančios fotoefektą, yra aiškinami kvantinės mechanikos požiūriu. Kvantine fotoefekto teoriją sukūrė A.Einšteinas. Pritaikę Planko hipotezę apie kvantinį elektromagnetinių bangų spinduliuavimo ir sugėrimo pobūdį, jis užrašė fotoefekto lygtį:

$$h\nu = A + \frac{mv_{\max}^2}{2}, \quad (1)$$

čia  $h\nu$  - sugerto kvanto energija,  $h$  - Planko konstanta,  $m$  - elektrono masė,  $V_{\max}$  - išlēkusio elektrono didžiausias greiti,  $A$  - elektrono išlaisvinimo iš katodo paviršiaus darbas, priklausantis nuo medžiagos

rūšies, t. y. minimali energija, kurią reikia suteikti elektronui, kad jis išlėktų iš katodo paviršiaus. Einšteino lygtis fotoefektui (1) išreiškia energijos išsilaičymo dėsnį, įskaitant hipotezę, kad elektromagnetinio lauko energija sugeriamą apibrėžtomis porcijomis- kvantais, kurių energija proporcinga dažniui. Iš (1) plaukia, kad minimali fotoefektą sukeliati kvanto energija:

$$h v_r = A \quad (2)$$

$$\text{ir} \quad v_r = \frac{A}{h} \quad (3)$$

Žinant išlaisvinimo darbą  $A$ , iš (3) apskaičiuojame fotoefekto raudonosios ribos dažnį  $v_r$ .

Iš fotoefekto dėsningumo, kad išlēkusiu elektronų per laiko vienetą skaičius proporcingaskatodo apšvestumui, kai nesikeičia krintančios šviesos spektrinė sudėtis, plaukia, kad voltamperinėje fotoefekto charakteristikoje stebima soties srovė yra proporcinga katodo apšvestumui, t. y.

$$i_s \sim E \quad (4)$$

Taškinio šviesos šaštinio atveju

$$E = \frac{I}{r^2} \cos \alpha, \quad (5)$$

čia I-šaltinio šviesos stiprumas, r-jo atstumas nuo katodo paviršiaus,  $\alpha$ -kampas tarp normalės ir krintančio į katodo paviršių šviesos spindulio. Jei spinduliai krinta statmenai į katodą ( $\alpha=0$ ), tai

$$E = \frac{I}{r^2}, \quad (6)$$

ir pagal (4)

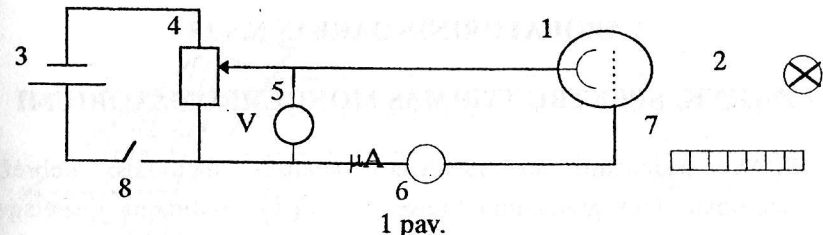
$$i_s \sim \frac{I}{r^2}. \quad (7)$$

Pastoviam I(šviesos šaltinis ir jo maitinimo įtampa nekinta):

$$i_s \sim \frac{1}{r^2}, \quad (8)$$

t. y. soties fotosrovės stipris atvirkščiai proporcingas šviesos šaltinio atstumo nuo katodo kvadratui.

Eksperimentiškai (8) priklausomybę tikriname matavimo įrenginiu, kurio schema pavaizduota 1 pav.



1 - vakuuminis fotoelementas, 2 - šviesos šaltinis, 3 - nuolatinės įtampos šaltinis, 4 - įtampos daliklis, 5 - voltmetras, 6 - mikroampermetras, 7 - liniuotė, 8 - jungiklis.

### BANDYMO EIGA

- Prieš pradedant matuoti patikriname 1 pav. pateiktą schemą.
- Esant didžiausiam apšvestumu (mažiausiam r, kurį nurodo dėstytojas), išmatuojame fotosrovės priklausomybę nuo įtampos tarp katodo ir anodo.
- Nubrėžiame voltamperinę charakteristiką  $i=f(V)$ .
- Iš voltamperinės charakteristikos nustatomės įtampos, kuriai esant fotosrovė įsisotina, didumą.
- Sudarius tokią įtampą (arba šiek tiek didesnę) išmatuojame fotosrovės priklausomybę nuo atstumo r. Nubrėžiame grafinę priklausomybę  $i_s = f\left(\frac{1}{r^2}\right)$ .
- Suformuluojame išvadas.

### KONTROLINIAI KLAUSIMAI

- Išorinis fotoefektas.
- Išorinio fotoefekto tyrimo schema.
- Išorinio fotoefekto dėsningumai.
- Einšteino lygtis fotoefektui.
- Elektronų išlaisvinimo darbas.
- Fotoefekto raudonoji riba, jos nustatymo būdai.

### LITERATŪRA

[2], p. 12-17.

[10], p. 7-9, 12-13.

## LABORATORINIS DARBAS Nr. 18

### LINIJINIŲ SPEKTRŲ TYRIMAS MONOCHROMATORIUMI

**TIKSLAS:** susipažinti su spektrinės analizės metodais; nubrėžti monochromatoriaus gradavimo kreivę  $n = f(\lambda)$ , vadinamą dispersijos kreive; pagal gradavimo kreivę rasti nežinomo spektro linijų bangų ilgius; lyginant išmatuotus bangų ilgius su nurodytais atlase, nustatyti nežinomą medžiagą.

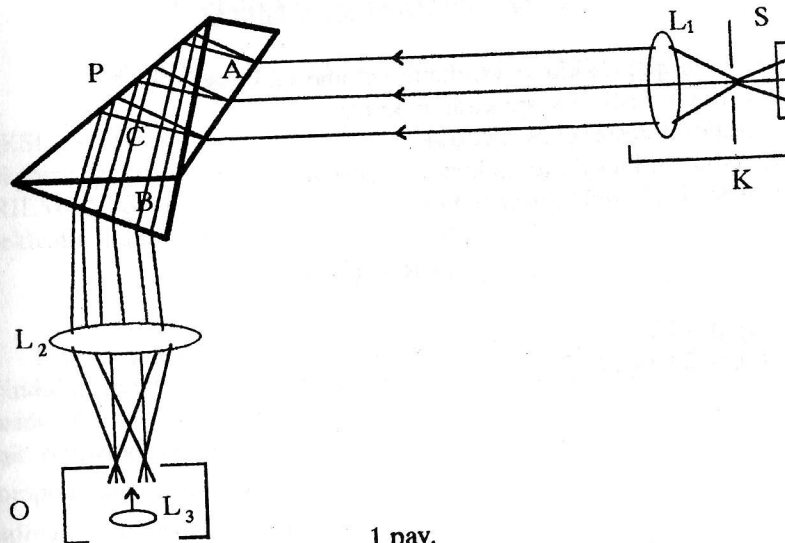
**PRIEMONĖS:** linijinio spektro šaltinis (neono lempa), monochromatorius, neono spektro atlasas, spektrinių linijų atlasas, nežinomo spektro šaltinis.

### DARBO METODIKA IR PAGRINDINĖS FORMULĖS

Darbe tiriamas linijinis emisijos spektras. Šie spektrai sudaryti iš atskirų spalvotų linijų. Juos skleidžia įkaitusios vienatomės dujos ir metalų garai. Tiriamo monochromatoriumi YM - 2. Jį sudaro kolimatorius K(1 pav.): viename jo gale yra plysys S, kitame - lėsis  $L_1$ , kurio židinys sutampa su plyšiu. Kolimatorius K skleidžia lygiagrečių spindulių pluoštą. Iš kolimatoriaus lygiagrečių spindulių pluoštelis patenka į disperguojančią sistemą P, sudarytą iš diejų  $30^{\circ}$  kampo disperguojančių prizmų A ir B, veikiančių kartu kaip viena  $60^{\circ}$  kampo prizmė, ir vienos visiško vidaus atspindžio prizmės C, kuri spinduliu kryptį pakeičia  $90^{\circ}$ .

Prizmė P švesą išskaido į spektrą. Be to, išėję iš įvairių prizmės vietų vienodo bangos ilgio spinduliai yra lygiagretūs, todėl lėsis  $L_2$  juos surenka į vieną juostelę šio lėšio židinio plokštumoje.

Lėsis  $L_3$  veikia kaip lupa ir padidina spektro vaizdą. Sukant monochromatoriaus būgną, sukasi prizmė P ir į lėši  $L_3$  patenka vis kitų ilgių prizmės P išskaidyta švesa. Ant monochromatoriaus būgno yra mikrometrinės padalos. Sukant būgną, keičiasi linijos, patenkancios į okuliaro žiūronėlį ir galima bet kurią iš jų sutapatininti su žiūronėlio siūleliu, kartu pažymint ją atitinkantį instrumento parodymą.



1 pav.

### DARBO EIGA

Prieš monochromatoriaus plyšį pastatome žinomą šviesos šaltinį (neoninę lempą). Reguliuodami okuliarą O, gauname ryškų spektrą. Lygindami gauto spektro linijų spalvą ir atstumą tarp jų su duotu spektro atlasu, nustatome tas pačias linijas abiejose spektruose. Sutapatiname siūleli su ryškesnėmis linijomis ir užrašome jų bangų ilgius (iš atlaso) bei mikrometro parodymus. Taip išmatuojame 10 -12 spektro linijų ir duomenis surašome į lentelę. Pagal juos brėžiame monochromatoriaus gradavimo kreivę  $n = f(\lambda)$ . Prieš monochromatoriaus plyšį statome nežinomą šviesos šaltinį. Išmatuojame kelis jo spektro linijas atitinkančius mikrometro parodymus ir pagal gradavimo kreivę nustatome bangų ilgius. Lygindami rastus bangų ilgius su ilgiais, būdingais atskiriems elementams, nustatome, kokiam elementui priklauso išmatuotos linijos. Suformuluojame išvadas.

## KONTROLINIAI KLAUSIMAI

- Linijinių spektrų kilmė, vandenilio atomo spektras.
- Juostiniai ir ištisiniai spektrai, jų kilmė.
- Emisijos ir absorbcijos spektrai.
- Kokybinė ir kiekybinė spektrinės analizės.
- Darbo eiga ir laukiami rezultatai.

## LITERATŪRA

- [1], p. 14-24.  
[2], p. 20-24, 92-97.

## LABORATORINIS DARBAS Nr. 19

### KOKYBINĖ SPEKTRINĖ ANALIZĖ STILOMETRU

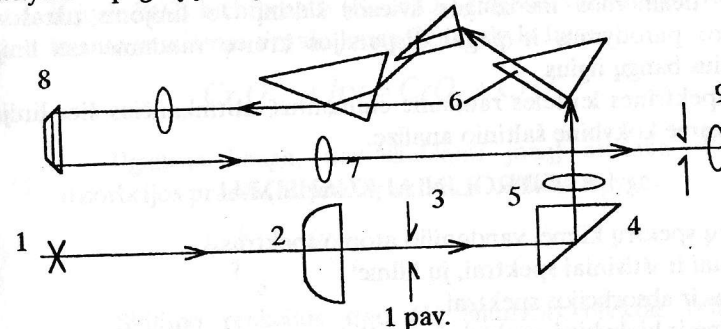
TIKSLAS: išmokti naudotis stilometru, atliliki tiriamojo šviesos šaltinio kokybinę spektrinę analizę.

PRIEMONĖS: stilometras, linijinio sektro šviesos šaltinis, spektrų atlasas, spektrinių linijų lentelė ir nežinomo spekto šaltinis.

### DARBO METODIKA IR PAGRINDINĖS FORMULĖS

Į prizmę krintas šviesos spindulys išskaidomas į daugelį spalvotų spindulių (spektrą). Skaidymas aiškinamas tuo, kad baltas šviesos spindulys susideda iš spalvotų spindulių: kiekvieną spalvą atitinka tam tikras bangos ilgis, o prizmės medžiagos lūžio rodiklis skirtinges kiekvienai balto šviesos komponentei. Lūžio rodiklio kitimo funkcija nuo bangos ilgio  $n = f(\lambda)$  vadina tos medžiagos dispersiją.

Paprastiausias prietaisas, kuriame dispersija naudojama spektrui gauti, yra spektroskopas. Šiame darbe spektroskopo funkciją atlieka tikslesnis prietaisas - stilometras (1 pav.). Juo aliekamos metalų ir jų lydinių kokybinės ir kiekybinės analizės spektrinės analizės metodų. Kokybinė spektrinė analizė atliekama pagal spektro linijų dažnius, o kiekybinė - pagal jų santykinius intensyvumus.



Optinė stilometro schema (1. pav.). Šviesa iš šaltinio 1 kondensoriumi 2 siunčiama į plėši 3. Praėjus prizmę 4, šviesos pluošteli patenka į kolimatoriaus objektyvą 5 ir toliau disperguojančios prizmės 6 išskaido ji į spektrą. Tikrųjų spektro vaizdą fokusuoja objektyvas 7. Reikiama spektro sričių į okuliarą 9 nukreipia prizmė 8.

( Stilometro dalis, neturinti spektroskopio paskirties, nenurodyta. Išsamus prietaiso aprašymas pateiktas priede prie aprašymo ir yra darbo vietoje.).

### DARBO EIGA

1. Stilometro plyši nukreipiame į žinomas medžiagos šviesos šaltini. Žiūrėdami pro okularą 9, turime pamatyti spektrą. Jei spektras neryškus, jo linijos išplitusios, sukinėjame okularą, kol spekto linijos pasidaro ryškios. Linijas galima paryškinti sukinėjant prietaiso kairėje pusėje esančią sraigą.
2. Duotoje spektrinėje lentelėje yra aprašytos darbe naudojamo šviesos šaltinio skleidžiamos linijos, nurodyti jų bangų ilgiai. Reikiama spekto sritis nukreipiama į matymo lauką sukinėjant dešinėje pusėje esančį mikrometro sraigą. Visas spektras peržiūrimas, apskant sraigą kelis kartus. Skalės būgnelyje yra šimtas padalų, paženklintu kas dešimt padalų. Sraigtu pradinę liniją sutapatiname su matymo lauko viduryje esančios juodos juostos, reikalingos fiksuarai linijos pradžiai nustatyti, dešiniu kraštu ir užrašome į lentelę liniją atitinkantį bangos ilgį bei mikrometro skalės parodymą. Po to į tą pačią vietą nukreipiame kitas linijas ir užrašome parodymus.
3. Pagal turimus duomenis nubrėžiame kreivę  $n = f(\lambda)$ , kuri vadinama dispersijos kreive.
4. Imame nežinomas medžiagos šviesos šaltini. Jo linijoms užrašome mikrometro parodymus ir pagal dispersijos kreivę randame tas linijas atitinkančius bangų ilgius.
5. Pagal spektrines lenteles randame elementus, atitinkančius šias linijas. Taip atliekame kokybinę šaltinio analizę.

### KONTROLINIAI KLAUSIMAI

1. Linijinių spektrų kilmė, vandenilio atomo spektras.
2. Juostiniai ir ištisininiai spektrai, jų kilmė.
3. Emisijos ir absorbcijos spektrai.
4. Kokybinė ir kiekybinė spektrinės analizės.
5. Darbo eiga ir laikiami rezultatai.

### LITERATŪRA

[2],p.20-24, 92-97.

[10],p.14-24.

### LABORATORINIS DARBAS Nr. 20

### PLANKO KONSTANTOS SKAIČIAVIMAS IŠ ABSORBCIJOS SPEKTRO

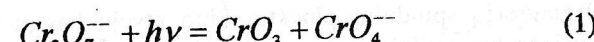
TIKSLAS: susipažinti su difrakcinio monochromatoriaus veikimo principu ir nubrėžti jo absorbcijos kreivę; rasti Planko konstantą.

PRIEMONĖS: monochromatorius, neonų spekto atlasas, tirpalas ir šviesos šaltinis.

### DARBO METODIKA IR PAGRINDINĖS FORMULĖS

Vykstant absorbcijai molekulėse arba kietuose kūnuose, t.y. tais atvejais, kai kvantas absorbuojamas tam tikros visumos atomų, visa jo energija arba jos dalis gali būti perduota svyra vimams arba molekulės rotaciniams laisvės laipsniams ir sukelti medžiagos cheminius pakitimus, pvz., suskaldyti molekules. Kadangi kvantai yra nedalomi, kiekvieną jų absorbuoja viena molekulė, taigi vienas kvantas gali suskaldyti tik vieną molekulę. Molekulę suskaldyti gali tik absorbuoti kvantai, kurių energija yra ne mažesnė už energiją  $W_0$ , reikalingą molekulei suskaldyti.

Planko konstantai rasti gali būti naudojami įvairūs tirpalai, iš jų ir kalio bichromato ( $K_2Cr_2O_7$ ) tirpalas vandenye. Šviesos kvanto veikiamas tirpalas jonas  $Cr_2O_7$  skyla taip:



Ilgiausia banga, dar skaldanti joną, atitinka ištisinės absorbcijos pradžią tirpalo spektre. Ji tenkina sąlygą:

$$h \frac{c}{\lambda_0} = W_0 \quad (2)$$

Skilimo reakcijos tipo (1) šiluminis efektas (energija reikalinga suskaldyti 1 kmol.) yra žinomas -  $W=222 \cdot 10^6$  J/kmol. Norint gauti jo dalį  $W_0$ , tenkančią vienai molekulei, reikia ji padalinti iš Avogadro skaičiaus

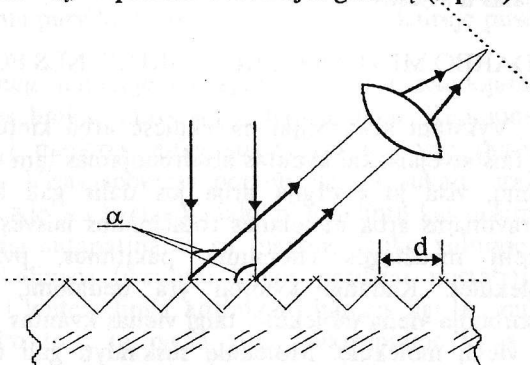
$$N_0 = 6.02 \cdot 10^{26} \text{ kmol}^{-1}, \text{ t.y. } W_0 = \frac{W}{N_0}.$$

Tada iš (2) gauname:

$$h = \frac{W_0 \lambda_0}{c} = \frac{W \lambda_0}{N_0 c}$$

Per tirpalą leidžiamos ir praėjusios šviesos spektras tiriamas difrakciniu monochromatoriumi.

Monochromatoriuje MYM panaudota įgaubta atspindžio gardelė, kuri šviesą išskaido į spektrą ir fokusuoja į plyšio plokštumą. Jos veikimo principą galima suprasti, išnagrinėjus paprastesnę plokščią, atspindžio difrakcijos gardelę (1 pav.).



1 pav.

Tai plokštelė, kurios viename paviršiuje padaryta daug vienodos formos, vienodai vienas nuo kito nutolusių lygiagrečių rėžių. Tarkime, kad gardelę apšviečiame normalės kryptimi lygiagrečių spindulių pluoštū. Šiuo atveju bangų frontas yra lygiagretus gardelės paviršiu ir spinduliai pasieka vienu laiku, svyruodami vienoje fazėje. Gardelės paviršiaus įbrėžimai juos išskaido įvairiais kampais, t.y. šviesa difraguoja. Difrakcijos centrus galime laikyti koherentiškos šviesos šaltiniais, kurių šviesa interferuoja. Spindulių eigos skirtumas  $\Delta = d \sin\alpha$ . Tik tenkinant interferencijos maksimumo sąlygą ( $\lambda/k\lambda$ ), šviesos amplitudės susidės. Todėl atspindyme stebima šviesa tik tokiaisiais kampais, kurie tenkina sąlygą:

$$\sin\alpha = \frac{k\lambda}{d}, \quad (4)$$

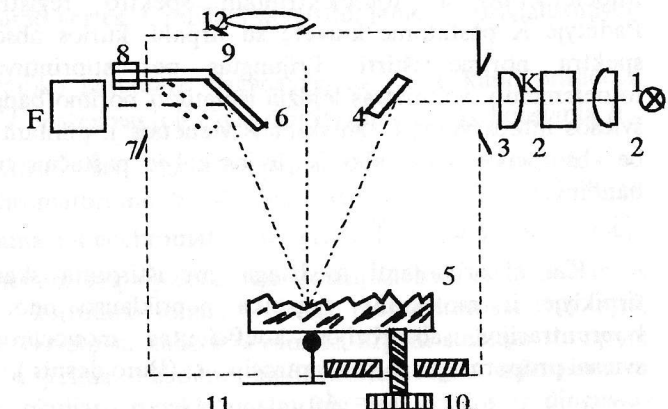
čia  $k=0,1,2,3\dots$  vadinama spektro eile.

Sąryšis (4) rodo, kad išskyrius  $k = 0$  (nulinės eilės spektrą)

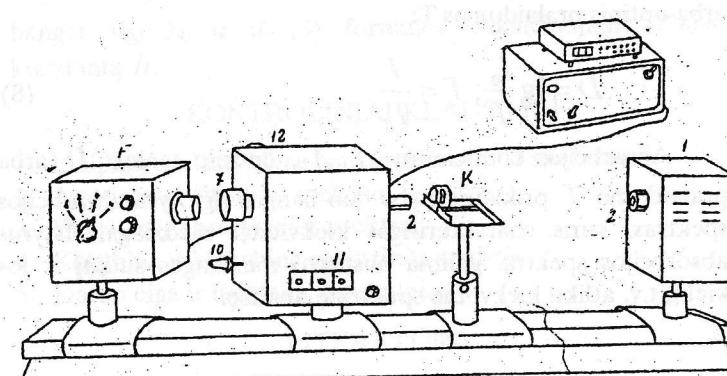
skirtingo bangos ilgio λ šviesa nukryps skirtingais kampais, t.y. gauname spektrą, kurio išplitimas (dispersija) didės, mažinant atstumą tarp rėžių  $d$ . Todėl difrakcijos gardelėse stengiasi padaryti kuo daugiau rėžių, pvz. 600, 1200, 2400 ir daugiau kiekviename milimetre. Bendras rėžių skaičius  $N$  (gardelės plotis) sąlygoja gardelės skiriamąją galią:

$$R = \frac{\lambda}{d\lambda} = kN. \quad (5)$$

Difrakcinio monochromatoriaus MYM schema pavaizduota 2 pav., o bendras vaizdas 3 pav.



2 pav.



3 pav.

Iš šaltinio 1 lėšiai 2 šviesa nukreipiama į išėjimo plyši 3. Praėjė plyši ir atispindėjė nuo veidrodžio 4 spinduliai apšviečia įgaubtą atspindžio difrakcijos gardelę 5. Difragavusi šviesa, atispindėjusi nuo veidrodžio 6, fokusuoja į išėjimo plyši 7. Rankenėlė 8 veidrodį galima patraukti, tuomet šviesa patenka į išėjimo plyši 9. Sukant rankenelę 10, gardelę 5 pakreipiama ir į išėjimo plyši patenka norimo spektro intervalo šviesa, kurios bangos ilgi rodo skaičiai langelyje 11. Spektrui stebėti vizualiai už plyšio 7 arba 9 galima pritvirtinti okuliarą 12, kuri pastumiant priklausomai nuo stebėtojo akių, nustatomas maksimalus ryškumas. Už išėjimo plyšio 7 pastatytas fotoelementas F fotoelektriniams spektro registravimui. Padėtyje K pastatome kiuvetę su tirpalu, kurios absorbcijos spektrą norime ištirti. Prijungtas per stiprintuvą prie fotoelemento voltmetras leidžia išmatuoti norimo bangų ilgio šviesos intensyvumą (santykiai vienetais), plintant šviesai be absorbcijos pavyzdžlio  $I_0$  ir jos kelyje pastačius tiriamąjį bandinį I

$$I = I_0 e^{-\mu d} \quad (6)$$

Kai absorbuojanti medžiaga yra ištirpinta skaidriame tirpiklyje ir molekulių sąveika nepriklauso nuo tirpalo koncentracijos, absorbcijos koeficientas monochromatinei šviesai proporcingsas jo koncentracijai  $c$  (Bero dėsnis) :

$$\mu = Ac, \quad (7)$$

čia A-koeficientas, būdingas grynai absorbuojančiai medžiagai. Optiniai prietaisais dažniausiai nustatomas optinis tankis  $D$  arba optinis pralaidumas T:

$$D = \lg \frac{I_0}{I}; T = \frac{I}{I_0}. \quad (8)$$

Absorbcijos koeficientų  $\mu$ ,  $A$ , optinio tankio  $D$  arba pralaidumo  $T$  priklausomybė nuo bangos ilgio yra absorbcijos spektras, kuris charakteringas kiekvienai medžiagai. Ištyrus absorbcijos spektrą, galima nustatyti medžiagos sudėtį ir jos kiekį, t.y. atlikti kiekybinę spektrinę analizę.

## BANDYMO EIGA

1. Ant optinio suolo 30-60 cm atstume nuo išėjimo plyšio 2 pastatome ir įjungiamo ištisinio spektro šviesos šaltinį 1.
2. Prieš išėjimo plyši 7 pastatome fotoelementą, diafragmos rankenėlę parenkame norimą intensyvumą ir nustatome nulinę padėtį (jautris padėtyje 4).
3. Prieš plyši 2 pastatome kiuvetę su kalio bichromato tirpalu K. Keičiant bangos ilgi nustatytais intervalais išmatuojame voltmetro parodymus (proporcingsus šviesos intensyvumui) šviesai cinant tiesiog į plyši ir per bandinį. Rezultatus surašome į lentelę.
4. Naudojant (8) sarysius apskaičiuojame optinio tankio ir pralaidumo vertes. Grafiškai atvaizduojame  $T$  priklausomybę nuo  $\lambda$ .
5. Iš grafiko nustatome bangos ilgi  $\lambda_0$ , prie kurio prasideda staigus  $T$  mažėjimas ir iš (3) apskaičiuojame Planko konstantą  $h$ .

PASTABA. Šis darbas gali būti atliekamas ir su monochromatoriumi YM-2. Šiuo atveju kaip ir darbe Nr.18 išbrėžiama monochromatoriaus gradavimo kreivė  $n = f(\lambda)$ .

Po to neono lempa pakeičiama ištisinį spektrą turinčiu šviesos šaltiniu (kaitinimo lempa). Prieš monochromatoriaus plyši pastatę kiuvetę su kalio bichromato tirpalu stebime trumpųjų bangų sugėrimą. Sukdami monochromatoriaus mikrometrinį sraigą, okuliaro rodyklę nustatome ant likusios ir dingusios ištisinio spektro ribos ir užrašome mikrometro parodymą no. Pagal šią no reikšmę iš kreivės  $n = f(\lambda)$  nustatome ribinį bangos ilgi  $\lambda_0$  ir iš (3) formulės išskaičiuojame Planko konstantą  $h$ .

## KONTROLINIAI KLAUSIMAI

1. Linijinių spektrų kilmė, vandenilio atomo spektras.
2. Juostiniai ir ištisiniai spektrai, jų kilmė.
3. Emisijos ir absorbcijos spektrai.
4. Kokybinių ir kiekybių spektrinės analizės.
5. Darbo eiga ir laukiami rezultatai.

## LITERATŪRA

[1], p. 170-175.

[10], p. 14-24, 32-35.

## LABORATORINIS DARBAS Nr. 21

### TIRPALŲ ABSORBCIJOS SPEKTRŲ TYRIMAS

TIKSLAS: ištirti duotojo tirpalo absorbcijos spektrą, nustatyti stipriausiai absorbuojamos šviesos bangos ilgi, išmatuoti nežinomą koncentraciją.

PRIEMONĖS: fotoelektrinis kolorimetras, mègintuvèliai, kiuvetës, žinomas koncentracijos tirpalas, nežinomas koncentracijos tirpalas.

#### DARBO METODIKA IR PAGRINDINÈS FORMULÈS

**DARBO TEORIJA:** Šviesai plintant medžiagoje, jos intensyvumas mažėja. Dalis šviesos energijos naudojama sužadinti elektronams ( šuoliams į didesnès energijos bûsenas ) bei molekulių svyruojamajam bei sukamajam judéjimui padidinti. Dalį sukauptos energijos medžiagos išspinduliuoja, vykstant liuminescencijai, tačiau kita, dažnai didesnioji, dalis sunaudojama molekulių bei atomų šiluminiam judéjimui padidinti, t.y. pasileika medžiagoje vidinės energijos pavidalu. Kai kuriose medžiagose šviesos absorbcija sukelia fotoreakcijas. Absorbcijos spektrai, kaip ir emisijos spektrai, yra sudëtingi. Atskirų atomų spektrai yra linijiniai. Molekulių (tirpalų) spektrai sudaryti iš daugelio persiklojančių linijų, kurios sudaro juostas. Monochromatinės šviesos silpnėjimą medžiagoje aprašo Bugerio ir Lamperto dësnis:

$$I = I_0 \exp[-\mu x], \quad (1)$$

čia  $I_0$  - kritusios į medžiągą šviesos intensyvumas, o  $I$  - praëjusios medžiagos sluoksnio storij  $x$  intensyvumas.

Kai absorbuojanti medžiaga yra ištirpinta skaidriame tirpiklyje ir molekulių sąveika nežymiai priklauso nuo tirpalo koncentracijos, absorbcijos koeficientas monochromatinei šviesai proporcionalus jo koncentracijai  $c$  ( Bero dësnis ):

$$\mu = \alpha c, \quad (2)$$

čia  $\alpha$  - koeficientas, bûdingas grynių absorbuojančių medžiagai. Optiniuose prietaisais dažniausiai nustatomos dvi šviesos absorbcijų apibûdinančios charakteristikos:  
optinis tankis  $D$

$$D = \lg \left( \frac{I_0}{I} \right) \quad (3)$$

ir optinis pralaidumas  $T$

$$T = \frac{I}{I_0}. \quad (4)$$

Absorbcijos koeficientų  $\mu$ ,  $\alpha$ , optinio tankio  $D$  arba pralaidumo  $T$  priklausomybè nuo bangos ilgio yra absorbcijos spektras, kuris charakteringas kiekvienai medžiagai. Ištyrus absorbcijos spektrą, galima nustatyti medžiagos kiekį ir jos sudëtį, t.y. atlikti kokybinę ir kiekybinę spektrinę analizę.

Fotoelektrinis kolorimetras KFK-2 ( 1 pav. ) skirtas matuoti tirpalų optiniam pralaidumu  $T$  ir optiniam tankiu  $D$  šviesos bangų ilgiu ( 315-980 ) nm intervale. Tirpalo optinis pralaidumas nustatomas, užregistruotas šviesos srautą  $\Phi_0$  ir praëjusį tirpalą srautą  $\Phi$ , kurie yra proporcionalūs šviesos intensyvumui  $I_0$  ir  $I$ :

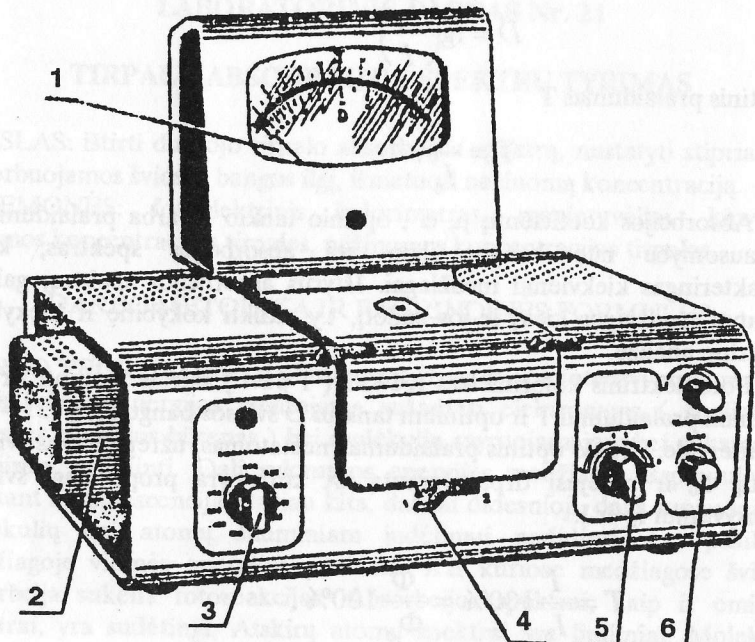
$$T = \frac{I}{I_0} 100\% = \frac{\Phi}{\Phi_0} 100\%. \quad (5)$$

Optinis tankis  $D$  atitinkamai gaunamas

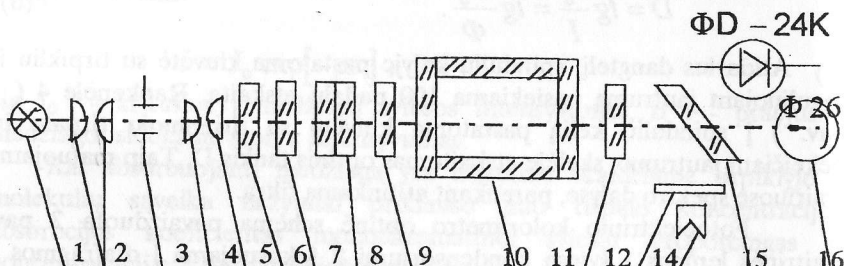
$$D = \lg \frac{I_0}{I} = \lg \frac{\Phi_0}{\Phi}. \quad (6)$$

Atidarius dangtelį, spinduliu kelyje pastatoma kiuvetë su tirpikliu ir reguliuojant jautrumą pasiekama 100 padalų atskaita. Rankenèle 4 ( 1 pav. ) į spinduliu kelią pastatoma kiuvetë su tiriamuoju tirpalu ir, nekeičiant jautrumo, skalėje atskaitomas optinis tankis  $D$ . Taip matuojama įvairiuose spektro dalyse, parenkant atitinkamą filtrą.

Fotoelektrinio kolorimetro optinė schema pavaizduota 2 pav. Kajtinės lempos 1 šviesa kondensoriumi 2 fokusuojama į diafragmos 3 plokštumą. Objektyvas 4-5 per filtrų sistemą 6-8 šviesą nukreipia į tiriamają kiuvetę 10, kuri stovi tarp apsauginių stiklų 9 ir 11. Spalvoti šviesos filtri 8 išskiria norimo bangos ilgio šviesą. Apsauginis filtras 6 apsaugo optinę sistemą nuo šiluminio poveikio, o neutralūs ( pilki ) šviesos filtri 7 susilpnina šviesą 400-540 nm diapazone. Praëjus tiriamajį tirpalą šviesa padalinimo plokštete 15 nukreipiama į fotodiodą  $\Phi D-24K$  12, kuris jautrus 590 - 980 nm bangų ilgiu intervale ir fotodioda  $\Phi-26$  16,



1 pav.



2 pav.

jautrū 315-540 nm intervale. Todėl, matuojant skirtinguose spektrio intervaluose, pažymėtuose atitinkamai juoda ir raudona spalvomis, reikia jautrumo rankenėlę statyti ties tos pačios spalvos pažymomis.

## DARBO EIGA

- Pasigaminame duotojo tirpalо reikiama konsentracija. Jei konsentracija nenurodyta, tinkamiausiai konsentracijai parinkti atliekame kontrolinius matavimus, siekdami, kad pagrindinėje absorbcijos srityje pralaidumas T būtų 10-100% intervale.
- Vieną kiuvetę užpildome tiriamuoju tirpalu, antrają - tirpikliu (vandeniu). Įstatome kiuvetes ir uždarome dangtelį.
- Rankenėlę 4 kiuvetę su tirpikliu (vandeniu) pastatome taip, kad per ją eiti šviesa. Rankenėlėmis "jautumas" 5 ir "100 nustatymas grubiai ir tiksliai" 6 rodyklę 1 pralaidumo T skaleje atlenkiame ties 100-ają padala. Rankenėlę 5 "jautumas" 1, 2 arba 3 padėtyje.
- Rankenėlę 4 į spindulių kelią pastatome tirpalą ir atskaitome skalės parodymus, t.y. išmatuojame optinį pralaidumą T ir optinį tankį D.
- 3-4 punktų matavimus atliekame su filtrais, keisdami juos 3 rankenėlę.
- Nubrėžiame optinio tankio D ir optinio pralaidumo T priklausomybės nuo bangos ilgio grafikus.
- Iš grafiko nustatome bangų ilgi (filtrą), atitinkantį didžiausią absorbciją ir, panaudojus jį, išmatuojame T ir D priklausomybę nuo konsentracijos. Žinomų skirtingų konsentracijų tirpalus pasigaminame, išpliant į žinomas konsentracijos tirpalą atitinkamą kiekį tirpiklio (vandens).
- Pavaizduojame  $T=T(c)$  ir  $D=D(c)$  priklausomybes grafiškai.
- Išmatuojame nežinomas konsentracijos tirpalo optinį tankį D ir pralaidumą T ir naudodamiesi 8 punkto grafiku surandame jo konsentraciją.

## KONTROLINIAI KLAUSIMAI

- Spinduliavimo ir absorbcijos spektrų rūšys.
- Pagrindinės molekulių spektrų dedamosios: rotaciniai, vibracioniai ir elektroniniai spektrai.
- Tirpalų optinis tankis D bei pralaidumas T ir jų tarpusavio ryšys.
- Spektrų panaudojimas kokybinėje ir kiekybinėje spektrinėje analizėje.
- Fotoelektrinio kolorimetro optinė schema ir jos veikimo principas.

## LITERATŪRA

- [2], p. 20-26, 92-97;  
[8], p. 10-17, 86-89.

## LABORATORINIS DARBAS Nr. 22

### PUSLAIDININKIŲ VARŽOS PRIKLAUSOMYBĖS NUO TEMPERATŪROS TYRIMAS

**TIKSLAS:** išmatuoti puslaidininkio termorezistoriaus varžos priklausomybę nuo temperatūros ir apskaičiuoti puslaidininkio, iš kurio jis pagamintas, aktyvacijos energiją.

**PRIEMONĖS:** termorezistorius, termostatas (krosnelė), termometras, autotransformatorius, Vitstono tiltelis, srovės šaltinis.

#### DARBO METODIKA PAGRINDINĖS FORMULĖS

Puslaidininkų elektrinį laidumą sąlygoja laidumo juostoje esantys elektronai ir valentinėje juostoje esančios skylių. Chemiškai gryniems puslaidininkiams elektronų ir skylių koncentracijos vienodos. Tokie puslaidininkiai vadinami savaisiais, o jų elektrinis laidumas vadinamas savuoju. Jei  $T=0$ , tokie puslaidininkiai yra idealūs dielektrikai, o jų varža be galio didelė. Kai  $T>0$ , jų varža mažėja didėjant temperatūrai. Varžos priklausomybę nuo temperatūros aprašoma formulė:

$$R = R_0 e^{\frac{\Delta E_0}{2kT}} \quad (1)$$

čia  $\Delta E_0$  - puslaidininkio aktyvacijos energija,  $T$  - absoliutinė temperatūra,  $k$  - Boltmano konstanta,  $R_0$  - konstanta(ji lygi minimaliai galimai puslaidininkio varžai). Sulogaritmavus abi lygibės puses:

$$\ln R = \ln R_0 + \frac{\Delta E_0}{kT} \quad (2)$$

Matome, kad varžos natūrinis logaritmas yra tiesinė atvirkštinės temperatūros funkcija. Vadinas, grafikas  $\ln R = f\left(\frac{1}{T}\right)$  yra tiesė, kurios polinkio kampo  $\varphi$  į  $\frac{1}{T}$  aši tangentas lygus  $\frac{\Delta E_0}{2k}$ . Iš jo galima rasti aktyvacijos energiją:

$$\Delta E_0 = 2k \operatorname{tg} \varphi \quad (3)$$

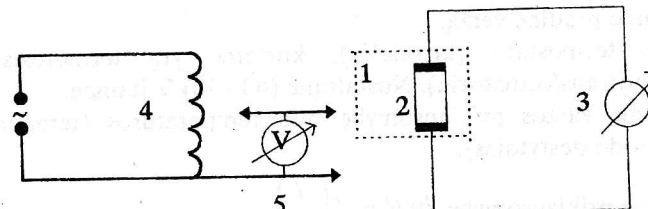
Jei puslaidininkis elektroninis, Jame dominuoja laidumas, sąlygojamas elektronais, sužadinamais iš donorinių priemaišinių lygmenų į laidumo juostą, arba skylinis, sąlygojamas skylėmis valentinėje juoste, susidarančiomis sužadinant elektronus iš valentinės juostos į priemaišinius akceptorinius lygmenis. Šiuo atveju, esant žemesnėms temperatūroms, puslaidininkio varža priklauso nuo priemaišinių lygmenų aktyvacijos energijos  $\Delta E_{pr}$ , nes  $\Delta E_{pr} < \Delta E_0$  ir išreiškiame lygybe:

$$R = R_0 e^{\frac{\Delta E_{pr}}{2kT}} \quad (4)$$

o esant aukštesnėms temperatūroms varžos priklausomybę nuo temperatūros bus kaip ir savojo puslaidininkio (1). Sulogaritmavus (4) gauame analogišką varžos logaritmo priklausomybę nuo atvirkštinės temperatūros, tik šiuo atveju tiesės polinkio kampus  $\varphi_1$  bus mažesnis. Iš jo galime rasti lygmens aktyvacijos energiją:

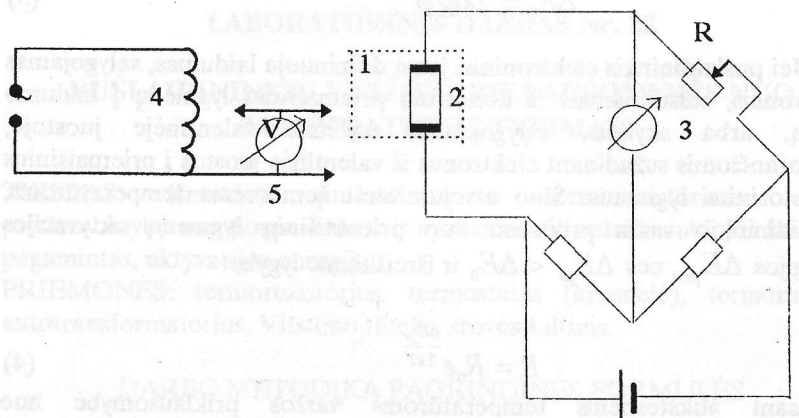
$$\Delta E_{pr} = 2k \operatorname{tg} \varphi_1 \quad (5)$$

Puslaidininkio varža matuojama ommetru (1 pav., a) arba Vitstono tilteliu (1 pav., b).



1 - krosnelė, 2 - termovarža, 3 - ommetras, 4 - autotransformatorius, 5 - voltmetras.

1 pav., a



1 - krosnelė, 2 - termovarža, 3 - Vitstono tiltelis, 4 - autotransformatorius,  
5 - voltmetras.

1 pav., b

### BANDYMO EIGA

1. Susipažijame su matavimo aparatu ir patikriname 1 pav. parodytą elektrinę grandinę.
2. Išmatuojame pradinę varžą.
3. Įjungiamo termostato (krosnelės), kuriame yra termorezistorius kaitinimą (autotransformatorių). Nustatome (60 - 70) V įtamprą.
4. Išmatuojame varžos priklausomybę nuo temperatūros (temperatūrų intervalus nurodo dėstytojas).
5. Nubrėžiame priklausomybę  $\ln R = f\left(\frac{I}{T}\right)$ .
6. Pagal (3) ir (5) apskaičiuojame  $\Delta E_0$  ir  $\Delta E_{pr}$  (jei T nedidelis, tai tik  $\Delta E_{pr}$ ).

### KONTROLINIAI KLAUSIMAI

1. Energinės juostos kietuosiouose kūnuose.
2. Kietujių kūnų skirstymas į laidininkus, puslaidininkius ir dielektrikus juostinės teorijos požiūriu.

3. Savasis, elektroninis ir skylinis puslaidininkų laidumai. Jų aiškinimas.
4. Puslaidininkų varžos priklausomybė nuo temperatūros.
5. Aktyvacijos energija; jos prasmė ir nustatymo metodika.

### LITERATŪRA

- [12], p. 60 - 100;  
[14], p. 52 - 60, 66 - 67.

Tadmes, elektros energija yra kintamasis. Savinkuriant su tokia energija susijantių priklausomybių faktoriai yra skylos, kurie yra pakankamai dideli, vingiuojanti užtraukymą krovinių kintinės energijos indeksu dėl energetikos sistemos parametruose deformačijos ir formos, tačiau tais pačiais vienais ir prieš 10<sup>-13</sup> s išvengiamas kintininkų energijos. Taip pat atrodo, kad išvengiamas kintininkų griežimo trukmė daug didesne už 10<sup>-13</sup> s ir sudaro 10<sup>-12</sup> - 10<sup>-13</sup> s, taigi štai rekomendacijos iš laukinės energijos atrodo priklausomybėmis kintininkų rūpinėsi kintininkų energiją. Ir to plečia, kad nepriekaišytinės kintininkų jidurės yra iš jidurės už 10<sup>-13</sup> s, tačiau prieš išvengiamas kintininkų jidurės yra iš jidurės už 10<sup>-13</sup> s. Kad vartos natūralinės fizinės savybės su priešingomis savybėmis, kai reikėja išvengiamas kintininkų jidurės iš jidurės?

### DARBO METODIKA IR PAGRINDINES FORMULĖS

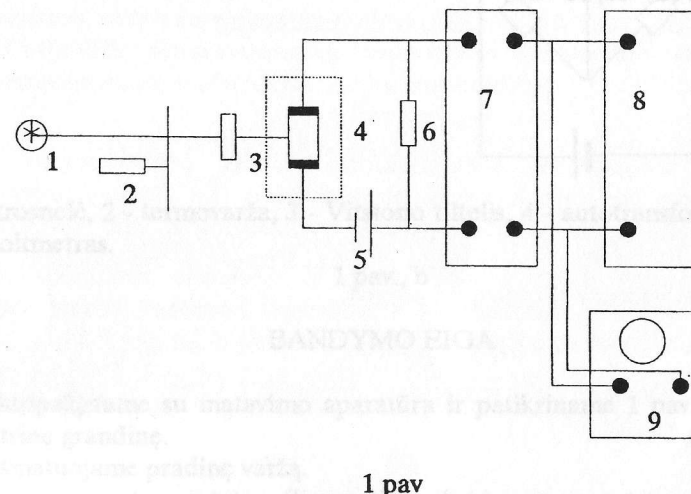
Štai pagrindinės formulės, kurių pagalba galima išvengiamas kintininkų jidurės iš jidurės. Štai pagrindinės formulės, kurių pagalba galima išvengiamas kintininkų jidurės iš jidurės. Štai pagrindinės formulės, kurių pagalba galima išvengiamas kintininkų jidurės iš jidurės. Štai pagrindinės formulės, kurių pagalba galima išvengiamas kintininkų jidurės iš jidurės. Štai pagrindinės formulės, kurių pagalba galima išvengiamas kintininkų jidurės iš jidurės. Štai pagrindinės formulės, kurių pagalba galima išvengiamas kintininkų jidurės iš jidurės.

## LABORATORINIS DARBAS Nr. 23

### PUSLAIDININKIŲ FOTOLAIDUMO TYRIMAS

TIKSLAS: susipažinti su puslaidininkų fotolaidumo kinetika ir išmatuoti liuksamperinę charakteristiką.

PRIEMONĖS: šviesos šaltinis 1, šviesos modulatorius 2, šviesos filtru

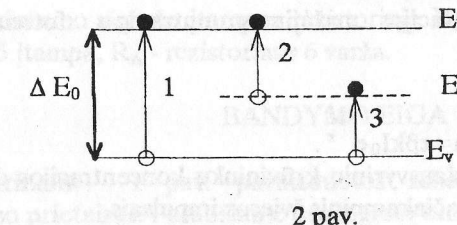


rinkinys 3, fotorezistorius 4, srovės šaltinis 5, rezistorius 6, stiprintuvas 7, voltmeteras 8, oscilografas 9.

### DARBO METODIKA IR PAGRINDINĖS FORMULĖS

Vidinis fotoefektas ir su juo susijęs fotolaidumas stebimas sužadinus puslaidininkį tam tikros energijos fotonų srautu. Puslaidininkio valentinėje juosteje arba priemaišiniuose lygmenyse esantys elektronai sugeria fotonų energiją ir, jei pastaroji yra pakankamo didumo, įvyksta elektrono šuolis į laidumo juostą (2 pav. 1 ir 2 šuoliai) arba į lokalinę energijos lygmenį (2 pav. 3 šuolis), esant puslaidininkio draustinės energijos juoste. Įvykus 1 šuoliui puslaidininkje susidaro pora elektronas - skylė (elektronas į laidumo juoste, skylė valentinėje juoste), 2 ir 3 šuoliams susidaro tik vieno ženklo krūvininkai: elektronai arba skylės. Jei elektronai sužadinami iš valentinės į laidumo juostą (1 šuolis), tai sudarytas laidumo padidėjimas

vadinamas savuoju fotolaidumu. Šiuo atveju fotonų energija turi būti ne mažesnė už draustinės energijos intervalą ( $h\nu \geq \Delta E_0$ ). Sužadinant elektronus iš priemaišinių lygmenų (2 šuolis) arba iš valentinės juostos į priemaišinius lygmenis (3 šuolis) stebimas priemaišinis fotolaidumas. Toliau aptarsime tik savojo fotolaidumo reiškinį.



2 pav.

Tarkime, kad fotonų energija  $h\nu \gg \Delta E_0$ . Sąveikaujant su tokiu fotonu susidarys nepusiausvyriniai elektronai ir skylės, kurie turės pakankamai didelę, viršijančią pusiausvyrių krūvininkų vidutinę energiją, tačiau dėl sąveikos su kristalinės gardelės defektais ir fononais, jie netenka šios perteiklinės energijos ir praėjus  $10^{-10}$  s nepusiausvyrių krūvininkų energija susilygins su vidutine pusiausvyrių krūvininkų šiluminė energija. Kaip taisyklė, nepusiausvyrių krūvininkų gyvavimo trukmė daug didesnė už  $10^{-10}$  s ir sudaro  $10^2 \div 10^7$  s, taigi iki rekombinacijos jų kinetinė energija atitinka pusiausvyrių krūvininkų vidutinę šiluminę energiją. Iš to plaukia, kad nepusiausvyrių krūvininkų judrumas  $\mu_n$  ir  $\mu_p$  mažai skirsis nuo pusiausvyrių. Tokiu būdu, sužadinus puslaidininkį fotonais, laidumo padidėjimą lems nepusiausvyrių elektronų  $\Delta n$  ir skylių  $\Delta p$  koncentracijos padidėjimas:

$$\Delta\sigma = e(\mu_n \Delta n + \mu_p \Delta p). \quad (1)$$

Nepusiausvyrių elektronų  $\Delta n$  ir skylių  $\Delta p$  koncentracija priklauso nuo fotonų srauto  $I_0$  didumo ir laiko intervalo, kurio metu krinta į puslaidininkio paviršių fotonų srautas.

Tarkime, kad  $\Delta p = \Delta n < < p_0 > > n_0$  (čia  $n_0$  ir  $p_0$  pusiausvyrinė krūvininkų koncentracija). Laiko momentu  $t=0$  puslaidininkį apšvietus pastovaus didumo fotonų srautu  $I_0$ , nepusiausvyrių elektronų arba skylių koncentracija didės pagal dėsnį:

$$\Delta n = \tau \beta k I_0 \left( 1 - e^{-\frac{t}{\tau}} \right), \quad (2)$$

čia  $\tau$  - fotona sužadintų krūvininkų gyvavimo trukmė,  $k$  - šviesos sugėrimo koeficientas,  $\beta$  - kvantinis našumas, parodantis, kiek porų elektronas - - skylė sužadina vienas fotonas (paprastai  $\beta < 1$ ).

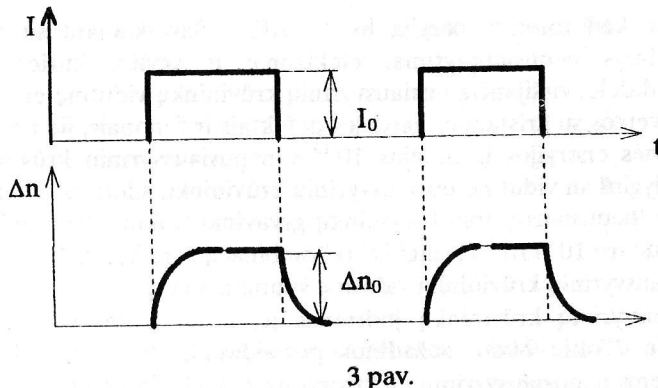
Stacionari nepusiausvyrių krūvininkų koncentracija (kai  $t \rightarrow \infty$ ):

$$\Delta n_0 = \tau \beta k I_0. \quad (3)$$

Krūvininkų koncentracijos mažėjimas nutraukus fotonų srautą aprašomas lygybe:

$$\Delta n = \tau \beta k I_0 e^{-\frac{t}{\tau}}. \quad (4)$$

3 pav. pavaizduotas nepusiausvyrių krūvininkų koncentracijos didėjimas ir mažėjimas sužadinant stačiakampiais šviesos impulsais.



Stacionari nepusiausvyrių krūvininkų koncentracija priklauso nuo fotonų srauto  $I_0$  didumo. Kai pusiausvyrinis puslaidininkio laidumas yra mažas palyginus su fotolaidumu ir jo galima nepaisyti, tai:

$$\Delta n_0 = \gamma I_0^{\frac{1}{2}}, \quad (5)$$

čia  $\gamma$  - koeficientas, priklausantis nuo puslaidininkio parametru. Priešingu atveju, kai  $\Delta n \ll n_0$ , tai:

$$\Delta n_0 = \gamma I_0. \quad (6)$$

1 pav. pavaizduota fotolaidumo kinetikos ir liuksamperinės charakteristikos matavimo principinė schema. Fotolaidumo kinetiką stebime oscilografo ekrane. Šviesos srauto stiprumą keičiame neutraliais

filtrais 3, fotosrovės didumą matuojame prietaisu 8. Kai rezistorius varža  $R_A$  daug mažesnė už fotolaidininko varžą  $r$ , tai fotolaidininko laidumo priauglis apskaičiuojamas pagal formulę:

$$\Delta \sigma = \frac{U}{UR_A}. \quad (7)$$

čia  $u$  - kintamo signalo įtampos rezistoriuje  $R_A$  didumas,  $U$  - maitinimo šaltinio 5 įtampa,  $R_A$  - rezistorius 6 varža.

### BANDYMO EIGA

- Patikriname 1 pav. pavaizduotos schemas jungimą. Ijungiamo matavimo prietaisus. Paruošiame oscilografą kintamos įtampos matavimui.
- Ijungiamo šviesos modulatoriaus maitinimą ir nustatome tokį sukimosi dažnį, kad fotosrovė pasiektų įstotinimą.
- Filtrais 3 keičiame šviesos srauto stiprumą ir oscilografo ekrane stebime kinetikos kreives. Nubraižome jas milimetriname popieriuje.
- Prie skirtingu modulatoriaus sukimosi greičių (nurodo dėstytojas) oscilografo ekrane stebime kinetikos kreives. Nubraižome jas milimetriname popieriuje.
- Voltmetru išmatuojame kintamo signalo u didumą prie skirtingu šviesos srauto stiprumų  $I_0$  ir pagal (7) lygybę apskaičiuojame  $\Delta \sigma_f$ .
- Nubraižiame liuksamperinę charakteristiką  $\Delta \sigma = f(I_0)$ .
- Suformuluojame išvadas.

### KONTROLINIAI KLAUSIMAI

- Vidinis fotoefektas puslaidininkiuose.
- Fotoefekto kitimo dėsningumai įjungiant ir nutraukiant i puslaidininkį krintantį fotonų srautą.
- Kaip priklauso stacionarios fotosrovės didumas nuo fotonų srauto didumo.

### LITERATŪRA

- [3], p. 167 - 191;  
[10], p. 52 - 65.

## LABORATORINIS DARBAS NR. 24

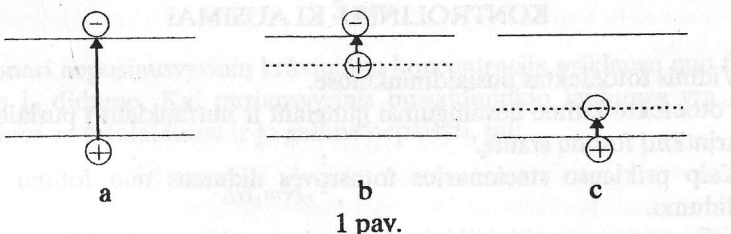
### PUSLAIDININKIO INTEGRALINIO FOTOLAIDUMO TYRIMAS

TIKSLAS: gauti fotosrovės priklausomybę nuo apšiestumo; apskaičiuoti integralinį ir specifinių fotovaržos jautrius.

PRIEMONĖS: fotovarža, srovės šaltinis, mikroampermetras, voltmetras, liniuotė, liuksmetras.

### DARBO METODIKA IR PAGRINDINĖS FORMULĖS

Elektronų sužadinimas šviesos kvantais (fotonais) iš valentinės juostos į laidumo juostą ar į priemašinius lygmenis, arba iš priemašinių lygmenų į laidumo juostą vadinamas vidiniu fotoefektu. Dėl to susidaręs papildomas elektrinis laidumas vadinamas fotolaidumu. Elektromagnetinio sužadinimo metu visą fotono energiją sugeria elektronas, todėl, skirtingai nuo šiluminio sužadinimo, kuris yra statistikinio pabūdžio ir vyksta esant bet kokiai temperatūrai  $T > 0$ , fotoninis sužadinimas vyks tik tada, kai fotono energija  $hv \geq \Delta E_{pr}$  (priemašinis fotolaidumas) ir  $hv \geq \Delta E_0$  (savasis fotolaidumas). Perteklinė fotono energija ( $hv - \Delta E$ ) pereina į laidumo juostos elektrono kinetinę energiją, kurios jis netenka susidūrimo su atomais metu. Mažiausias fotono, sukeliančio vidinį fotoefektą, dažnis vadinamas fotolaidumo raudonaja riba. Visi galimi elektronų sužadinimai pavaizduoti 1 pav.



1 pav.

a - sužadinimas iš valentinės juostos į laidumo juostą.

b - sužadinimas iš donorinių lygmenų į laidumo juostą.

c - sužadinimas iš valentinės juostos į akceptorinius lygmenis.

Integraliniu fotovaržos jautriu vadinamas dydis, skaitmeniškai lygus srovei, kuri susidaro krintant šviesos srauto vienetui statmenai fotovaržos paviršiui, sudarius tam tikrą įtampą:

$$k = \frac{i}{\Phi} \quad (1)$$

čia  $i$  - fotosrovės stipris,  $\Phi$  - į fotovaržą krintančios šviesos srautas. Jei fotovaržos plotas  $S$ , o apšiestumas  $E$ , tai  $\Phi = ES$ . Integralinį jautrį išreiškiame formule:

$$k = \frac{i}{ES} \quad (2)$$

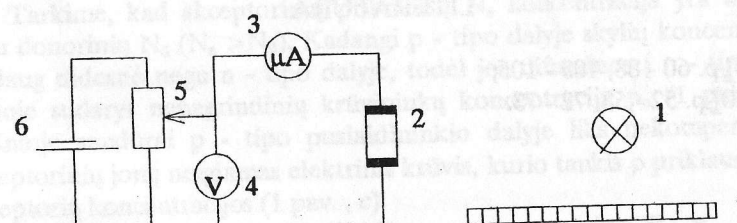
Integralinis fotovaržos jautris priklauso nuo darbinės įtampos ir šiek tiek nuo apšiestumo.

Specifiniu jautriu vadinamas integralinio jautrio ir darbinės įtampos santykis

$$\gamma = \frac{k}{U} \quad (3)$$

Eksperimento principinė schema pateikta 2 pav. Čia 1 - šviesos šaltinis, 2 - fotovarža, 3 - mikroampermetras, 4 - voltmetras, 5 - įtampos daliklis, 6 - įtampos šaltinis, 7 - liniuotė.

Matuojant fotosrovę, būtina atimti tamsinės srovės stiprių.



2 pav.

### BANDYMO EIGA

- Patikriname 2 pav. pavaizduotą elektrinę grandinę.
- Išmatuojame fotosrovės priklausomybę nuo apšiestumo. Matavimus atliekame trims fotovaržos darbinės įtampos didumams (nurodo dėstytojas). Apšiestumą keičiame, keisdami šviesos šaltinio nuotolį nuo fotovaržos.

- Prie tų atstumų, kuriems išmatavome fotosroves, liuksmetru išmatuojame apšiestumo didumus.
- Nubrėžiame fotosrovės priklausomybės nuo apšiestumo grafikus  $i = f(E)$  prie skirtinį įtampą  $U_i$ .
- Apskaičiuojame integralinės fotovaržos jautrius ir nubrėžiame priklausomybes  $k = f(E)$  prie skirtinį įtampą  $U_i$ .
- Apskaičiuojame specifinių fotovaržos jautrijų visoms trimis darbinėms įtampoms.
- Suformuluojame išvadas.

### KONTROLINIAI KLAUSIMAI

- Energijos juostos kietuosiuose kūnuose.
- Kietųjų kūnų skirstymas į laidininkus, puslaidininkius ir dielektrikus juostinės teorijos požiūriu.
- Savasis, elektroninis ir skylinis puslaidininkų laidumas. Jų aiškinimas.
- Puslaidininkų varžos priklausomybė nuo apšiestumo (vidinis fotoefektas).

### LITERATŪRA

- [3], p. 60 - 88, 103 - 105;  
[10], p. 52 - 58, 72 - 73.

## LABORATORINIS DARBAS Nr. 25

### PUSLAIDININKIO LYGINUVINIO DIODO TYRIMAS

**TIKSLAS:** išmatuoti puslaidininkio lygintuvinio diodo voltamperinę charakteristiką, apskaičiuoti lyginimo koeficientą ir nubrėžti jo priklausomybės nuo įtampos grafiką; iš voltamperinės charakteristikos ivertinti p-n sandūros kontaktinį potencialų skirtumą.

**PRIEMONĖS:** nuolatinės srovės šaltinis, sinusinių virpesių generatorius, oscilografas, mikroampermetras, miliampermetras, voltmetras, varžynai, komutatorius, puslaidininkinis lygintuvinis diodas.

### DARBO METODIKA IR PAGRINDINĖS FORMULĖS

Puslaidininkinį lygintuvinį diodą sudaro dviejų skirtinio laidumo: elektroninio (n - tipo) ir skylinio (p-tipo), puslaidininkų sandūra, vadinama  $pn$  sandūra. Ji sudaroma išterpiant į puslaidininkio plokštelių donorines ir akceptorines priemaišas, kurių pasiskirstymas turyje šuoliškai keičiasi, sudarydamas griežtą ribą tarp elektroninio ir skylinio laidumo dalių (1 pav., a).

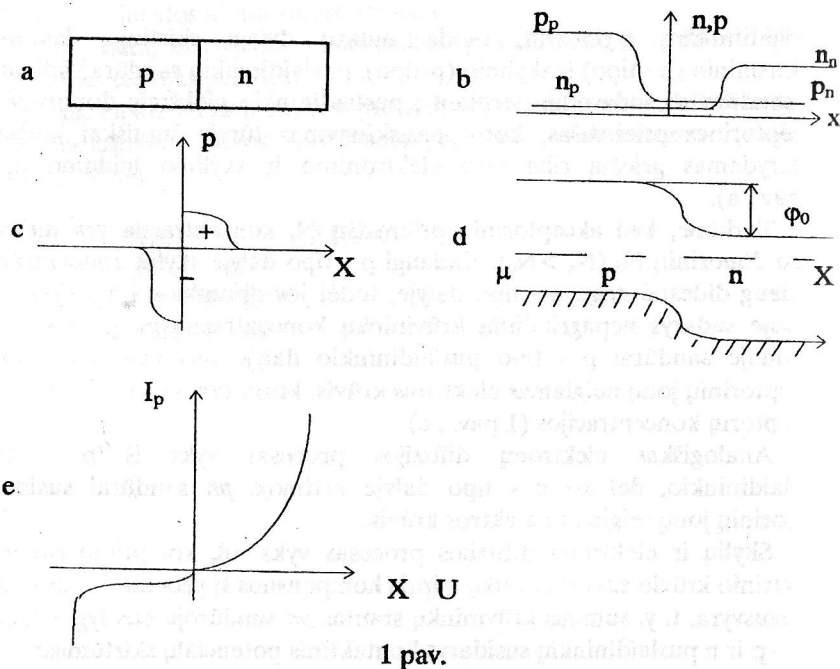
Tarkime, kad akceptorinių priemaišų  $N_a$  koncentracija yra didesnė negu donorinių  $N_d$  ( $N_a > N_d$ ). Kadangi p - tipo dalyje skylių koncentracija  $p_p$  daug didesnė negu n - tipo dalyje, todėl jos difunduos į n - tipo dalį, kurioje sudarys nepagrindinių krūvininkų koncentraciją  $p_n$  (1 pav., b). Artimoje sandūrai p - tipo puslaidininkio dalyje liks nekompensuotas akceptorinių jonų neigiamas elektrinis krūvis, kurio tankis p priklausys nuo akceptorinių koncentracijos (1 pav., c).

Analogiškas elektronų difuzijos procesas vyks iš n - tipo puslaidininkio, dėl ko n - tipo dalyje artimoje  $pn$  sandūrai susidarys donorinių jonų teigiamas elektros krūvis.

Skylių ir elektronų difuzijos procesas vyks tol, kol priemaišų jonų elektrinio krūvio sukurtas lauko stipris kompensuos šį procesą ir nusistovės pusiausvyra, t. y. suminis krūvininkų srautas  $pn$  sandūroje bus lygus nuliui. Tarp p ir n puslaidininkų susidarys kontaktinis potencialų skirtumas:

$$V_0 = \frac{kT}{e} \ln \frac{p_p n_n}{n_i^2}, \quad (1)$$

čia  $n_i$  - swojo laidumo puslaidininkio krūvininkų koncentracija. Jo salygotas potencinis barjeras  $\varphi_0 = eV_0$  ribos pagrindinių krūvininkų judėjimą  $pn$  sandūroje. Juostinis  $pn$  sandūros modelis ir potencinės energijos eiga pavaizduoti 1 pav., d.  $pn$  sandūros erdviniu krūvio, kurio tankis  $\rho$ , dalis bus nuskurdinta pagrindiniais krūvininkais, todėl jos varža didelė. Jei  $pn$  sandūrą sudarančiu puslaidininkio dalį ilgis nedidelis, tai visa išorinė įtampa  $U$ , sudaryta puslaidininkio kontaktuose, kris  $pn$  sandūroje. Kai  $U > 0$  (pliusas prie  $p$ - tipo puslaidininkio) potencinio barjero didumas mažėja, t. y.  $\varphi = \varphi_0 - eU$  ir labai padidėja pagrindinių krūvininkų srautas  $pn$  sandūroje. Taigi, didinant išorinę įtampą ( $U > 0$ ), labai didėja srovės stiprumas  $I$ . Tokia srovės tekėjimo kryptis  $pn$  sandūroje vadinama pralaidžiaja kryptimi.



Priešingai, kai  $U < 0$  (minusas prie  $p$ - tipo puslaidininkio) potencinio barjero didumas išauga ( $\varphi = \varphi_0 + eU$ ), ir srovės stiprumas  $pn$  sandūroje sumažėja. Ši srovės kryptis vadinama užtvarine. Sudarius labai didelę

įtampą užtvarine kryptimi, srovė labai staigiai didėja ir  $pn$  sandūra pramušama, t. y.  $pn$  sandūra netenka lyginimo savybių.

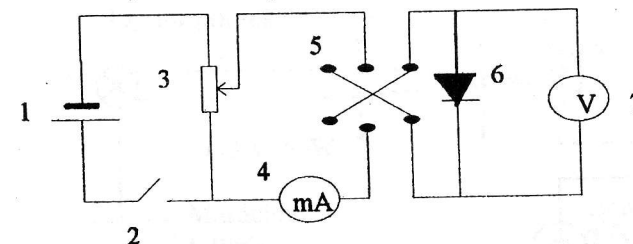
$pn$  sandūros pralaidžios ir užtvarinės krypties srovės priklausomybė nuo įtampos pateikta 1 pav., e ir aprašoma lygybe:

$$I = I_0 \left[ e^{\frac{eU}{kT}} - 1 \right], \quad (2)$$

čia  $I_0$  - užtvarinės krypties soties srovės didumas, priklausantis nuo  $pn$  sandūrą sudarančio puslaidininkio parametru.

### BANDYMO EIGA

1. Sujungiamo 2 pav. pateiktą elektros grandinę. Pralaidžiaja kryptimi srovė matuojama miliampermetru, užtvarine - mikroampermetru.



2. Įjungę jungiklį 2 poteciometru 3 keičiame įtampą, kurios didumą rodo voltmetras 7, o srovės didumą - miliampermetras arba mikroampermetras 4.
3. Išmatuojame voltamperinę ( $I = f(U)$ ) charakteristiką ir nubrėžiame grafiką.
4. Apskaičiuojame lyginimo koeficientą  $k = \frac{I_{\text{pralid.}}}{I_{\text{uztv.}}}$  prie skirtinį įtampų ir nubrėžiame grafiką  $k = f(U)$ .
5. Nubrėžiame pralaidžios krypties voltamperinę charakteristiką mastelyje  $\ln I_{\text{pral.}} = f(U)$  ir ekstrapoliavę tiesinę dalį į įtampų ašį įvertiname  $pn$  sandūros kontaktinio potencijalo  $V_0$  didumą.

6. Apskaičiuojame  $V_0$  pagal (1) lygybę ir palyginame su eksperimentu.  
 (Puslaidininkio parametrai  $p_p$ ,  $n_n$  ir  $n_i$  pateikiami prie matavimų stendo).
7. Suformuluojame išvadas.

### KONTROLINIAI KLAUSIMAI

1. Elektroninio ( $n$  - tipo) ir skylinio ( $p$  - tipo) puslaidininkų laidumo aiškinimas juostinės teorijos modeliu.
2. Dvių puslaidininkų sandūra.  $pn$  sandūra.
3. Puslaidininkio lygintuvinių diodo lyginimo mechanizmas.
4. Puslaidininkų lygintuvinių diodų tiltelis ir jo veikimo principas.

### LITERATŪRA

- [3], p.130-141, 167 - 191.  
 [5], p. 188-194.  
 [10], p.52 - 65.

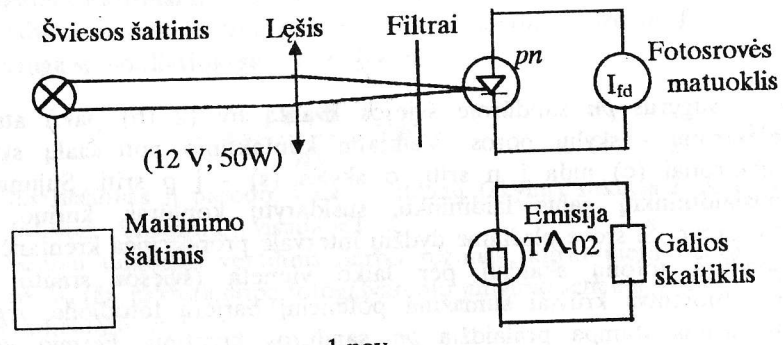
## LABORATORINIS DARBAS Nr. 26

### FOTODIODO ENERGINĖS CHARAKTERISTIKOS TYRIMAS

TIKSLAS: išmatuoti fotodioko srovės  $I_{fd}$  priklausomybę nuo krentančio į fotodiodą šviesos srauto  $\Phi$  (energiniai vienetai) 0.38 , 0.8 ir 2.2  $\mu\text{m}$  srityje ir ivertinti fotodioko kvantinį našumą  $\eta$  šiose srityse.

PRIEMONĖS: fotiodidas AK - 25 ( $pn$  - silicio pagrindas), piroelektrinis optinio spinduliavimo galios matuoklis "Emisija TΛ - 02", kaitinimo lemputė (12V, 50W), šviesos filtrų rinkinys, glaudžiantysis lėšis, maitinimo šaltinis (1 pav.).

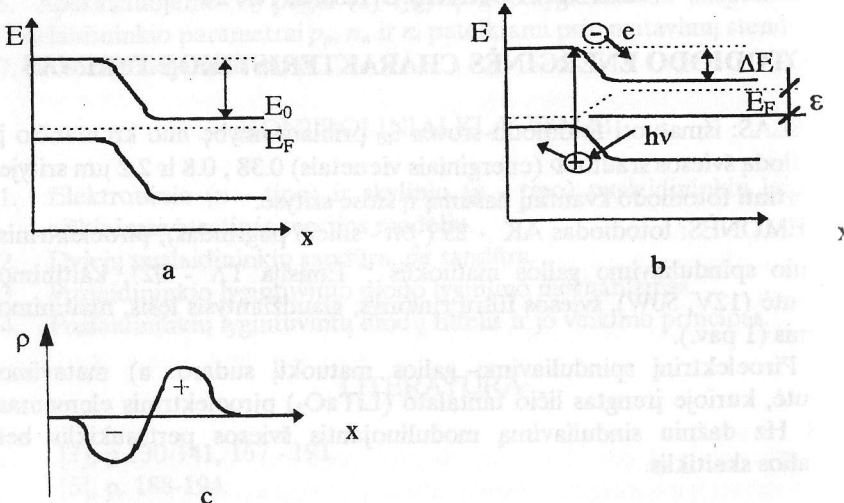
Piroelektrinį spinduliavimo galios matuoklį sudaro: a) matavimo galutė, kurioje įrengtas ličio tantalato ( $\text{LiTaO}_3$ ) piroelektrinis elementas ir 8 Hz dažniu sinduliavimą moduliuojantis šviesos pertraukiklis bei b) galios skaitiklis.



1 pav.

### DARBO METODIKA IR PAGRINDINĖS FORMULĖS

Fotiodidas yra puslaidininkinė  $pn$  sandūra, kurią apšvietus, jos gnybtuose susidaro elektrovaros jėga. Ši vidinio fotoefekto sukurta evij yra proporcinga apšviestumui (šviesos srautui).  $pn$  sandūros juostinė struktūra pateikta 2 (a, b) pav. Žemiau - (2 c pav.), erdvinio krūvio tankio  $\rho$  pasiskirstymas ties  $pn$  sandūra, kol sandūroje vyksta difuzija (skylių s iš p srities ir elektronų e iš n srities) ir nusistovi kontaktinis potencialų skirtumas.

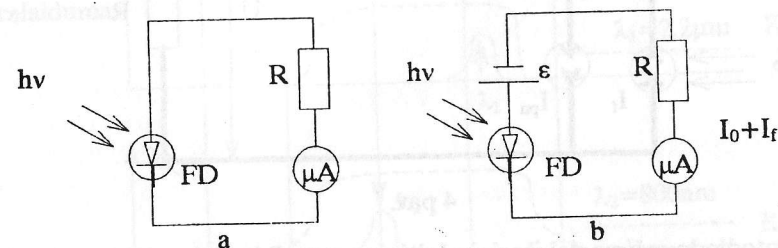


2 pav.

Sugėrus  $pn$  sandūroje šviesos kvantą  $h\nu$  (2 (b) pav.) atsiranda elektronų - skylių poros. Veikiami kontaktinio potencialų skirtumo elektronai (e) juda į n sritį, o skylių (s) - į p sritį. Sujungus šiu puslaidininkų galus laidininku, susidarytų kontūras, kuriuo tekėtų fotosrovė. Ši srovė platiame dydžių intervale proporcinga krentančių į  $pn$  sandūrą fotonų skaičiui per laiko vienetą (šviesos srautui  $\Phi$ ). Dreifuojantys krūviai sumažina potencinių barjerų fotodiode, lyg būtų sudaroma įtampa pralaidžia  $pn$  sandūros kryptimi, Fermio energija abiejose sandūros pusėse ima nesutapti, skylių įelektrina p sritį teigiamai n srities atžvilgiu, o elektronai - n sritį neigiamai p srities atžvilgiu. Atsiradęs dėl šviesos energijos potencialų skirtumas sandūroje  $\epsilon$  vadintamas fotoelektrovaros jėga. Ji mažina pradinį kontaktinį potencialų skirtumą bei potencinių barjerą  $E_0$  į  $\Delta E$ .

Aptartas  $pn$  sandūros darbo režimas vadinamas ventiliiniu arba fotoelemento režimu, jo realizavimui nereikalingas išorinis elektros šaltinis. Tokie prietaisai sudaro Saulės baterijas, kurios paverčia šviesos energiją elektros energija (3(a) pav.). Prietaisais gali dirbti ir fotodiodo režimu, kai puslaidininkje sudaroma (3(b) pav.) išorinė įtampa ( $\epsilon < 0$ ) užtvarine kryptimi, kuri padidina potencinių barjerą (teigiamas polius

jungiamas prie n dalies, o neigiamas - prie p dalies). Sandūros sritis nuskurdinama, t.y., joje sumažėja krūvininkų, todėl jos varža išauga. Prietaisu teka maža atgalinė įsotinimo srovė  $I_0$ .



3 pav.

Apšvietus fotodiodą tinkamo bangos ilgio fotonais sandūroje išlaisvinami elektronai ir skylių, kurie, veikiami erdvinio krūvio lauko, juda per sandūrą, o prie įsotinimo srovės  $I_0$  prisideda fotosrovė  $I_f$ , kuri proporcinga spinduliuavimo srautui  $\Phi$  (galiai):

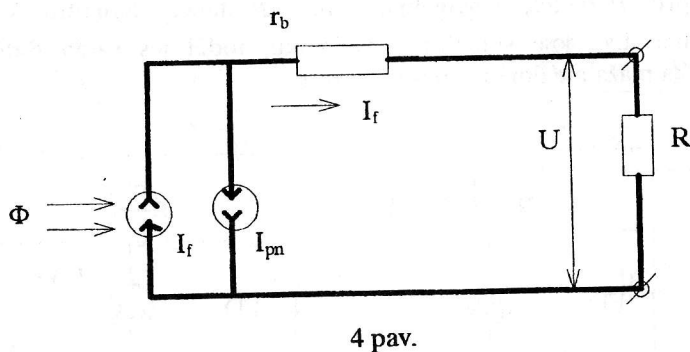
$$I_f = -\frac{e\eta\Phi}{h\nu} = f(\Phi). \quad (1)$$

Kvantinis našumas  $\eta$  parodo, kiek elektronų (skylių) sukuria sandūroje vienas fotonas. Akivaizdu,  $\eta$  visada  $< 1$ .

Dažniau taikomas ventiliinis darbo režimas, kurio metu atsiradusi fotosrovė  $I_{fd}$  (žr. ekvivalentinę fotogalvaninio jungimo schemą 4 pav.) gali būti apskaičiuota taip:

$$I_{fd} = \frac{U}{R} = I_f - I_{pn} = I_f(\Phi) - I_0 \left( e^{\frac{eU}{kT}} - 1 \right). \quad (2)$$

Čia  $I_f$  - fotosrovė, surukta fotodiode,  $r_b$  - fotoelemento vidinė varža,  $R$  - apkrovos (matavimo prietaiso) varža,  $I_{pn}$  -  $pn$  sandūros srovė,  $U$  - įtampa, susidariusi fotodiido gnybtuose apšvietus jį šviesa,  $I_0$  - atgalinė šiluminė įsotinimo srovė. Narys  $I_0(e^{\frac{eU}{kT}} - 1)$  yra  $pn$  sandūros voltamperinės charakteristikos analitinė išraiška.



Fotodiido režime dėl išorinio šaltinio ε poveikio išaugus  $pn$  sandūroje potenciniams barjerui, srovė  $I_{pn} \approx I_0$ , kuri teka ir be šaltinio. Apšvietus fotodiodą

$$I_{fd} = I_f - I_{pn} = I_f + I_0 \approx I_f \quad (3)$$

Piroelektrikas išyla nuo krintančio į jį spinduliavimo ir jo pradinę polarizaciją pakinta ( $P_i = p_i \Delta T$ ). Polarizacijos pakitimai lemia įtampos piroelektriko grandinėje pakitus, pagal kuriuos ir įvertinama spinduliavimo galia  $\Phi$ . Registracijos bloko priekinėje sieneleje įmontuotas spinduliavimo srautą (galią) apskaičiuojame srovės  $i_p$  matavimo prietaisais (0 - 100  $\mu\text{A}$ ) ir diapazonų keitimo mygtukai, padidinantys prietaiso parodymų vertę 10, 100 arba (nuspaudus papildomai "X3") 3, 30 ir 300 kartų. Spinduliavimo srautą (galią) apskaičiuojame srovę  $I_{fd}$  padalinę iš daugiklio  $k = \dots$  (A/W), t. y.,

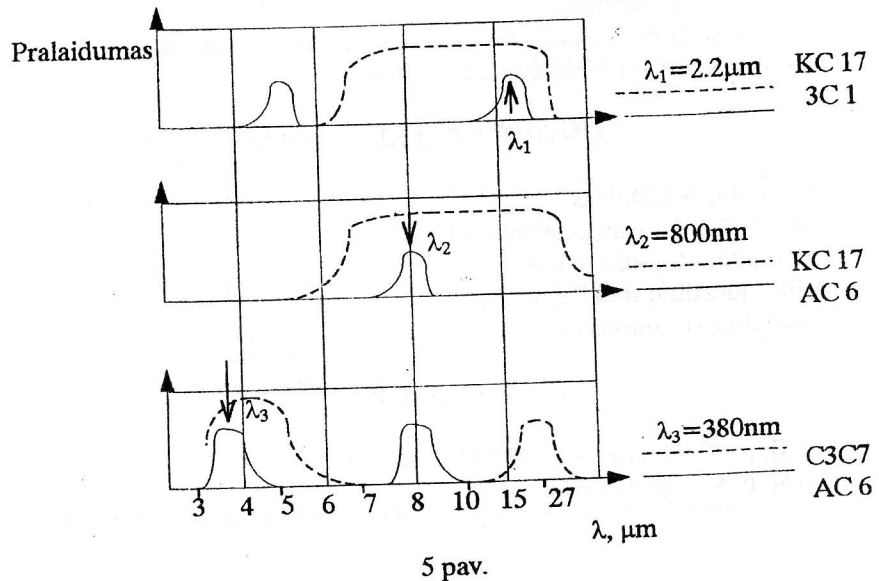
$$\Phi = \frac{I_{fd}}{k} \quad (4)$$

Visų kritusių į piroelektriką ar fotodiodą fotonų skaičių  $N$  įvertiname jų energijos srautą  $\Phi$  padalinę iš vidutinės kvanto energijos  $h\nu = \frac{hc}{\lambda}$  ( $c \approx 3 \cdot 10^8$  m/s - šviesos greitis):

$$N = \frac{\Phi}{h\nu} = \frac{\Phi\lambda}{hc} \quad (h = 6.63 \cdot 10^{-34} \text{ J.s}) \quad (5)$$

Spinduliavimo kvantų energiją galima pakeisti filtrais. 5 pav. pateikti optinio pralaidumo spektrai keturiems filtrams: 3C 1 (žalias), AC 6 (violetinis), KC 17 (tamsiai raudonas) ir C3C7 (mėlynas), kuriuos komponuodami galime išskirti iš kaitinamos lemputės spinduliavimo

ištisinio spektro vieną ar kitą sritį. Neutralūs (juodi) filtri praleidžia šviesos spinduliavimo dalį (~ 22%, 10% ir pan.) nekeisdami jo spektrinės sudėties.



Srovę  $I$ , tekančią fotodiodu, užregistruoja mikramperometras, įmontuotas į fotodetektorius laikiklio korpusą. Fotoelektronų (ir fotoskylių) generuojamų kickvieną sekundę "naudingai"  $pn$  sandūroje skaičių  $N_e$  įvertiname srovę  $I$  padalinę iš elektrono krūvio  $e$  ( $1.6 \cdot 10^{-19} \text{ C}$ ):

$$N_e = \frac{I}{e} \quad (6)$$

Santykis  $\eta = \frac{N_e}{N}$  yra fotoefekto  $pn$  sandūroje kvantinis efektyvumas.

#### BANDYMO EIGA

1. Prijungiamo matavimo prietaisus prie maitinimo šaltinių.
2. Prieš piroelektrinį (matuoja  $N$ ) ir fotoelektrinį (matuoja  $N_e$ ) detektorius pastatydami po du filtrus paeiliui AC 6 ir C 3C 7, KC 17 ir AC 6, KC 17 ir 3C 1 išmatuojame spinduliavimo galią atspindinčią srovę  $i_p$  ir fotodiodo srovę  $I$  380 nm, 800 nm ir 2.2  $\mu\text{m}$  srityse.

3. Įvertiname spinduliavimo galią (4), fotonų skaičių N (5), elektronų skaičių  $N_e$  (6) ir kvantinį efektyvumą η.
4. Neutraliai filtrais keisdami šviesos intensyvumą (du ar tris kartus) pakartojame 2 ir 3 užduotis.
5. Suformuluojame išvadas apie kvantinio efektyvumo priklausomybę nuo šviesos intensyvumo įvairiose spektro srityse.

### KONTROLINIAI KLAUSIMAI

1.  $pn$  sandūros laidumas.
2.  $pn$  sandūra fotogalvaniniame režime.
3.  $pn$  sandūra fotodiodo režime.
4. Filtru juostinių spektrų prigimtis.
5. Fotodiodo kvantinis efektyvumas.

### LITERATŪRA

- [14], p. 77-80, 123-132, 147-153, 155-162.  
[15], p. 81-103, 128-144.

## LABORATORINIS DARBAS Nr. 27

### ŠVIESOS DIODŲ SPINDULIAVIMO TYRIMAS

**TIKSLAS:** išmatuoti šviesos diodo spektrinę charakteristiką - spinduliuojamos šviesos intensyvumo I (santykiai vienetais) priklausomybę nuo bangos ilgio ir įvertinti puslaidininkio draudžiamųjų energijų juostos plotį  $E_g$ .

**PRIEMONĖS:** šviesos diodas, monochromatorius, fotodetektorius, maitinimo šaltiniai.

### DARBO METODIKA IR PAGRINDINĖS FORMULĖS

$pn$  sandūra susidaro sąlytyje  $n$  tipo puslaidininkio dalies, kurioje pusiausvyrinė elektronų koncentracija yra

$$n = N_c \exp - \frac{E_c - E_F}{kT} \quad (1)$$

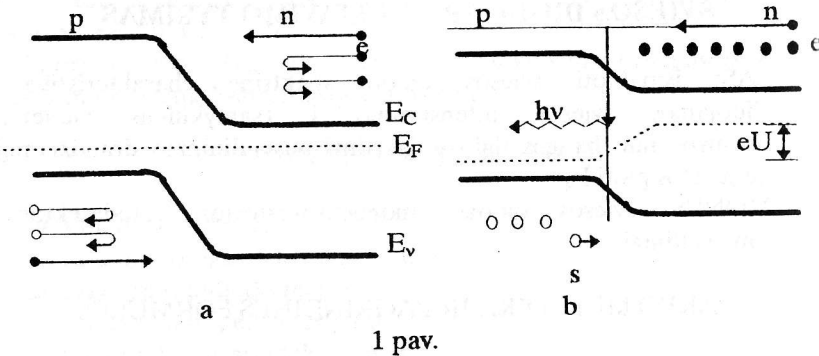
su  $p$  tipo puslaidininkio dalimi, kurioje skylių koncentracija yra

$$p = N_v \exp - \frac{E_v - E_F}{kT} \quad (2)$$

Čia  $N_c$  ir  $N_v$  yra susiję su donorų ir akceptorų parametrais,  $E_F$  - Fermio energija arba elektromechaninis potencialas, t.y. darbas, kuris atliekamas sistemoje dalelių skaičių pakeičiant vienetu, esant pastovai temperatūrai.

Savojo laidumo puslaidininkyje  $n=p$  ir kai  $\frac{N_v}{N_c} = 1$  (žr. 1 ir 2 formules), Fermio lygmuo yra draudžiamųjų energijų tarpo viduryje. Todėl supaprastintai galime manyti, kad  $E_F$  yra vidutinė vieno krūvininko energija. Akivaizdu, kad  $n$  puslaidininkyje, kur  $n > > p$  ši energija artimesnė elektronų energijai, t.y.  $E_F$  priartėja prie  $E_c$ , o  $p$  puslaidininkyje  $E_F$  yra arčiau valentinės juostos viršunės. Sudarius  $pn$  sandūrą (1 pav., a) vidutinė krūvininkų energija visame puslaidininkyje yra vienoda: Fermio lygmuo abiejose sandūros pusėse yra viename aukštyje, todėl elektronų ir skylių žemiausi lygmenys  $p$  ir  $n$  dalyse nesutampa. Taip susidaro potenciniis barjeras to paties ženklo krūvininkams perineant iš vienos sandūros pusės į kitą. Jei sandūroje sudaroma įtampa U, ji pakeičia Fermio lygmens padėti skirtingose sandūros pusėse ir potencinius barjeras sumažėja dydžiu eU (e-

elektrono krūvis), kai įtampa prijungta pralaidžia kryptimi (1 pav., b), arba padidėja (atgaline kryptimi).



Judant krūvininkams pralaidžia kryptimi sandūroje gali įvykti elektronų rekombinacijos (susijungimo su skylėmis) procesas, išspinduliuojant maždaug draudžiamą energiją juostos  $E_g = E_C - E_V$  dydžio šviesos kvantą ( $\frac{hc}{\lambda}$ ). Taip atsitinka šviesos dioduose arba puslaidininkiuose lazeriuose.

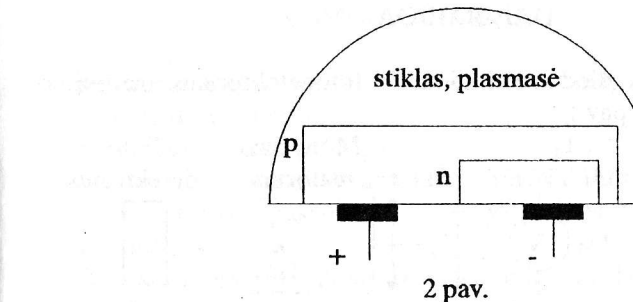
Šviesos diodų spinduliavimas vyksta spontaniškai ir yra nekoherentiškas, o lazerių - priverstinai ir yra koherentiškas, nors elektronų ir skylių energijų transformavimo į fotonus mechanizmai yra panašūs.

Elektronas, rekombinuodamas su skyle, peršoka iš laidumo juostos į valentinę ir išspinduliuoja kvantą

$$h\nu = E_g. \quad (3)$$

$h$  yra Planko konstanta lygi  $6,63 \cdot 10^{-34}$  J·s.

Spinduliavimas atsiranda, kaip taisyklė, sandūroje arčiau  $p$  srities, kurioje akceptorų (skyles sudarančiu  $p$  puslaidinikyje priemaišų) įvedama mažiau, nei yra donorų (elektronus teikiančių srčiai priemaišų). Dažnai rekombinacijos aktas vyksta per draustinės energijos juostoje esančius centrus. Šio akto metu šviesa neišspinduliuojama, o elektrono energija virsta šilumine gardelės energija. Tai mažina rekombinacijos efektyvumą. Naudinga srovės komponentė per  $pn$  sandūrą, kuri lemia spindulinę rekombinaciją, yra elektronų srovė  $I_n$  iš  $n$ -emiterio į  $p$ -bazę. Spinduliavimo srovės komponentės:  $I_t$ , kurią sudaro skylių judėjimas iš  $p$  srities į  $n$  sritį,  $I_t$ , kurią sudaro tunelinė srovė dėl krūvininkų prasiskverbimo pro barjerą,



be rekombinacijos proceso,  $I_{np}$  - nuotėkio per paviršių srovė ir  $I_r$  - nespindulinės rekombinacijos srovė.

Dėl pastarųjų srovų injekcijos efektyvumas, kuris charakterizuojamas koeficientu  $\gamma$ , rodančiu, kurią dalį visos srovės  $I$  per  $p-n$  sandūrą sudaro elektronų srovė  $I_n$ , yra nedidelis:

$$\gamma = \frac{I_n}{I} = \frac{I_n}{I_n + I_t + I_{np} + I_r}. \quad (4)$$

Kiekybinė spindulinės rekombinacijos efektyvumo charakteristika yra vidinis kvantinis našumas  $\eta_c$ , kuris parodo, kurią rekombinacijos aktų dalį sudaro spinduliniai aktai. Ši efektyvumą galima nurodyti ir išspinduliuotų fotonų skaičiaus ir injektuotų į  $pn$  sandūrą elektronų skaičiaus santykui. Dar viena priežastis mažina diodo kokybę: tai puslaidininkio gilumoje atsiradusių fotonų sugėrimas, išlekiant jiems į paviršių ir atspindys (dažnai visiškas) nuo puslaidininkio paviršiaus. Šią priežastį charakterizuojame

koeficientu  $\eta_{opt} = \frac{P_s}{P_G}$ . Čia  $P_s$  - spinduliavimo išorėje galia,  $P_G$  - spinduliavimo  $pn$  sandūroje (puslaidininkje) galia.

Visus faktorius, įtakojančius šviesos diodo efektyvumą apibendrina išorinis kvantinis našumas  $\eta$ :

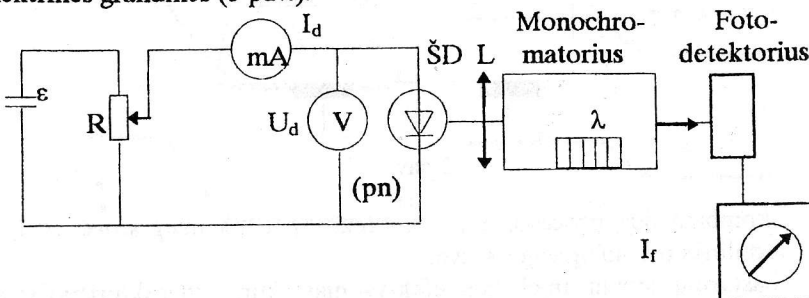
$$\eta = \gamma \eta_c \eta_{opt}. \quad (5)$$

Kadangi vidinis kvantinis našumas priklauso nuo pralaidžios srovės tankio  $j$ , tai ir išorinis kvantinis našumas  $\eta$  priklauso nuo diodo darbo režimo. Šviesos diodui žinynuose nurodomos optimaliausios darbo sąlygos, kai šviesos diodas ryškiai šviečia esant mažiausiomis energijos sąnaudomis.

Šviesos diodai vartoja įvairiose indikacijos sistemose, informacijos perdavimui šviesolaidinėse ryšių linijose, informacijos perskaitymo ir signalizacijos grandinėse.

## DARBO EIGA

1. Sujungame šviesos diodo maitinimo ir fotodetektoriaus maitinimo elektrines grandines (3 pav.).



3 pav.

- Keisdami reostatu (potenciometru) R įtampą  $pn$  sandūros gnybtuose išmatuojame šviesos diodo voltamperinę charakteristiką  $I_d=f(U_d)$ , įtampą  $U_d$  matuojame voltmetru, o srovės stiprių  $I_d$  - miliampermetru. Ženklus srovės stiprio augimas įvyksta, kai įtampa pralaidžia kryptimi mažai skiriasi nuo  $pn$  sandūros potencinio barjero (vengdami perkaitinti diodą srovės nedidiname daugiau nei iki 25 mA).
- Nubrėžiame grafiką,  $I_d=f(U_d)$ , įvertiname įtampą  $U_0$ , ties kuria prasideda rekombinacija ir potencinio barjero sumažėjimą  $eU_0$ .
- Sufokusuojaame šviesos diodo spinduliuojamą šviesą, kai teka  $I \approx 15 \text{ mA}$  srovė į monochromatoriaus plūsi, parenkame registruojančio fotoelemento diafragmą ir stiprinimą taip, kad keičiant monochromatoriaus bangos ilgi (sukant būgną  $\lambda$ ) registruojančio prietaiso rodyklės atsilenkimai neviršytų skalės ribų.
- Išmatuojame fotoelemento srovės  $I_f$  priklausomybę nuo bangos ilgio  $\lambda$ . Nubrėžiame spektrą  $I_f=f(\lambda)$ .
- Pagal gautą spektrinę charakteristiką  $I_f=f(\lambda)$  nustatome bangos  $\lambda_0$  ilgi, kuriuo vyksta intensyviausias spinduliuavimas. Įvertiname dažnį  $v_0$  šviesos bangos, kurią daugiausiai spinduliuoja diodas. Kreivės  $I=f(\lambda)$  maksimumą atitinkantis  $\lambda_{\max}$  gali būti sutapatintas su puslaidininkio draudžiamų energijų juostos pločiu  $E_g$ .
- Apskaičiuojame optimiu būdu (1 f-lė) gautą  $E_g$  vertę ir palyginame su elektrinių matavimų rezultatu  $eU_0$ .
- Suformuluojame išvadas.

## KONTROLINIAI KLAUSIMAI

- pn* sandūros elektrinės charakteristikos ir energinės diagrammos atgaline ir pralaidžia kryptimi.
- pn* sandūros darbo principai.
- Šviesos diodo išorinio kvantinio našumo supratimas.
- Fermio lygmuo puslaidininkiuose, jo padėtis juostinėje diagramoje ir prasmė.
- Kuo skiriasi šviesos diodo ir puslaidininkinio lazerio spinduliuavimas ir mechanizmai ?

## LITERATŪRA

[14], p. 77-80, 123-132, 155-162.

[15], p. 87-103, 128-144.

[16], p. 221-227.

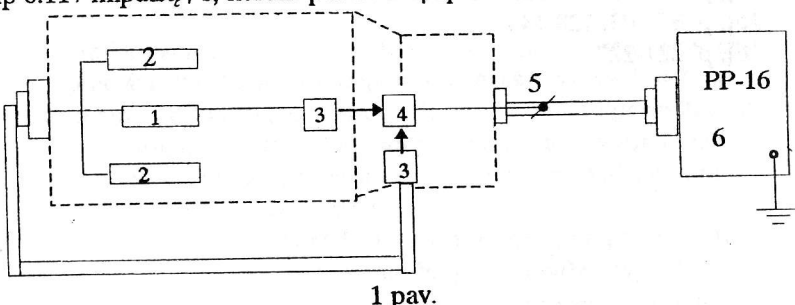
## LABORATORINIS DARBAS Nr. 28

### RADIOAKTYVIOJO $\beta$ SPINDULIAVIMO ŠALTINIO AKTYVUMO TYRIMAS

DARBO TIKSLAS: nustatyti radioaktyviojo  $\beta$  spinduliuavimo šaltinio aktyvumą.

PRIEMONĖS: prietaisas IMF-15V0, sukuriantis silpną savajį spinduliuavimo foną, įimpulu skaičiavimo įrenginys PP-16,  $\beta$  spinduliu šaltinis, sekundometras.

Įrenginys MF-15V0M su perskaiciavimo prietaisu PP-16 skirtas matuoti  $\beta$  šaltinio radioaktyvumui. Savasis prietaiso fonas - ne didesnis kaip 0.117 impulsų / s, nesant pašalinio  $\gamma$  spinduliuavimo.



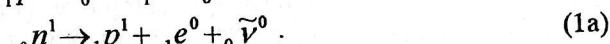
Silpnojo fono įrenginj (1 pav.) sudaro apsauginis cilindras kuriamo yra įtaisyti spinduliuavimo detektorius 1, cilindrinių blokų detektoriai 2, trigeris 3, antisutapimų kaskadas 4. Apsauginis cilindras sudarytas iš judamosios ir nejudamosios dalių.

#### DARBO METODIKA IR PAGRINDINĖS FORMULĖS

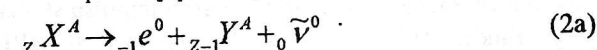
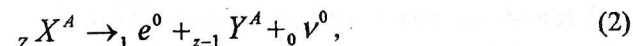
Pastebėta, kad nestabilių medžiagų izotopai skleidžia trijų tipų radioaktyviuosius spindulius, vadinamus  $\alpha$ ,  $\beta$  ir  $\gamma$  spinduliais.  $\alpha$  spinduliuavimas vyksta tada, kai dėl vidinių procesų branduoliuose iš jų išlekia keturių elementariųjų dalelių - dviejų protonų ir dviejų neutronų sankaupa. Taigi  $\alpha$  dalelių struktūra atitinka du kartus jonizuotą helio atomą arba branduolių  ${}_{2}He^4$ .

$\beta$  spinduliuavimas vyksta tada, kai dėl vidinių branduolio kitimų išlekia dviejų tipų elementariosios dalelės: elektronai ( ${}_{-1}e^0$ ) arba pozitronai

( ${}_{+1}e^0$ ). Šios dalelės išmetamos tada, kai įvyksta pasikeitimas tarp nukleonų pagal dėsnius:



Taigi, įvykus  $\beta$  spinduliuavimui ir susidarius elektronams ( ${}_{-1}e^0$ ), cheminis elementas pasislenka periodinėje elementų sistemoje per vieną skaičių iš didesnio Z (čia Z - elemento eilės numeris) pusę, o susidarius pozitronui ( ${}_{+1}e^0$ ) - i mažesnio Z pusę. Elemento poslinkio dėsniai užrašomi taip:



Elektrinio krūvio, energijos ir impulso tvermės dėsniai reikalauja, kad skilimo metu susidarytu dar vieno tipo elementariosios dalelės. Pastarosios vadinamos neutrinu ( ${}_0\nu^0$ ) arba antineutrinu ( ${}_0\tilde{\nu}^0$ ).

$\gamma$  spinduliuavimas tai labai trumpos elektromagnetinės bangos, kurias skleidžia sužadinti branduoliai.

Radioaktyviųjų medžiagų skilimo intensyvumą charakterizuoja jo spinduliuavimo aktyvumas A, lygus branduolių skilimo greičiui:

$$A = \frac{dN}{dt}. \quad (3)$$

Radioaktyvaus skilimo dėsnis:

$$N = N_0 e^{-\lambda t}, \quad (4)$$

čia N-nesuskilusių branduolių skaičius laiko momentu t. Iš dėsnio plaukia, kad aktyvumas

$$A = N\lambda. \quad (5)$$

Čia  $\lambda$  - radioaktyviojo skilimo pastovioji, rodanti santykinį skylyančių branduolių skaičiaus sumažėjimą per laiko vienetą. Pastovioji  $\lambda$  susieta su skilimo pusamžiu T lygybe

$$\lambda = \frac{\ln 2}{T}, \quad (6)$$

todėl šaltinio aktyvumą galima išreikšti ir taip:

$$A = N \cdot \frac{\ln 2}{T} \quad (7)$$

Šaltinio spinduliaivimo aktyvumas matuojamas bekereliais ( Bk ). Vienas bekerelis - tai toks radioaktyviojo izotopo aktyvumas, kai per vieną sekundę įvyksta vienas skilimas. Nesisteminis aktyvumo vienetas yra Kiuris ( Ci ).  $1\text{Bk}=2,27 \cdot 10^{11}\text{Ci}$ .

### BANDYMO EIGA

- Įjungti impulsų perskaiciavimo prietaisą PP-16 ir palaukti ~30 minučių. Po to patikrinti detektoriaus veikimą.
- Uždaryti cilindrą ( be radioaktyvaus šaltinio ). Išmatuoti įrenginio savojo fono sąlygojamo spinduliaivimo impulsų skaičių  $n_f$  per 20 minučių.
- I cilindro viduje esančią išpjovą įdėti  $\beta$  šaltinį ( $^{38}\text{Sr}^{90} + ^{39}\text{Y}^{90}$ ) ir išmatuoti impulsų skaičių  $n_1$  per 20 minučių. Apskaičiuoti impulsų skaičių  $n_f$  ir  $n_1$  vienai sekundei.  $\beta$  šaltinio sukelтū impulsų skaičius vienai sekundei:

$$n = n_1 - n_f \quad (8)$$

Nustatant  $\beta$  šaltinio spinduliaivimo aktyvumą, reikia atsižvelgti į tai, kad įrenginyje matuojame  $\beta$  šaltinio spinduliuojamas daleles į  $1,425\pi$  kampą. Pilnaji šaltinio aktyvumą apskaičiuosime nustatę spinduliuojamų dalelių į erdvinį  $4\pi$  kampą skaičių.

- Įvertiname paklaidas ir suformuluojame išvadas.

### KONTROLINIAI KLAUSIMAI

- Atomų branduolių sandara ir pagrindinės charakteristikos.
- Radioaktyvusis spinduliaivimas ir jo rūšys.
- Radioaktyviojo skilimo dėsniai. Skilimo pastovioji, pusamžinis, aktyvumas.
- $\beta$  spindulių prigimtis ir pagrindinės savybės.
- Branduolių masės ir krūvio poslinkio dėsniai  $\beta$  skilimo atveju.
- Eksperimentiniai radioaktyviųjų dalelių registravimo metodai.

### LITERATŪRA

- [2], p. 135 - 140.
- [3], p. 449 - 454, 474 - 479.
- [10], p. 76 - 84, 90 - 93.

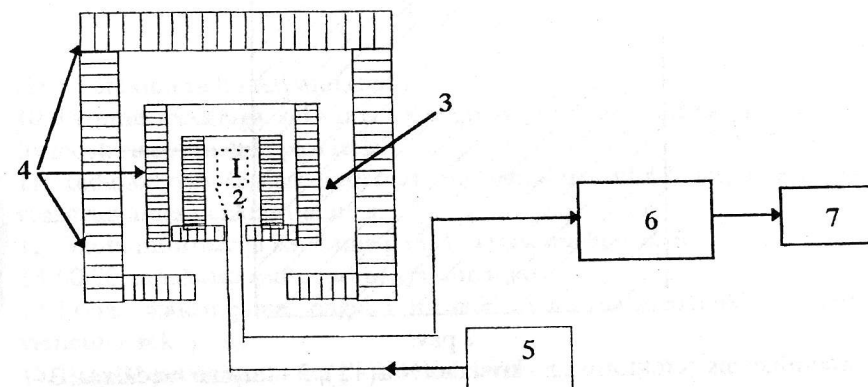
## LABORATORINIS DARBAS Nr. 29

### MEDŽIAGOS RADIOAKTYVUMO IR $\gamma$ SPINDULIU SILPNĖJIMO KOEFICIENTO METALUOSE NUSTATYMAS GAMA - SPEKTROMETRU

DARBO TIKSLAS: Nustatyti izotopo radioaktyvumą ir išmatuoti gama-spinduliu silpnėjimo koeficientą įvairiems metalams.

PRIEMONĖS: Gama-spektometras, radioaktyvus šaltinis, mikrometras, tarpinė medžiaga, metalinės plokštélės, sekundometras.

Gama - spektometro blokinė schema iliustruojama 1 paveiksle. Gama kvantai patekė į detektoriaus scintiliacinį kristalą NaI(Tl) formuoja šviesos bliksnį.



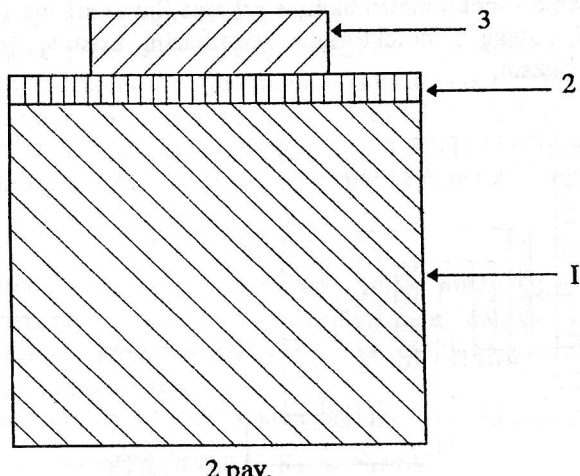
1 pav.

Gama - spektometro blokinė schema. I - kristalas NaI(Tl), 2 - fotoelektroninis daugintuvas, 3 - švininis namelis, 4 - pasyvioji apsauga ( švino plokštélės ), 5 - aukštos įtampos stabilizatorius, 6 - impulsų analizatorius, 7 - skaičių spausdinimo įrenginys.

Fotoelektroninis daugintuvas ( FED-56 arba FED-96 ) stiprina šviesos signalus ir siunčia juos į analizatorių AI-128-2, kuriamo jie skirstomi pagal kanalus ryšium su signalų intensyvumais. Ši informacija išvedama į skaičių spausdinimo bloką BZ-15M.

Gama - radioaktyvių medžiagų matavimo metu didelę paklaidą galutiniams rezultatui sudaro įrenginio fonas, kurį formuoja dirvožemio ir atmosferos radioaktyvumas, kosminis spinduliaivimas, detektoriaus ir jo apsaugos radioaktyvus užterštumas. Todėl, skaičiuojant medžiagos radioaktyvumo absolutinį didumą būtina ivertinti gama-spektometro foną.

Tiriamoji medžiaga dedama ant kristalo paviršiaus. Kad neužterštų detektoriaus tarp nagrinėjamos medžiagos ir kristalo dedama tarpinė medžiaga, kuri praktiskai neveikia į gama - spindulių absorbciją. Tiriamoji medžiaga ir jos geometrinė forma turi atitinkti etaloną ir 2 pav. turi būti vienodame atstume nuo kristalo paviršiaus.



2 pav.

Scintiliacinis detektorius: I - kristalas NaI(Tl), 2 - tarpinė medžiaga, 3 - matuojamasis bandinys su indeliu.

#### DARBO EIGA

- Aparatūra graduojama pagal radionuklido  $^{137}\text{Cs}$  etaloną. Etalonas dedamas ant tarpinės medžiagos, registruojamas jo gama - spektras, kuris stebimas ekrane. Fotoatsako maksimumo padėtis ekrane reguliuojama jungikliu "SILPNĖJIMAS" arba aukštostas įtampos regulatoriumi ir fiksuojamas 65-ajame kanale. Penkias minutes renkamas etalonų spektras; gauta informacija išvedama į SSĮ ir užrašoma juosteje.
- Etalonas nuimamas nuo kristalo.
- Penkias minutes renkamas gama - spektro fonas.

- Gauta informacija užrašoma bloke SSĮ.
- Nežinomo radioaktyvumo šaltinis dedamas ant kristalo tarpinės medžiagos: jo spektras renkamas penkias minutes.
- Nežinomo radioaktyvumo šaltinio gauta informacija užrašoma SSĮ juostelėje.

7. 60 - 70-ajame kanaluose etalonų ir nežinomo radioaktyvumo šaltinio skaitmeninės reikšmės sumuoja; iš abieju sumų atskaitomos fono reikšmės pagal formulę:

$$N = N_0 - N_F, \quad (1)$$

čia  $N_0$  - šaltinio impulsų skaičius,  $N_F$  - fono impulsų skaičius.

- Gauti rezultatai perskaičiuojami laiko vienetui (1 sek.).
- Jei etalonas duoda  $N$  imp/s, o nežinomo radioaktyvumo šaltinis  $n$  imp/s, tai pastarojo radioaktyvumas skaičiuojamas formulė:

$$\alpha = \frac{n}{N} \cdot b, \quad (2)$$

čia  $b$  - etalonų radioaktyvumas, Bq.

- Tarpinė medžiaga keičiama vienodo storio ir tos pačios geometrinės formos tiriamo metalo plokštelių.
- Radioaktyvus šaltinis dedamas ant metalinės plokštelių, o spektras registruojamas penkias minutes.
- Gauta informacija išvedama į SSĮ ir užrašoma juostelėje.
- 60-70 kanaluose gauti duomenys sumuoja.
- Fonas skaičiuojamas pagal 1 formulę, o rezultatas pateikiamas laiko vienetui (sek.) -  $n_s$ .
- Išmatuojamas metalinės plokštelių storis -  $x$ .
- Gautus rezultatus išvedame į formulę:

$$\mu = \frac{1}{x} \cdot \ln \frac{n_s}{n} \cdot (m^{-1}), \quad (3)$$

čia  $n_s$  - silpnėjimo koeficientas.

- Skaičiuojamas masinis absorbcijos koeficientas:

$$Q = \frac{\mu}{\rho} \quad (m^2 / kg), \quad (4)$$

čia  $\rho$  - medžiagos tankis.

18. Gautas rezultatas Q palyginamas su lentelės duomenimis, jei šaltinio kvantų energija 0,66 MeV.

1 lentelė. Įvairių metalų masiniai absorbcijos koeficientai Q,  $\text{m}^2/\text{kg}$ .

Kvanto energija, MeV	Metalas			
	Aliuminius	Geležis	Varis	Švinas
0,66	0,0078	0,0077	0,0076	0,0119

19. Suformuluojame išvadas.

#### KONTROLINIAI KLAUSIMAI

1.  $\gamma$  spindulių prigimtis ir savybės.
2.  $\gamma$  spindulių, praeinančiu pro medžiagas, silpnėjimo dėsningumai.
3. Kosminio radioaktyviojo spinduliavimo fonas ir jo prigimtis.

#### LITERATŪRA

[4], p. 449-479.

#### LABORATORINIS DARBAS Nr. 30

#### DUJINIS LAZERIS IR KAI KURIŲ JO PARAMETRŲ MATAVIMAS

TIKSLAS: Susipažinti su pagrindiniais dujinio helio-neono lazerio veikimo principais ir: a) su lazerio spindulio bangos ilgio, b) polarizacijos laipsnio ir c) erdvinių koherentiškumo nustatymu bei atstumo tarp Jungo plyšių matavimais.

PRIEMONĖS: Helio-neono dujų lazeris, difrakcinė gardelė, ekranas, liniuotė ir poliaroidas ( polarizacinė prizmė ). Lazeris ir tyrimo priemonės išdėstomos ant optinio suolo.

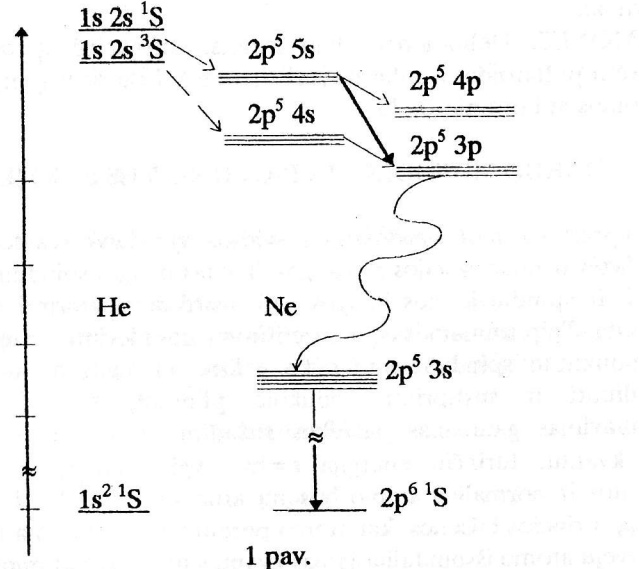
#### DARBO METODIKA IR PAGRINDINĖS FORMULĖS

Paprastasis monochromatinės šviesos spindulys susideda iš bangų, kurių fazės ir polarizacijos skirtingos. Tokias bangas spinduliuoja skirtingi atomai, ir spindulyje šios bangos gali atsitiktinai stiiprinti arba silpninti viena kitą. Taip gaunamos nekoherentinės ( nesuderintų fazų ) bangos.

Indukuoto spinduliavimo dėka galima priversti atomus sinfaziškai spinduliuoti ir sustiprinti aplinkoje plintančią spindulį. Indukuotas spinduliavimas gaunamas paveikus sužadintą atomą elektromagnetinio lauko kvantu, turinčiu energiją  $\epsilon = hv$ , lygi energijų skirtumui tarp sužadintos ir normalios atomo būsenų arba sužadintos ir kitos, mažesnę energiją turinčios būsenos, kai atomo perėjimas į šią būseną neuždraustas. Šiuo atveju atomo išspinduliuojamas kvantas turi tokį pat impulsą, energiją ir polarizaciją, kaip ir kvantas, sukėlęs jo spinduliavimą. Dėl to aplinkoje plintančio spindulio ne tik intensyvumas didėja, bet ir gaunamas koherentinis ( suderintų fazų ) spindulys.

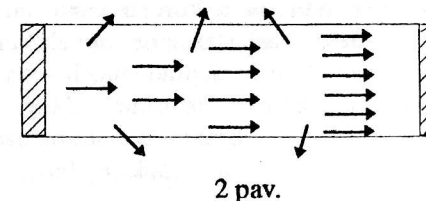
Konstruojant lazerį svarbiausia sudaryti aktyviają aplinką, kurioje daug atomų būtų sužadinti. Sklidant koherentinei ( suderintų fazų ) bangai tokia aplinka, atsiranda ištisa papildomų kvantų lavina. Aktyvioji aplinka sukuriama veikiant sistemą elektromagnetine bangą, kurios ilgis  $\lambda$  skiriasi nuo indukuoto spinduliavimo bangos ilgio. Helio - neonu dujiniame lazeryje aktivacijos procesą atlieka ruseinantis išlydis. Vamzdelio galuose įstatomi du lygiagretūs plokštai veidrodžiai, kurių vienas arba abu yra pusiau skaidrūs. Išlydžio metu He atomai iš būvio  $1s^2 \ ^1S$  perkeliami į būvius  $1s\ 2s\ ^1S$  ir  $1s\ 2s\ ^3S$ . ( žr. 1 pav. ); čia  $^1S$  ir  $^3S$  rodo atstojamąjį atomo

impulso momentą ir atstojamajį sukinio impulso momentą ( ${}^1S$  atitinka  $L_a=0, S_s=0$ ;  ${}^3S$  atitinka  $L_a=0, S_s=1$ ). Sužadintas būvis  ${}^1S$  metastabilus, t.y. jo gyvavimo laikas santykinių ilgas, lyginant su kitų būvių gyvavimo laiku. Dėl šios priežasties sužadinti He atomai spėja susidurti su nesužadintais Ne atomais ir atiduoda jems savo energiją. Neono atomai pereina į  $2p^5 5s$  būvi. Dalis He atomų spės ir iš sužadinto būvio  $1s 2s$   ${}^3S$  perduoti energiją Ne atomams ir perkelti juos į būvi  $2p^5 4s$ . Neono atomai iš sužadintų būvių (1 pav.) rodyklėmis nurodytais keliais

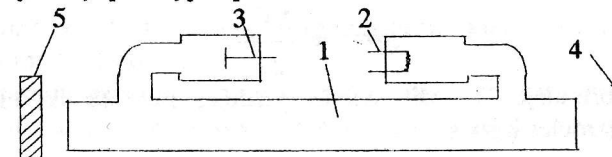


pereina į pagrindinę būseną. Lazerio spinduliuavimą (intensyviausią spinduliuavimą) sudaro perejimai  $2p^5 5s \rightarrow 2p^5 3p$ . Taip atsitinka todėl, kad dėl He lygmenų  $1s 2s {}^1S$  metastabilumo lygmenyje  $2p^5 5s$  yra daug daugiau atomų negu  $2p^5 4s$  ir dėl to, kad  $2p^5 3p$  būvyje Ne atomų būvimo laikas labai trumpas ir todėl  $2p^5 3p$  lygmenyje Ne atomų nesusikaupia ( yra daug laisvųjų būsenų ). Vykstant perejimui  $2p^5 5s \rightarrow 2p^5 3p$ , spinduliuojama apie 30 skirtinį ilgių bangą nuo 0,6 iki 5,4  $\mu\text{m}$ . Intensyviausia yra 1153 nm ilgio banga.

Spontaniškai išspinduliuoti Ne atomų kvantai veikia kitus Ne atomus, esančius sužadintame  $2p^5 5s$  būvyje, ir sukelia indukuotą spinduliuavimą aktyviojoje lazerio aplinkoje. Masinį šio proceso didėjimą lemia veidrodinis rezonatorius, kuriam yra dujinis vamzdelis (2 pav.).



Fotonams dėl atspindžių nuo veidrodžių daug kartų prabėgant išilgai vamzdelio, susidaro galingas spinduliuavimo srautas, kurio dalis nuolat spinduliuojama į aplinką pro pusiau skaidrius veidrodžius.



Dujinio lazerio vamzdeli (3 pav.) sudaro: kaitinamas katodas 2, reikalingas išlydžiams dujose gauti, anodas 3 ir du veidrodžiai 4, 5. Lazeris įjungiamas trimis etapais.

1. Įjungus lygintuvą, įsijungia katodo ir aukštosios įtampos lygintuvo kaitinimas.
2. Po kelių minučių galima įjungti aukštąją įtampą. Jei ji įjungiamama per anksti, tai teigiami duju jonai smūgiuoja į katodą ir jį ardo. Pakankamai įkaitintą katodą apsaugo iš jo emituoti elektronai.
3. Dujų vamzdelyje išlydži uždega aukštostos įtampos transformatorius. Spustelėjus transformatoriaus paleidimo migtuką, gaunamas aukštojo dažnio įtampos impulsas, kuris ižiebia vamzdelyje duju išlydį. Lazerio įjungimas gali būti iš dalies arba visiškai automatizuotas - du arba visi trys etapai atliekami vienu veiksmu. Lazerio šviesą galima akimi stebeti tik atispindėjusią nuo ekrano, kurio paviršius matinis, arba praėjusią pro neutralų (nespalvotą) šviesos filtrą, sumažinančią šviesos intensyvumą  $10^4$  kartų.

#### BANDYMO EIGA

##### a) Lazerio spindulio bangos ilgio skaičiavimas difrakcine gardele

1. Lazerio spindulio kelyje ant optinio suolo įtvirtinama difrakcinė gardelė. I ekrana pasukama ta gardelės pusė, kurioje užrašytas iibrėžimų viename milimetre skaičius.

- Įjungus lazerį, gardelės padėtis pakoreguojama taip, kad ji būtų statmena spinduliu. Gardelė bus statmena spinduliu, kai nuo jos atsišpendėjęs spindulys pateks į lazerio išėjimo langelio centrą.
- Statmename spinduliu ekrane matome daug neužsiklojančių maksimumų (raudonų juostelių). Ekranas bus statmenas pluošteliui, jei teigiamos ir neigiamos eilės difrakciniai spektrai bus simetriški nulinės eilės spektrui.
- Išmatuojame atstumus  $\Delta X_m$  tarp 1-os, 2-os ir kt. eilių difrakcijos maksimumų. Istatę šiuos duomenis į 1 formulę, apskaičiuojame įvairių spektrų eilės difrakcijos kampus:

$$\operatorname{tg} \varphi_m = \frac{\Delta X_m}{2L}. \quad (4)$$

Šioje formulėje L - difrakcinės gardelės nuotolis iki ekrano. Iš difrakcinės gardelės lyties

$$d \sin \varphi_m = \pm m\lambda \quad (5)$$

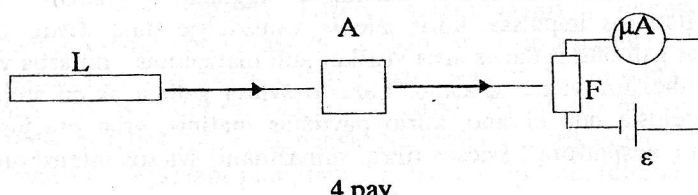
apskaičiuojame  $\lambda$  kiekvienam  $\varphi_m$ , imdami  $m=1, 2, 3, \dots$

b) Lazerio šviesos polarizacijos laipsnio matavimas.

Šviesos polarizacijos laipsniu vadinamas dydis

$$P = \frac{I_{\max} - I_{\min}}{I_{\max} + I_{\min}} : \quad (6)$$

čia: I - šviesos intensyvumas. Visiškai polarizuotos šviesos  $I_{\min}=0$  ir  $P=1$ ; natūralios šviesos  $I_{\max}=I_{\min}$  ir  $P=0$ . Lazerio šviesos polarizacijos laipsniui matuoti sujungiamo šią schemą:



4 pav.

Čia L - polarizuotos šviesos šaltinis - helio ir neonų dujų lazeris, A - polaroidas ( analizatorius ), F - fotovarža, ε - nuolatinės srovės šaltinis. Poliaroidą A galima sukti apie ašį, einančią išilgai šviesos spindulio; skaleje ant jo būgno matuojamas posūkio kampus. Fotosrovė, matuojama mikroampermetru, proporcinga krintancios į fotovaržą šviesos

intensyvumui I. Todėl 6 lyties intensyvumus pakeitę atitinkamomis fotosrovėmis, galime rasti poliarizacijos laipsnį:

$$P = \frac{i_{\max} - i_{\min}}{i_{\max} + i_{\min}} \quad (7)$$

- Ant optinio suolo sustatome prietaisus 4 pav. nurodyta tvarka.
  - Sujungiamo elektros grandinę.
  - Pakoreguojame poliaroido padėtį, kad praėjės pro poliaroidą šviesos spindulys apšviestų fotovaržos centrą. Lazerį įjungia tik dėstytojas arba laborantas !
  - Įsitikiname, kad sukant analizatorių, kinta praėjusios šviesos intensyvumas ir fotosrovė ( $I \sim i$ ).
  - Sukdami analizatorių, randame padėtis, kai fotosrovė minimali ( $i_{\min}$ ) ir maksimali ( $i_{\max}$ ). Fotosroves ir kampus matuojame 3 - 4 kartus. Randame vidurkius.
  - Įsitikiname, kad  $\bar{i}_{\max} - \bar{i}_{\min} = \pm \frac{\pi}{2}$ .
  - Apskaičiuojame poliarizacijos laipsnį.
- c) Lazerio spindulio erdvinių koherencijos patikrinimas
- Lazerio spindulio kelyje iš pradžių statomas vienas plyšys, o po to du Jungo plyšiai. Praktiškai tai gali būti viena metalizuota stiklinė plokštėlė, kurioje įbrėžti arti vienas kito du lygiagretūs rėžiai, praleidžiantys šviesą, ir trečias rėžis - toliau nuo jų.
  - Pasukę vieną plyšį statmenai spinduliu, stebime difrakcinį spektrą. Plyšio atžvilgiu keisdami ekrano padėtį, centre gauname maksimumą (raudoną liniją). Ši linija yra pakankamai plati, nes minimum padėtis nusakoma salyga

$$b \sin \varphi_{\min} = \pm m\lambda \quad (8)$$

čia b - plyšio plotis; jis yra mažas dydis, todėl  $\varphi_{\min}$  - gana didelis. Nubraižome centrinę stebimojo vaizdo dalį.

- Spindulio kelyje pastatome du jam statmenus plyšius. Dabar stebimi difrakcijos maksimumai, išmarginti tamšiomis ir raudonomis interferencinėmis juostomis. Ypač ryškus efektas nulinės eilės difrakcijos maksimume. Šių interferencijos juostų buvimas ir įrodo lazerio spindulio erdvinių koherencijos. Nubraižome nulinės eilės difrakcijos spektre stebimą interferencinį vaizdą.

4. Iš interferencijos vaizdo nulinės eilės difrakcijos maksimumo ribose randame atstumą tarp Jungo plyšiu:

$$d \sin \alpha_{\min} = (2m+1) \frac{\lambda}{2} \quad (9)$$

čia  $\alpha_{\min}$  - kampus, kuriuo matomas m - asis minimumas. Dėl jo mažumo imame  $\sin \approx \alpha$ . Imant gretimus minimumus,

$$d \cdot \Delta \alpha_{\min} = \frac{\lambda}{2} \text{ ir } d = \frac{\lambda}{2 \Delta \alpha_{\min}} \quad (10)$$

### KONTROLINIAI KLAUSIMAI

1. Indukuotas ir savaiminis atomų ir molekulių spinduliaiavimas.
2. Lazerio veikimo principas.
3. He-Ne dujų lazerio veikimo principas.
4. Lazerio spindulio kohertiškumas.
5. Lazerio spindulio polarizacijos ir bangos ilgio matavimų metodika.

### LITERATŪRA

[1], p. 145-146, 158-160.

[2], p. 97-105.

[4], p. 410-421.

### LITERATŪRA

1. A.Tamašauskas, J.Vasylius. Fizika, 2t. - V.:Mokslas, 1989. - 193 p.
2. A.Tamašauskas, J.Vasylius, Č. Radvilavičius. Fizika, 3t. - V.: Mokslas, 1992. - 180 p.
3. B.Javorskis, A.Detlafas, L.Milkovskaja. Fizikos kursas, 2 t.-V.: Mintis, 1970.
4. B. Javorskis, A. Detlafas. Fizikos kursas, 3 t.-V.: Mintis, 1975. - 582 p.
5. Fizikos praktikos darbai. 1 d. Red. P. Brazdžiūnas. - V.: Mintis, 1979. - 316 p.
6. A.Urbelis. Kai kurie elektrostatikos ir nuolatinės elektros srovės klausimai: Mokomoji knygelė. - V.: VISI, 1986. - 102 p.
7. E.Mauza. Kai kurie elektromagnetizmo klausimai: Mokomoji knygelė. V.: VISI, 1986. - 140 p.
8. E.Mauza. Optinių reiškiniių dėsningumi: Mokomoji knygelė. - V.: VISI, 1986. - 131 p.
9. E.Mauza, Š.Vilčinskas. Kai kurie atomo fizikos ir kvantinės mechanikos dėsningumai: Mokomoji knygelė. - V.: VISI, 1986 - 112 p.
10. J.Jakimavičius, A.Karpinskas, B.Martinėnas, A.Šatas. Fizikos laboratoriniai darbai. Kvantinė optika. Atominė fizika. Puslaidininkų fizika. Atomo branduolio fizika. - V.: VISI, 1984. - 96 p.
11. Fizika. Elektromagnetizmas. Kintamoji elektros srovė. Laboratorių darbų aprašymų rinkinys / Red. J.Semionovas. - V.: VISI, 1976.-148 p.
12. Fizika. Fotometrija ir geometrinė optika. Banginė optika. Laboratorių darbų aprašymų rinkinys / Red. J.Semionovas. - V.: VISI, 1976. - 80 p.
13. J.Kaulakys, K.Lipskis, P.Lukošius, Z.Pocius, J.Semionovas. Fizika. Fotometrija ir geometrinė optika. Banginė optika. Laboratorių darbų aprašymų rinkinys. - V.: VISI, 1976. - 79 p.
14. A.Tamašauskas, J.Vosylius, I.Požela. Fizika, 4 t., - V.: Mokslo ir enciklopedijų leidykla, 1995. - 198 p.
15. E.Mauza. Kai kurie kvantinės statistikos ir kietojo kūno fizikos dėsningumai ir jų taikymas. - V.: Technika, 1992. - 157 p.
16. J.V.Saveljev. Kurs obščeje fiziki, 3 t. - M.: Nauka, 1979. - 303 p. (rusų kalba)